COMMITTENTE:



DIREZIONE INVESTIMENTI DIREZIONE PROGRAMMI INVESTIMENTI DIRETTRICE SUD - PROGETTO ADRIATICA

DIREZIONE LAVORI:



APPALTATORE:

Mandataria



Mandanti





PROGETTAZIONE:

MANDATARIA



MANDANTI



PROGETTO ESECUTIVO

LINEA PESCARA - BARI RADDOPPIO DELLA TRATTA FERROVIARIA TERMOLI - LESINA LOTTI 2 e 3 - RADDOPPIO TERMOLI - RIPALTA

IV05 - Cavalcaferrovia al km 20+965 Relazione di calcolo pile

L'Appaltatore Ing. Gianguido Babini	A.A.D'AGOSTINO COSTRUZIONI GENERALI S.r.I. II Direttore Tecnico (Ing. Giangylio Babini)	I progettisti (il Direttore del Ing. Massimo Facchini	lla progettazione)
Data	firma	Data	firma

COMMESSA	LOTTO	FASE	ENTE	TIPO DOC	OPERA / DISCIPLINA	PROGR	REV	SCALA
L I 0 B	0 2	E	ZZ	CL	I V 0 5 0 5	0 0 1	В	

Rev.	Descrizione	Redatto	Data	Verificato	Data	Approvato	Data	Autorizzato/Data
Α	Prima emissione	Ing. M. Calderoni	Dicembre 2022	Ing. V. Calzona	Dicembre 2022	Ing. IS Canale	Dicembre 2022	Dott. Ing. 10
В	Aggiornamento a seguito RDV	Ing. L. Fico	Luglio 2023	Ing. M. Calderoni	Luglio 2023	Ing. S. Canale	Luglig 2023	ASSAINI A Ing. M. Facchini
					/ (na le	109 io 2023
								WO * CASERY!
File: LI0B02EZZCLIV0505001B.DOCX n. Elab.								





RADDOPPIO DELLA TRATTA FERROVIARIA TERMOLI-LESINA LOTTO 1 - RADDOPPIO RIPALTA-LESINA

IV05 - Relazione di calcolo pile

COMMESSA	LOTTO	FASE	ENTE	TIPO DOC	OPE	RA 7 DISCIP	LINA	PROGR	REV	FOGLIO
LI0B	02	Ε	ZZ	CL	IV	05	05	001	В	1

INDICE

1 PR	REMESSA	3
1.1		3
• • •	1 1 1 0 0 0 0 0 0 0 0 0 0 0 0 0 0 0 0 0	
2 DC	DCUMENTI DI RIFERIMENTO	6
2.1		
2.2		
۷.۷	Unita di misura	0
3. CA	ARATTERISTICHE DEI MATERIALI	7
3.1		
3.2		
3.3	,	
3.4		
	QUADRAMENTO GEOTECNICO	
4.1	1 Terreno di ricoprimento/rinterro	10
5 CA	ARATTERIZZAZIONE SISMICA	11
5.1		
5.2		
0.2	2 Tarametra periodesita sismica	11
6 AN	NALISI DEI CARICHI	15
6.1		
6.2	·	
7 00	OMBINAZIONI DI CARICO	46
7 CC	DIMBINAZIONI DI CARICO	10
8 CR	RITERI DI VERIFICA	22
8.1		
8.2		
	ODELLAZIONE ED ANALSI ISTRUTTURALE 1 Software di calcolo	
9.1		
9.3		
9.4		
9.5		
9.6		
10.	RISULTATI DELLE ANALISI	
	.1 Analisi dinamica modale	
	.2 Principali diagrammi delle sollecitazioni	
10.	.3 Deformate	54
11.	GIUDIZIO DI ACCETTABILITÀ DEI RISULTATI	E7
11.	GIODIZIO DI ACCETTADILITA DEI RIGULTATT	





HYPro RADDOPPIO DELLA TRATTA FERROVIARIA TERMOLI-LESINA LOTTO 2 e 3 - RADDOPPIO TERMOLI - RIPALTA

	COMMESSA	LOTTO	FASE	ENTE	TIPO DOC	OPE	RA 7 DISCIP	LINA	PROGR	REV	FOGLIO
IV05- Relazione di calcolo pile	LI0B	02	Е	ZZ	CL	IV	05	05	001	Α	2

12.	VERIFICA DELLE PILE	62
	Verifica pile a pressoflessione per azioni slu – slv	
	Progetto e verifica armature a taglio	
	Verifiche a scorrimento per elementi tozzi	
	Verifiche pile sle	
12.5	Plinto di fondazione	74
12.6	Verifica del Pulvino	82
12.7	Verifica dei baggioli	87
13	RITEGNI SISMICI	80



1. PREMESSA

Il presente elaborato attiene alla progettazione esecutiva per la realizzazione dei Lotti 2 e 3 Termoli - Ripalta del raddoppio della tratta ferroviaria Termoli – Lesina sulla Linea Pescara – Bari, dal km 0+000 al km 24+900, per uno sviluppo di circa 24,9 km.

In particolare la presente relazione di calcolo fa riferimento al dimensionamento e verifica della pile del cavalcavia denominato IV05 - Cavalcaferrovia al km 20+965.

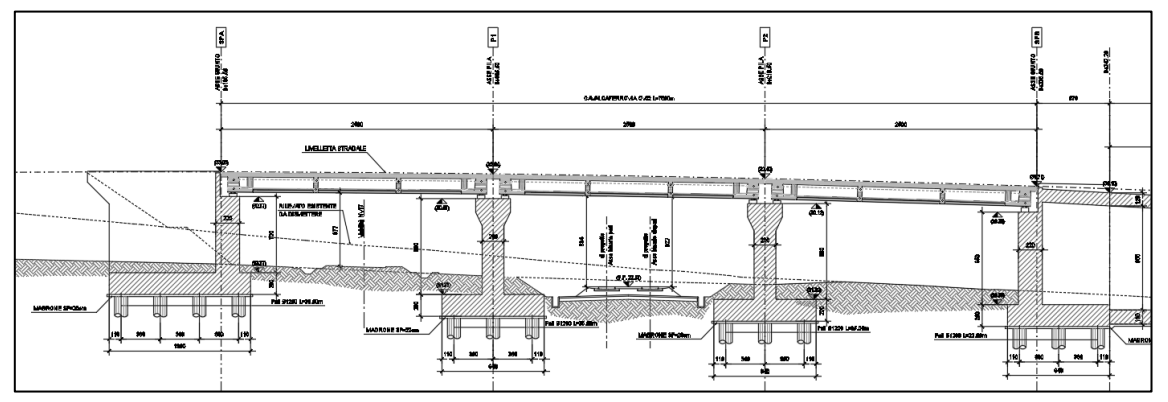


Figura 1-1: Profilo longitudinale

1.1 IV05 - CAVALCAFERROVIA AL KM 20+965.

L'impalcato è caratterizzato da una parte pavimentata larga 9.00 m e da due cordoli laterali da 1.85 m, per una larghezza totale di 12.70 m.

L'impalcato è costituito da cinque travi in c.a.p. con sezione a cassone di altezza pari a 1.40m poste ad interasse di 2.10 m accostate. La soletta in cls è gettata in opera e presenta spessore variabile tra 0.28 e 0.37m.

Esso è vincolato alle sottostrutture mediante appoggi a cerniera sferica con superficie di rotazione rivestita con PTFE (Politetrafluoroetilene).

Il cavalcaferrovia IV05 è costituito da 2 pile di altezza 8.80m. Il fusto delle pile è costituito da una sezione pseudo rettangolare di dimensioni 5.00x2.00m. Il plinto di fondazione presenta una forma quadrata con dimensioni 9.40x9.40x2m per tutte le pile. Il plinto poggia su 9 pali Ø1200.

Si riportano a seguire le immagini della carpenteria dell'opera in oggetto, per maggiori dettagli si rimanda agli elaborati grafici.

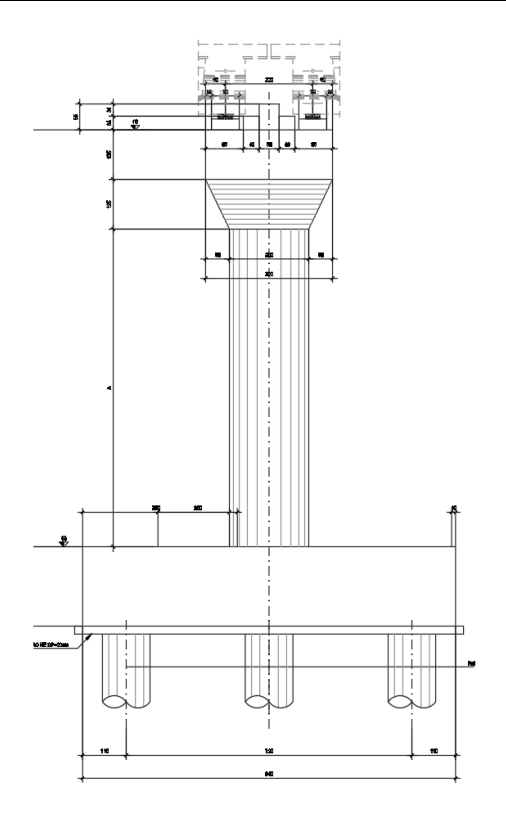




HYPO RADDOPPIO DELLA TRATTA FERROVIARIA TERMOLI-LESINA LOTTO 2 e 3 - RADDOPPIO TERMOLI - RIPALTA

IV05- Relazione di calcolo pile

COMMESSA	LOTTO	FASE	ENTE	TIPO DOC	OPERA 7 DISCIPLINA			PROGR	REV	FOGLIO
LI0B	02	Е	ZZ	CL	IV	05	05	001	Α	4



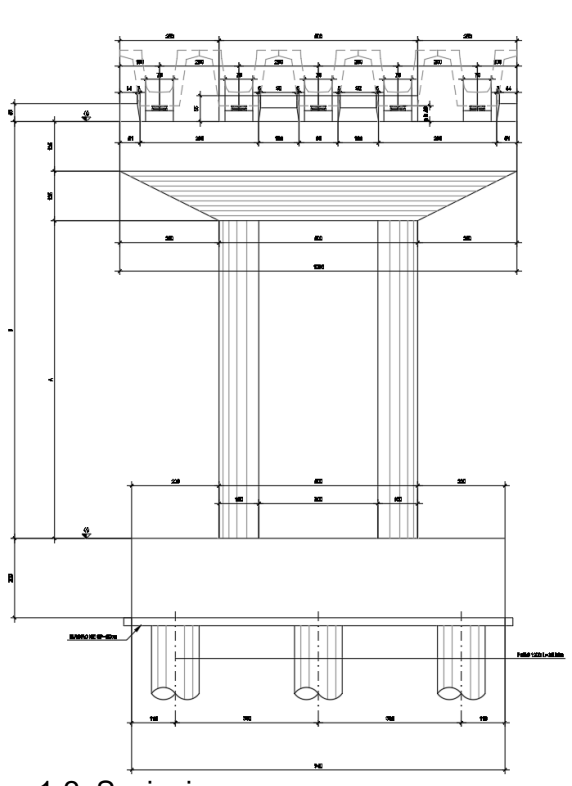
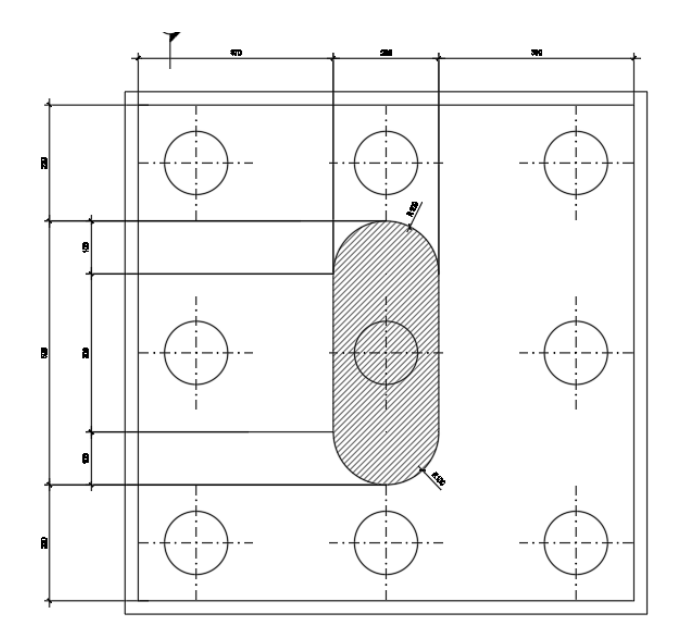


Figura 1-2: Sezioni



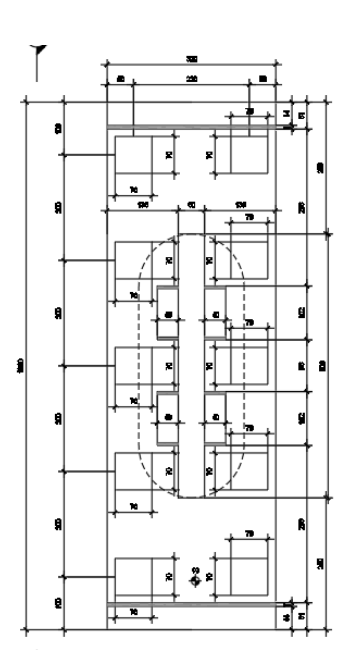


Figura 1-3: Carpenteria pila tipo





HYPO RADDOPPIO DELLA TRATTA FERROVIARIA TERMOLI-LESINA LOTTO 2 e 3 - RADDOPPIO TERMOLI - RIPALTA

IV05- Relazione di calcolo pile

COMMESSA	LOTTO	FASE	ENTE	TIPO DOC	OPERA 7 DISCIPLINA			PROGR	REV	FOGLIO
LI0B	02	Ε	ZZ	CL	IV	05	05	001	Α	5

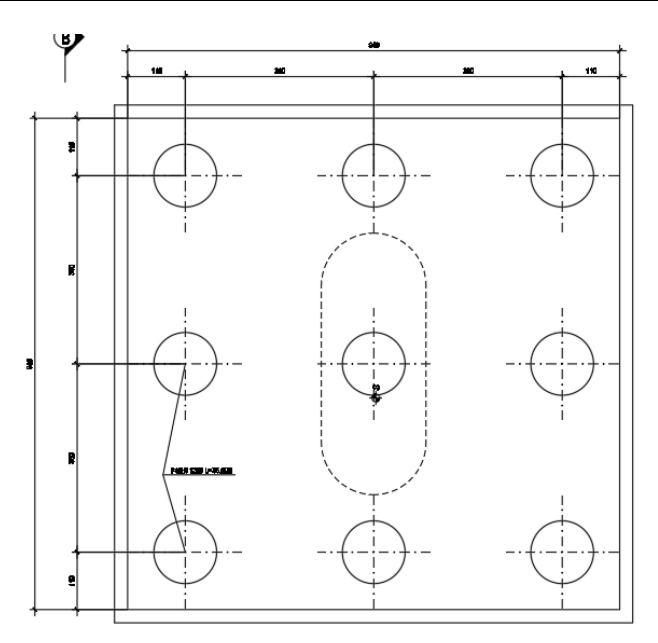


Figura 1-4: Pianta plinto TABELLA PILE

	X	Υ	А	В		
PILA 1	21.77	30.57	6.30	8.80		
PILA 2	21.32	30.12	6.30	8.80		





RADDOPPIO DELLA TRATTA FERROVIARIA TERMOLI-LESINA LOTTO 2 e 3 – RADDOPPIO TERMOLI - RIPALTA

PROGR

001

FOGLIO

6

					TIPO DOC		RA 7 DISCIP	
IV05- Relazione di calcolo pile	LI0B	02	Е	ZZ	CL	IV	05	05

2. DOCUMENTI DI RIFERIMENTO

2.1 DOCUMENTI REFERENZIATI

Di seguito si riporta l'elenco generale delle Normative Nazionali ed internazionali vigenti alla data di redazione del presente documento, quale riferimento per la redazione degli elaborati tecnici e/o di calcolo dell'intero progetto nell'ambito della quale si inserisce l'opera oggetto della presente relazione:

- [N.1]. L. n. 64 del 2/2/1974 Provvedimento per le costruzioni con particolari prescrizioni per le zone sismiche".
- [N.2]. L. n. 1086 del 5/11/1971"Norme per la disciplina delle opere di conglomerato cementizio armato, normale e precompresso ed a struttura metallica".
- [N.3]. Norme Tecniche per le Costruzioni D.M. 17-01-18 (NTC-2018);
- [N.4]. Circolare n. 7 del 21 Gennaio 2019 Istruzioni per l'Applicazione Nuove Norme Tecniche Costruzioni di cui al Decreto Ministeriale 17 gennaio 2018;
- [N.5]. Regolamento (UE) N.1299/2014 del 18 novembre 2014 della Commissione Europea. Relativo alle specifiche tecniche di interoperabilità per il sottosistema "infrastruttura" del sistema ferroviario dell'Unione Europea.
- [N.6]. Eurocodici EN 1991-2: 2003/AC:2010.
- [N.7]. RFI DTC SI MA IFS 001 B del 22-12-17 Manuale di Progettazione delle Opere Civili.
- [N.8]. RFI DTC SI SP IFS 001 C Capitolato generale tecnico di Appalto delle opere civili.
- [N.9]. CNR-DT207/2008 Istruzioni per la valutazione delle azioni e degli effetti del vento sulle costruzioni.
- [N.10]. UNI 11104: Calcestruzzo: Specificazione, prestazione, produzione e conformità Istruzioni complementari per l'applicazione della EN 206-1

2.2 Unità di misura

Le unità di misura usate nella relazione:

lunghezze [m]; forze [kN]; momenti [kNm] tensioni [Mpa]





RADDOPPIO DELLA TRATTA FERROVIARIA TERMOLI-LESINA LOTTO 2 e 3 – RADDOPPIO TERMOLI - RIPALTA

IV05- Relazione di calc	olo pile
-------------------------	----------

COMMESSA	LOTTO	FASE	ENTE	TIPO DOC	OPE	RA 7 DISCIP	LINA	PROGR	REV	FOGLIO
LI0B	02	Ε	ZZ	CL	IV	05	05	001	Α	7

3. CARATTERISTICHE DEI MATERIALI

Si riporta nel seguito la tabella dei materiali utilizzati:

Le caratteristiche dei materiali sono ricavate con riferimento alle indicazioni contenute nei capitoli 4 e 11 del D.M. 14 gennaio 2008. Nelle tabelle che seguono sono indicate le principali caratteristiche.

3.1 CALCESTRUZZO FONDAZIONI E PALI (C25/30)

- Classe di resistenza

- Resistenza caratteristica cubica:

- Resistenza caratteristica cilindrica:

- Resistenza cilindrica media:

- Modulo elastico:

- Coefficiente di sicurezza (SLU):

- Resistenza di progetto a compressione:

- Resistenza a trazione media:

- Resistenza di progetto a trazione:

- Classe di esposizione:

- Classe minima di consistenza:

C25/30 🔻

 $R_{ck} = 30 \quad N/mm^2$

 $f_{ck} = 24.9 \text{ N/mm}^2$

 $f_{cm} = 32.9 \text{ N/mm}^2$

 $E_{cm} = 31447 \text{ N/mm}^2$

 $\gamma_c = 1.5$

 $f_{cd} = 14.11 \text{ N/mm}^2$

 $f_{ctm} = 2.56 \text{ N/mm}^2$

 $f_{ctm} = 1.19 \text{ N/mm}^2$

XC2

S4

3.2 CALCESTRUZZO ELEVAZIONE SOTTOSTRUTTURE (C32/40)

Classe di resistenza

Resistenza caratteristica cubica:

Resistenza caratteristica cilindrica:

Resistenza cilindrica media:

Modulo elastico:

Coefficiente di sicurezza (SLU):

Resistenza di progetto a compressione:

Resistenza a trazione media:

Resistenza di progetto a trazione:

Classe di esposizione:

Classe minima di consistenza:

 $R_{ck} = 40 \quad N/mm^2$

 $f_{ck} = 33.2 \text{ N/mm}^2$

 $f_{cm} = 41.2 \text{ N/mm}^2$

 $E_{cm} = 33643 \text{ N/mm}^2$

 $\gamma_c = 1.5$

 $f_{cd} = 18.81 \text{ N/mm}^2$

 $f_{ctm} = 3.10 \text{ N/mm}^2$

 $f_{ctm} = 1.45 \text{ N/mm}^2$

XC4+XS1

S4





RADDOPPIO DELLA TRATTA FERROVIARIA TERMOLI-LESINA LOTTO 2 e 3 – RADDOPPIO TERMOLI - RIPALTA

IV05- Relazione	di calcolo	pile
-----------------	------------	------

COMMESSA	LOTTO	FASE	ENTE	TIPO DOC	OPE	RA 7 DISCIP	LINA	PROGR	REV	FOGLIO
LI0B	02	Ε	ZZ	CL	IV	05	05	001	Α	8

3.3 ACCIAIO PER ARMATURE ORDINARIE B450C

- Tensione caratteristica di snervamento: f_{yk} = 450 N/mm²

- Tensione caratteristica a rottura: $f_{tk} = 540 \, \text{N/mm}^2$

- Coefficiente di sicurezza: γ_c = 1.15

- Tensione di progetto: f_{yd} = 391.3 N/mm²

- Modulo elastico: $E_s = 210000 \text{ N/mm}^2$

3.4 CLASSI DI ESPOSIZIONE E COPRIFERRI

Con riferimento alle specifiche di cui alla norma UNI EN 206-1-2006, si definiscono di seguito le classi di esposizione del calcestruzzo delle diverse parti della struttura oggetto dei dimensionamenti di cui al presente documento:

Pile e spalle: XC4;

• Plinti e pali di fondazione: XC2;

Classe esposizione norma UNI 9858	Classe esposizione norma UNI 11104 UNI EN 206 -1	Descrizione dell'ambiense	Esemplo	Massimo rapporto a/c	Minima Classe di resissenza	Contenuto minimo in aria (%)
1 Assenza	a di rischio di	corrosione o attacco				
1	XO	Per calcestruzzo privo di armatura o inserti metallici: tutte le esposizioni eccetto divo e de gelo disgelo, o attacco chimico. Calcestruzzi con armatura o inserti metallici: ambiente molto asciutto.	Interno di edifici con umidità relativa monito bassa. Calcestruzzo non armato all'interno di edifici. Calcestruzzo non armato immerso in suolo non aggressiva o in acqua non aggressiva. Calcestruzzo non armato soggetto a cidi di bagnato asciutto ma non soggetto di abrassione, gelo o attacco chrinico.	-	C 12/15	
Nota - Le cond condizioni riflet	lizioni di umidità si ri ttano quelle dell'amb		iferro o nel ricoprimento di inserti metallici, ma in r classificazione dell'ambiente circostante può esser			
2 a	XC1	Asciutto o permanentemente bagnato.	Interni di edifici con umidità relativa bassa. Calcestruzzo armato ordinario o precompresso con le superfici all'interno di strutture con eccezione delle parti esposte a condensa, o immerse i acqua.	0,60	C 25/30	
2 a	XC2	Bagnato, raramente asciutto.	Parti di strutture di contenimento liquidi, fondazioni. Calcestruzzo armato ordinario o precompresso prevalentemente immerso in acqua o terreno non aggressivo.	0,60	C 25/30	
5 a	XC3	Umidità moderata.	Calcestruzzo armato ordinario o precompresso in esterni con superfici esterne riparate dalla pioggia, o in interni con umidità da moderata ad alta.	0,55	C 28/35	
4 a 5 b	XC4	Ciclicamente asciutto e begnato.	Calcestruzzo armato ordinario o precompresso in estemi con superfici soggette a alternanze di asciutto ed umido. Calcestruzzi a vista in ambienti urbani. Superfici a contatto con l'acqua non comprese nella classe XC2.	0,50	C 32/40	
3 Corrosi	one indotta d	a cloruri esclusi quelli	provenenti dall'acqua di mare			
5 a	XD1	Umidità moderata.	Calcestruzzo armato ordinario o precompresso in superfici o parti di ponti e viadotti esposti a spruzzi d'acqua contenenti cloruri.	0,55	C 28/35	
4 a 5 b	XD2	Bagnato, raramente asciutto.	Calcestruzzo armato ordinario o precompresso in elementi strutturali totalmente immersi in acqua anche industriale contenete cloruri (Piscine).	0,50	C 32/40	
5 c	XD3	Ciclicamente bagnato e asciutto.	Calcestruzzo armato ordinario o precompresso, di elementi strutturali direttamente soggetti agli agenti disgelanti o agli spruzzi contenenti agenti disgelanti. Calcestruzzo armato ordinario o precompresso, elementi con una superficie immersa in acqua contenente cloruri e l'altra esposta all'aria. Parti di ponti, pavimentazioni e parcheggi per auto.	0,45	C 35/45	

Classe esposizione norma UNI 11104 UNI EN 206 –1	Descrizione dell'ambiente	Esemplo	Massimo rapporto a/c	Minima Classe di resistenza	Contenuto minimo in aria (%)
one indotta o		acqua di mare			
XS1	Esposto alla salsedine marina ma non direttamente in contatto con l'acqua di mare.	Calcestruzzo armato ordinario o precompresso con elementi strutturali sulle coste o in prossimità.	0,50	C 32/40	
XS2	Permanentemente sommerso.	precompresso di strutture marine completamente immersi in acqua.	0,45	C 35/45	
XS3	Zone esposte agli spruzzi o alle marea.	precompresso con elementi strutturali esposti alla battigia o alle zone soggette agli spruzzi ed onde del mare.	0,45	C 35/45	
dei cicli di ge	elo/disgelo con o senza				
XF1	Moderata saturazione d'acqua,in assenza di agente disgelante.	facciate e colonne esposte alla pioggia ed al gelo. Superfici non verticali e non soggette alla completa saturazione ma esposte al gelo, alla pioggia o all'acqua.	0,50	C 32/40	
XF2	Moderata saturazione d'acqua, in presenza di agente disgelante.	modo sarebbero classificati come XF1 ma che sono esposti direttamente o indirettamente agli agenti disgelanti.	0,50	C 25/30	3,0
XF3	Elevata saturazione d'acqua, in assenza di agente disgelante	Superfici orizzontali in edifici dove l'acqua può accumularsi e che possono essere soggetti ai fenomeni di gelo, elementi soggetti a frequenti bagnature ed esposti al gelo.	0,50	C 25/30	3,0
XF4	Elevata saturazione d'acqua, con presenza di agente antigelo oppure acqua di mare.	Superfici orizzontali quali strade o pavimentazioni esposte al gelo ed ai sali disgelanti in modo diretto o indiretto, elementi esposti al gelo e soggetti a frequenti bagnature in presenza di agenti disgelanti o di acqua di mare.	0,45	C 28/35	3,0
chimico**					
XA1	debolmente aggressivo secondo il prospetto 2 della UNI EN 206-1	Contenitori di fanghi e vasche di decantazione. Contenitori e vasche per acque reflue.	0,55	C 28/35	
XA2	Ambiente chimicamente moderatamente aggressivo secondo il prospetto 2 della UNI EN 206-1	Elementi strutturali o pareti a contatto di terreni aggressivi.	0,50	C 32/40	
ХАЗ	Ambiente chimicamente fortemente aggressivo secondo il prospetto 2 della UNI EN 206-1	Elementi strutturali o pareti a contatto di acque industriali fortemente aggressive. Contentiori di foraggi, managimi e liquame provenienti dall'allevamento animale. Torri di raffreddamento di fumi di gas di scarico industriali.	0,45	C 35/45	
	espositione mormunicum communicum	espisitione mormalium de la contra pre senti nell' sun Ex 196 - 1 one indotta da cloruri pre senti nell' Espota dis salsedina marina ma non direttamente in contatto con l'acqua di marina ma non direttamente in contatto con l'acqua di marina ma con direttamente in contatto con l'acqua di marina. XS2 Permanentemente sommerso. XS3 Zone esposte agli spruzzi o alle marce. XF1 Moderata saturazione d'acqua, in asserza di agente disgelante. XF2 Moderata saturazione d'acqua, in asserza di agente disgelante. XF3 Elevata saturazione d'acqua, in asserza di agente disgelante. XF4 Elevata saturazione d'acqua, in asserza di agente disgelante. XF4 Elevata saturazione d'acqua, in asserza di agente disgelante. XF5 Elevata saturazione d'acqua, in asserza di agente disgelante. XF6 Elevata saturazione d'acqua, in asserza di agente disgelante. XF7 Ambiente chimicamente dedochimente aggressivo secondo i propetio 2 della UNI EN 206-1	pespositione mome mome mome mome mome mome mome m	pespositione moma moma moma moma moma moma moma mom	pespositione moma manual momenta da cloruri pre senti nell'acqua di mare Esposto alla salsedine momenta in contatto con l'acqua, di mare Esposto alla salsedine momenta in contatto con l'acqua di mare Esposto alla salsedine momenta in contatto con l'acqua di mare Esposto alla salsedine momenta in contatto con l'acqua di mare XS1 XS2 Permanentemente sommerso, calcale momenta di completa mare a una contatto di acqua, mare a completamente immensi in acqua. XS3 Zone esposte agli spruzzi ci conde dell'ambioni mare a completamente immensi in acqua. XF1 Moderata saturazione d'acqua, in presenza di agente disgelante. XF2 Moderata saturazione d'acqua, in presenza di agente disgelante. XF2 Moderata saturazione d'acqua, in presenza di agente disgelante. XF3 Elevata saturazione d'acqua, in assenza di agente disgelante del mono songogette a completa saturazione d'acqua, in assenza di acqua, presenza di agente disgelante del completa saturazione d'acqua, in assenza di acqua, presenza di agente disgelante del completa saturazione d'acqua, in assenza di acqua, presenza di acqua,

Classi di esposizione secondo norma UNI - EN 206-2006

La determinazione delle classi di resistenza dei conglomerati dei conglomerati, di cui ai successivi paragrafi, sono state inoltre determinate tenendo conto delle classi minime stabilite dalla stessa norma UNI-EN 206-2006, di cui alla successiva tabella:





Pro RADDOPPIO DELLA TRATTA FERROVIARIA TERMOLI-LESINA LOTTO 2 e 3 - RADDOPPIO TERMOLI - RIPALTA

IV05- Relazione di calcolo pile

COMMESSA LOTTO FASE ENTE TIPO DOC OPERA 7 DISCIPLINA PROGR FOGLIO 02 IV LI0B Ε CL 05 05 001 9

									Classi di e	sposizione								
	Nessun rischio di	Co	rrosione da	carbonatazi	one	Corrosione da clloruri							Attacco g	elo/disgelo		Ambienti chimici aggressivi		
	corrosione o attacco	rosione		,	Acqua marina			Altri cloruri (diversi dall'acqua di mare)										
	X0	XC1	XC2	XC3	XC4	XS1	XS2	XS3	XD1	XD2	XD3	XF1	XF2	XF3	XF4	XA1	XA2	XA3
Rapporto massimo a/c		0,65	0,60	0,55	0,50	0,50	0,45	0,45	0,55	0,55	0,45	0,55	0,55	0,50	0,45	0,55	0,50	0,45
Classe di resistenza minima	C12/15	C20/25	C25/30	C30/37	C30/37	C30/37	C35/45	C35/45	C30/37	C30/37	C35/45	C30/37	C25/30	C30/37	C30/37	C30/37	C30/37	C35/45
Contenuto minimo di cemento (kg/m³)	-	260	280	280	300	300	320	340	300	300	320	300	300	320	340	300	320	360
Contenuto minimo di aria (%)	-	-	*	*		-		-			-		4,0 ^{a)}	4,0 ^{a)}	4,0 ^{a)}	-	-	-
Altri requisiti												Aggregati i ciente resis			0 con suffi-		Cemento re solfati ^{b)}	esistente a
als Qu	gelo per la re alora la prese	elativa classe enza di SO4	comporti le	one. classi di esp	osizione XA2	e XA3, è es	senziale utili	zzare un cer	nento resiste	nte ai solfati	Se il ceme	ra appropriate nto è classific sere utilizzate	ato a moder	ata o ad alta	resistenza ai			

Classi di resistenza minima del calcestruzzo secondo UNI - EN 206-2006

I copriferri di progetto adottati per le barre di armatura, tengono infine conto inoltre delle prescrizioni di cui alla Tabella C4.1.IV della Circolare n617 del 02-02-09 e delle prescrizioni del Manuale di progettazione RFI; si è in particolare previsto di adottare i seguenti Copriferri minimi espressi in mm

Pile e spalle: 50 mm

Plinti di fondazione: 40 mm Pali di fondazione: 60 mm

In termini di limiti di apertura delle fessure, alle prescrizioni normative presenti nelle NTC si sostituiscono in tal caso quelle fornite dal documento RFI DTC SICS MA IFS 001 B - 2.5.1.8.3.2.4 (Manuale di progettazione delle opere civili del 29/12/2016) secondo cui la verifica nei confronti dello stato limite di apertura delle fessure va effettuata utilizzando le sollecitazioni derivanti dalla combinazione caratteristica

L'apertura convenzionale delle fessure dovrà risultare:

- $\delta_f \le w_1 = 0.2 \ mm$ per tutte le strutture in condizioni ambientali aggressive o molto aggressive (così come identificate nel par. 4.1.2.2.4.3 del DM 17.1.2018), per tutte le strutture a permanente contatto con il terreno e per le zone non ispezionabili di tutte le strutture;
- $\delta_f \le w_2 = 0.3 \ mm$ per strutture in condizioni ambientali ordinarie.

In definitiva, nel caso in esame, si adotta il limite w₁ sia per pile e spalle che per pali e plinti in quanto i primi ricadono in condizioni ambientali aggressive (classe XC4), mentre i secondi sono elementi a permenente contatto con il terreno.





HYPro RADDOPPIO DELLA TRATTA FERROVIARIA TERMOLI-LESINA LOTTO 2 e 3 - RADDOPPIO TERMOLI - RIPALTA

COMMESSA	LOTTO	FASE	ENTE	TIPO DOC	OPE	RA 7 DISCIP	LINA	PROGR	REV	FOGLIO
LI0B	02	Е	ZZ	CL	IV	05	05	001	Α	10

4. INQUADRAMENTO GEOTECNICO

Si rimanda alla relazione geotecnica allegata al progetto per la trattazione completa dei parametri geologico e geotecnici e per la definizione della curva di portanza dei pali.

4.1 TERRENO DI RICOPRIMENTO/RINTERRO

Per il terreno di ricoprimento dell'opera sono state assunte le seguenti caratteristiche geotecniche:

 $\gamma = 20 \text{ kN/m}^3$ peso di volume naturale

 $\varphi' = 35^{\circ}$ angolo di resistenza al taglio

c' = 0 kPacoesione drenata



RADDOPPIO DELLA TRATTA FERROVIARIA TERMOLI-LESINA LOTTO 2 e 3 – RADDOPPIO TERMOLI - RIPALTA

	COMMESSA	LOTTO	FASE	ENTE	TIPO DOC	OPE	RA 7 DISCIP	LINA	PROGR	REV	FOGLIO
IV05- Relazione di calcolo pile	LI0B	02	Е	ZZ	CL	IV	05	05	001	A	11

5. CARATTERIZZAZIONE SISMICA

Nel seguente paragrafo è riportata la valutazione dei parametri di pericolosità sismica utili alla determinazione delle azioni sismiche di progetto dell'opera cui si riferisce il presente documento, in accordo a quanto specificato a riguardo dal D.M. 17 gennaio 2018 e relativa circolare applicativa.

5.1 VITA NOMINALE E CLASSE D'USO

Per la valutazione dei parametri di pericolosità sismica è necessario definire, oltre alla localizzazione geografica del sito, la Vita nominale dell'opera strutturale (V_N), intesa come il numero di anni nel quale la struttura, purché soggetta alla manutensione ordinaria, deve potere essere usata per lo scopo al quale è destinata, e la Classe d'Uso a cui è associato un coefficiente d'uso (C_U)

Per l'opera in oggetto si considera una vita nominale: $V_N = 75$ anni (categoria 2: "Altre opere nuove a velocità V<250 Km/h"). Riguardo invece la Classe d'Uso, all' opera in oggetto corrisponde una Classe III a cui è associato un coefficiente d'uso pari a (NTC – Tabella 2.4.II): $C_U = 1.5$.

I parametri di pericolosità sismica vengono quindi valutate in relazione ad un periodo di riferimento V_R che si ricava per ciascun tipo di costruzione, moltiplicando la vita nominale V_N per il coefficiente d'uso C_U , ovvero:

$$V_R = V_N \cdot C_U$$

Pertanto, per l'opera in oggetto, il periodo di riferimento è pari a $V_R = 75x1.5 = 112.5$ anni

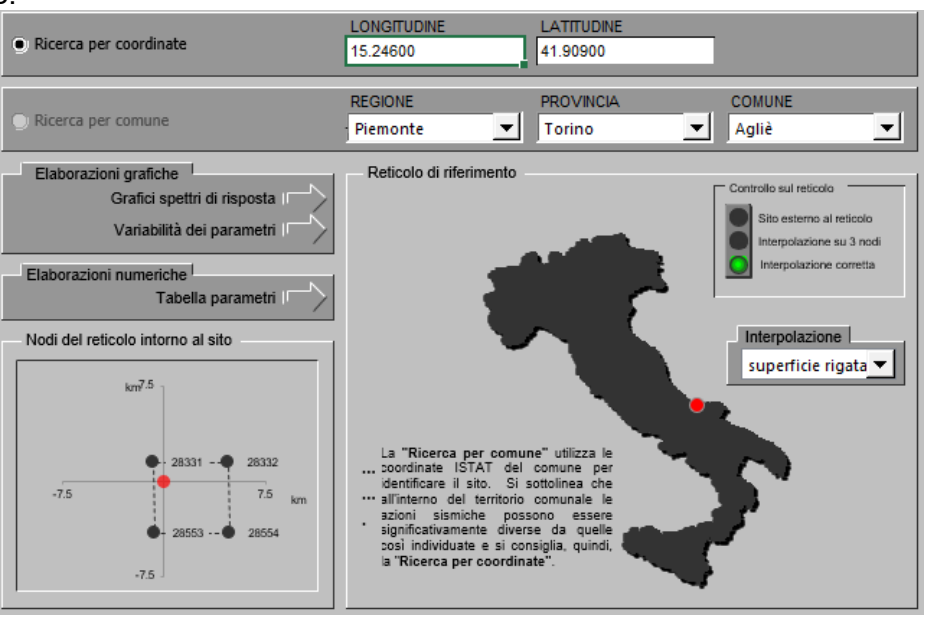
5.2 PARAMETRI DI PERICOLOSITÀ SISMICA

La valutazione dei parametri di pericolosità sismica, che ai sensi del D.M. 17-01-2018, costituiscono il dato base per la determinazione delle azioni sismiche di progetto su una costruzione (forme spettrali e/o forze inerziali) dipendono, come già in parte anticipato in precedenza, dalla localizzazione geografica del sito, dalle caratteristiche della costruzione (Periodo di riferimento per valutazione azione sismica / VR) oltre che dallo Stato Limite di riferimento/Periodo di ritorno dell'azione sismica.

In base a quanto indicato nella caratterizzazione sismica del sito riportata nella relazione geotecnica, si ha:

Categoria sottosuolo B

In accordo a quanto riportato in Allegato A delle Norme Tecniche per le costruzioni DM 17.01.18, si ottiene per il sito in esame:



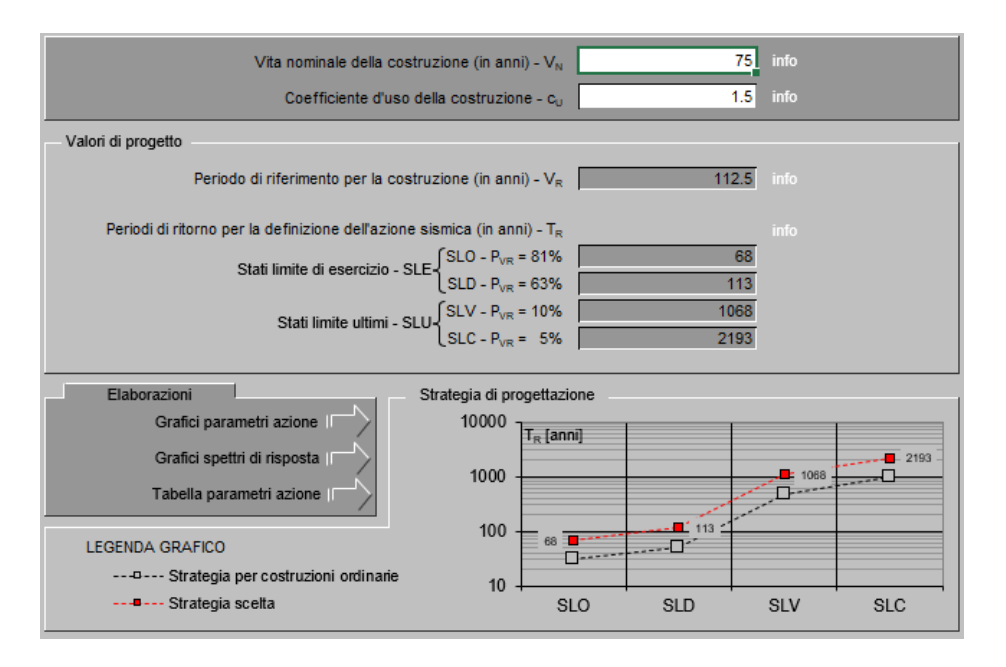




RADDOPPIO DELLA TRATTA FERROVIARIA TERMOLI-LESINA LOTTO 2 e 3 – RADDOPPIO TERMOLI - RIPALTA

IV05- Relazione di calcolo pile

COMMESSA	LOTTO	FASE	ENTE	TIPO DOC	OPE	RA 7 DISCIP	LINA	PROGR	REV	FOGLIO
LI0B	02	Ε	ΖZ	CL	IV	05	05	001	Α	12



I valori delle caratteristiche sismiche (a_g, F₀, T^{*}_C) per gli stati limite di normativa sono dunque:

SLATO	T _R	a _g	F _o	T _C *
LIMITE	[anni]	[g]	[-]	[s]
SLO	68	0.074	2.499	0.307
SLD	113	0.094	2.523	0.319
SLV	1068	0.242	2.452	0.346
SLC	2193	0.315	2.440	0.354

- a_g → accelerazione orizzontale massima del terreno, espressa come frazione dell'accelerazione di gravità;
- F₀ → valore massimo del fattore di amplificazione dello spettro in accelerazione orizzontale:
- $T_C^* \rightarrow$ periodo di inizio del tratto a velocità costante dello spettro in accelerazione orizzontale;
- $S \rightarrow coefficiente$ che comprende l'effetto dell'amplificazione stratigrafica (S_S) e dell'amplificazione topografica (S_T) .

Si riportano nelle immagini seguenti gli spettri di risposta in termini di accelerazioni elastiche e di accelerazioni di progetto (ottenuti considerando un fattore di struttura q=1.5, CD"B").

L'analisi sismica è stata svolta in campo lineare mediante l'analisi dinamica modale con spettri di risposta considerando come masse partecipanti esclusivamente quelle associate al peso proprio degli elementi strutturali ed ai carichi fissi non strutturali.

Le sollecitazioni sismiche di progetto per gli elementi non dissipativi (impalcato, baggioli, appoggi, platee di fondazione) sono ottenute considerando gli spettri di risposta elastici; le sollecitazioni su pile, spalle e pali di fondazione sono ottenute considerando gli spettri di progetto (q=1.5, Classe di Duttilità "B") adottando, ove necessario, gli opportuni dettagli strutturali necessari a garantire una adeguata duttilità.





RADDOPPIO DELLA TRATTA FERROVIARIA TERMOLI-LESINA LOTTO 2 e 3 – RADDOPPIO TERMOLI - RIPALTA

IV05- Relazione di calcolo pile

COMMESSA LOTTO FASE ENTE TIPO DOC OPERA 7 DISCIPLINA PROGR REV FOGLIO 02 Ε LI0B CL 05 05 001 13

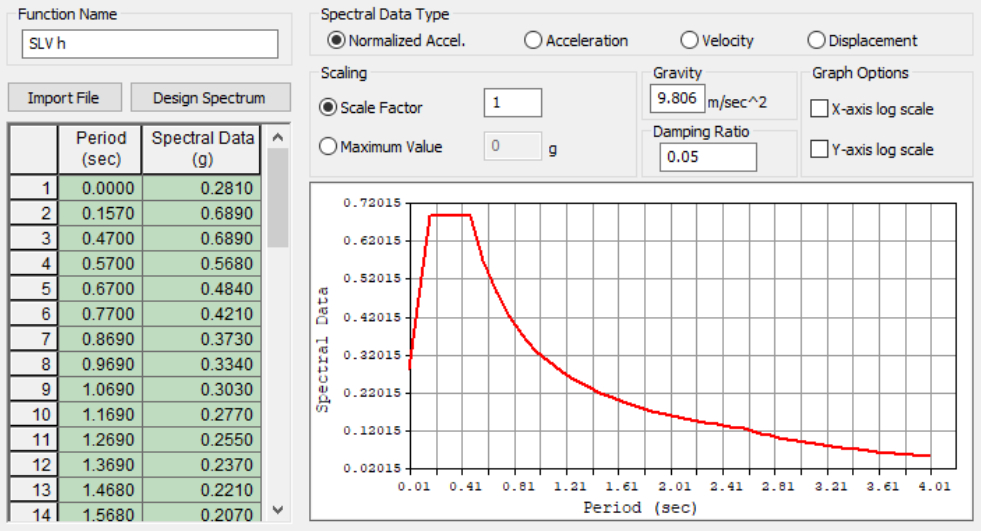


Figura 5 - Spettro in termini di accelerazione orizzontale SLV Elastica

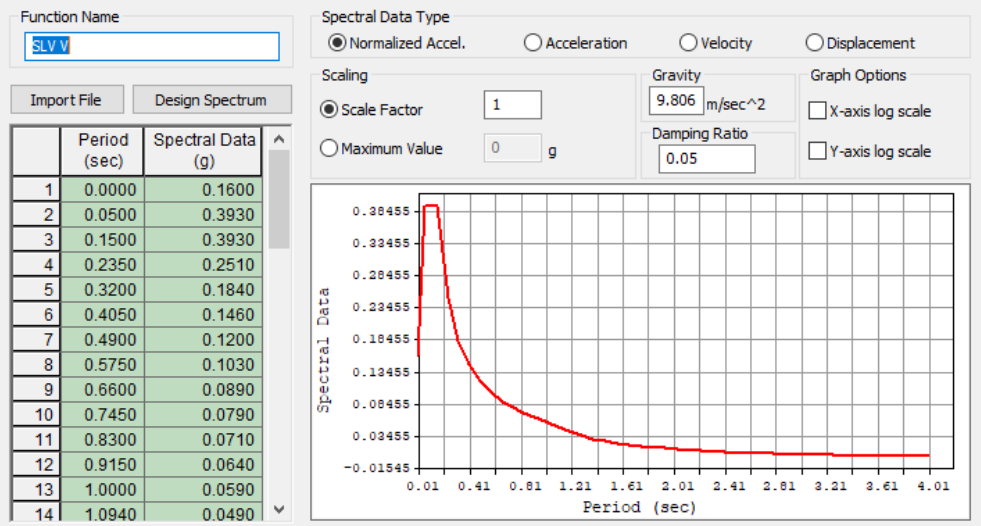


Figura 6 – Spettro in termini di accelerazione verticale SLV Elastica

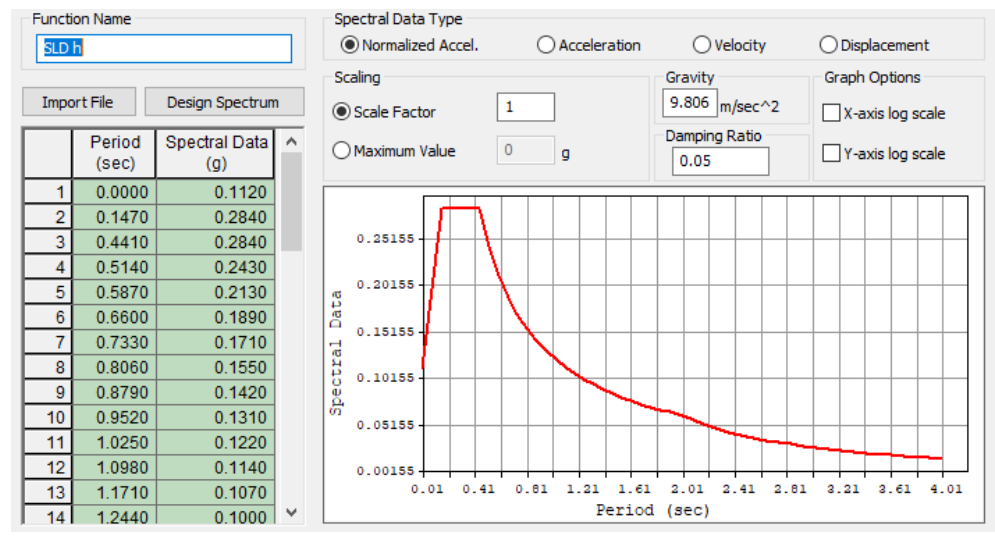


Figura 7 – Spettro in termini di accelerazione orizzontale SLD Elastica





RADDOPPIO DELLA TRATTA FERROVIARIA TERMOLI-LESINA LOTTO 2 e 3 – RADDOPPIO TERMOLI - RIPALTA

IV05- Relazione di calcolo pile

COMMESSA LOTTO FASE ENTE TIPO DOC OPERA 7 DISCIPLINA PROGR FOGLIO Ε IV 02 LI0B CL 05 05 001 14

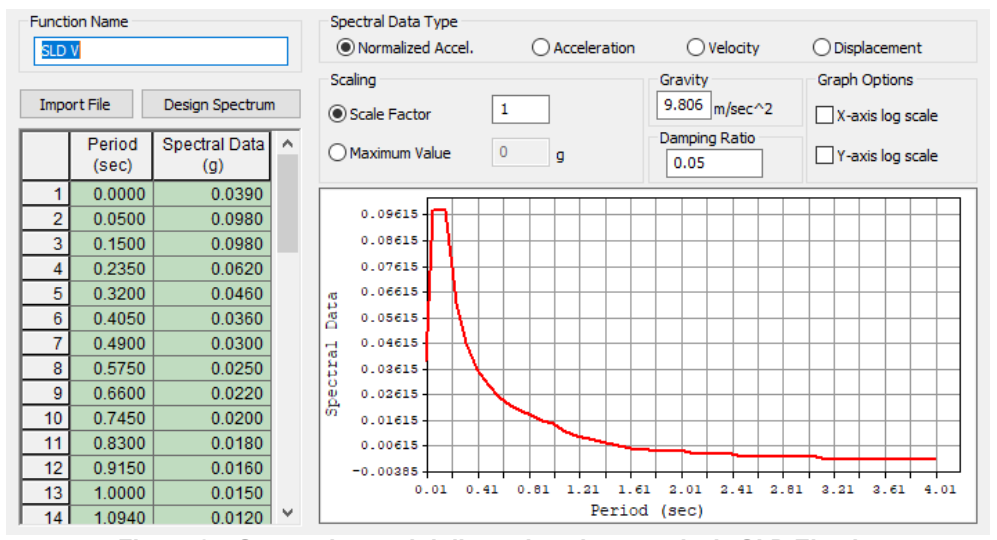


Figura 8 – Spettro in termini di accelerazione verticale SLD Elastica

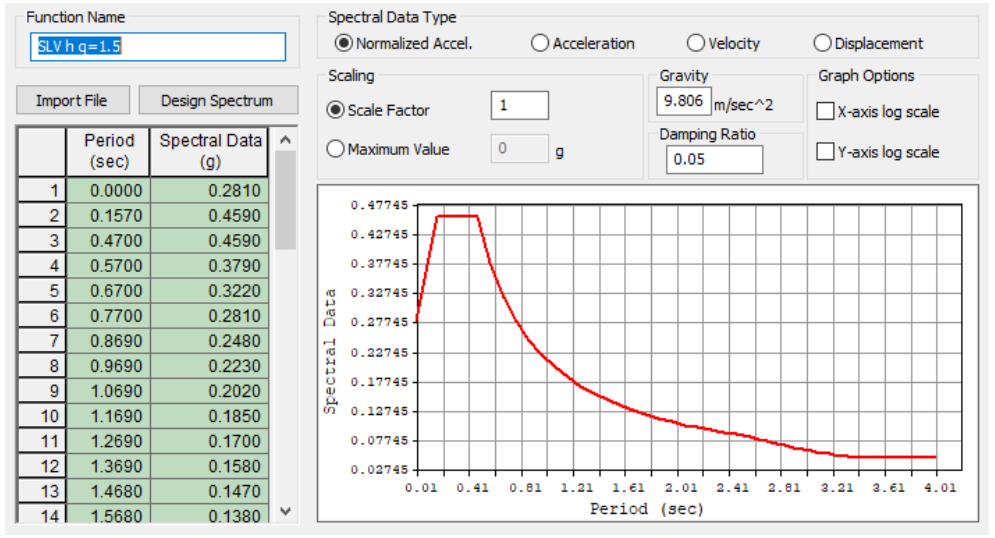


Figura 9 – Spettro in termini di accelerazione orizzontale SLV di progetto (q=1.5)





RADDOPPIO DELLA TRATTA FERROVIARIA TERMOLI-LESINA LOTTO 2 e 3 – RADDOPPIO TERMOLI - RIPALTA

IV05- Relazione di calcolo pile	L

COMMESSA	LOTTO	FASE	ENTE	TIPO DOC	OPE	RA 7 DISCIP	LINA	PROGR	REV	FOGLIO
LI0B	02	Е	ZZ	CL	IV	05	05	001	Α	15

6. ANALISI DEI CARICHI

Per l'analisi dei carichi si faccia riferimento a quanto già riportato nella relazione di calcolo impalcato, ad eccezione dell'azione del vento sulle pile e dell'azione eccezionale dell'urto ferroviario applicata alle pile che sono determinate nei successivi paragrafi.

6.1 AZIONE DEL VENTO SULLE PILE

Facendo riferimento alla pressione cinetica q_{ref}=0.456kPa ed al coefficiente di esposizione c_{esp}=2,81 il cui calcolo è riportato nella relazione di calcolo impalcato, si determina il coefficiente di pressione da considerare per il calcolo dell'azione del vento sui fusti pila e sui pulvini.

Il rapporto geometrico tra i lati, assimilando la sezione del fusto a un rettangolo, è pari a d/b= 5/2 =2.5. Ne consegue che il coefficiente di forza è pari a: c_{f0} = -1.64*log(d/b)+2.15=1.5

Considerando che gli angoli della sezione sono arrotondati (estremità semicircolari) il coefficiente di smusso è pari a ψ_r =0.5. Il coefficiente legato agli effetti di bordo è invece pari a ψ_λ =0.92. Si ottiene guindi:

c_f= 0.5*0.92*1.5=0.69.

L'azione distribuita del vento sul fusto pila è pari a: $q_{w,fusto} = 0.456*2.81*0.69*2=1.77kN/m$; L'azione distribuita del vento sul pulvino è pari a: $q_{w,pulv} = 0.456*2.81*0.69*3.2=2.83kN/m$;

6.2 URTI DA TRAFFICO FERROVIARIO

La pila rispetto all'asse binario si trova ad una distanza compresa fra 5 e 15 m, per cui seguendo il § 3.6.3.4 relativo agli urti da traffico ferroviario, si è considerata una forza in direzione parallela alla direzione di marcia dei convogli ferroviari pari a 2000 kN e in direzione perpendicolare pari a 750 kN. Tale azione è stata considerata come azione eccezionale.





RADDOPPIO DELLA TRATTA FERROVIARIA TERMOLI-LESINA LOTTO 2 e 3 – RADDOPPIO TERMOLI - RIPALTA

IV05- Relazione	di	calcolo pile	е
-----------------	----	--------------	---

COMMESSA	LOTTO	FASE	ENTE	TIPO DOC	OPERA 7 DISCIPLINA PROGR				REV	FOGLIO
LI0B	02	Ш	ZZ	CL	IV	05	05	001	A	16

7. COMBINAZIONI DI CARICO

Si riportano di seguito le combinazioni di carico utilizzate nei calcoli. Ai fini delle verifiche agli stati limite, in accordo con le NTC18, si definiscono le seguenti combinazioni di:

- Combinazione FONDAMENTALE, generalmente impiegata per gli stati limite ultimi (SLU): $\gamma_{G1} + \gamma_{G2} + \gamma_{G3} + \gamma_{P} + \gamma_{Q1} + \gamma_{Q2} + \gamma_{Q2} + \gamma_{Q2} + \gamma_{Q3} + \gamma_{Q3$
- Combinazione RARA, generalmente impiegata per gli stati limite di esercizio (SLE) irreversibili: $G_1 + G_2 + G_3 + P + Q_{k1} + \Psi_{02} \cdot Q_{k2} + \Psi_{03} \cdot Q_{k3} + \dots$
- Combinazione FREQUENTE, generalmente impiegata per gli stati limite di esercizio (SLE) reversibili: $G_1 + G_2 + G_3 + P + \Psi_{11} \cdot Q_{k1} + \Psi_{22} \cdot Q_{k2} + \Psi_{23} \cdot Q_{k3} + \dots$
- Combinazione QUASI PERMANENTE, generalmente impiegata per gli effetti a lungo termine: $G_1 + G_2 + G_3 + P + \Psi_{21} \cdot Q_{k1} + \Psi_{22} \cdot Q_{k2} + \Psi_{23} \cdot Q_{k3} + \dots$
- Combinazione SISMICA, impiegata per gli stati limite ultimi e di esercizio connessi all'azione sismica: E + G₁ + G₃ + P + Ψ_{21} ·Q_{k1} + Ψ_{22} ·Q_{k2} + Ψ_{23} ·Q_{k3} + ...

Nelle combinazioni per le verifiche allo stato limite di esercizio (SLE), ovvero quelle rare, frequenti e quasi permanenti, si intende che vengono omessi i carichi Q_{kj} che danno un contributo favorevole ai fini delle verifiche e, se del caso, i carichi G_2 . Le verifiche agli stati limite ultimi sono eseguite facendo riferimento allo stato limite ultimo di tipo strutturale STR ovvero per il raggiungimento della resistenza ultima negli elementi strutturali.

Per quanto riguarda la risposta alle diverse componenti dell'azione sismica, gli effetti sulla struttura (sollecitazioni, deformazioni, spostamenti, ecc) sono combinate successivamente applicando l'espressione $1.00 \cdot Ex + 0.30 \cdot Ey + 0.30 \cdot Ez$

con rotazione dei coefficienti moltiplicativi e conseguente individuazione degli effetti più gravosi. Occorre precisare che con il segno negativo verranno indicate le azioni aventi direzione positiva delle Z (ovvero dirette verso l'alto).

Nello specifico si ottengono:

LIST OF LOAD COMBINATIONS

NUM NAME ACTIVE LOADCASE(FACTOR) + LOADCASE(FACTOR) + LOADCASE(FACTOR) ______ G SLU Add Active G1(1.350) +G2(1.500) G SLE Add 2 Active G1(1.000) +G2(1.000) SLU1 3 Active Schema 1(1.350) + Res vincoli (Q9)(0.720) G SLU(1.000) + Ritiro(1.200) + Wind x (Q5)(0.900) +Wind z (Q5)(0.900) Mob Sp(1.350) SLU2 Add Active G SLU(1.000) + Schema 1(1.350) + Res vincoli (Q9)(0.720) Ritiro(1.200) + Wind x (Q5)(-0.900) +Wind z (Q5)(-0.900)





RADDOPPIO DELLA TRATTA FERROVIARIA TERMOLI-LESINA LOTTO 2 e 3 - RADDOPPIO TERMOLI - RIPALTA

					TIPO DOC		RA 7 DISCIP	LINA	PROGR	REV	FOGLIO
IV05- Relazione di calcolo pile	LI0B	02	Е	ZZ	CL	IV	05	05	001	Α	17

+	Mob Sp(1.350)		
5 + +	SLU3 Active G SLE(1.000) + Ritiro(1.200) + Mob Sp(1.350)	Add Schema 1(1.350) + Wind x (Q5)(0.900) +	Res vincoli (Q9)(0.720) Wind z (Q5)(0.900)
6 + +	SLU4 Active G SLE(1.000) + Ritiro(1.200) + Mob Sp(1.350)	Add Schema 1(1.350) + Wind x (Q5)(-0.900) +	Res vincoli (Q9)(0.720) Wind z (Q5)(-0.900)
7 + +	SLU5 Active G SLU(1.000) + Ritiro(1.200) + Fren (Q3)(1.350) +	Add Schema 1 freq(1.350) + Wind x (Q5)(0.900) + Mob Sp(0.700)	Res vincoli (Q9)(0.720) Wind z (Q5)(0.900)
8 + +	SLU6 Active G SLU(1.000) + Ritiro(1.200) + Fren (Q3)(1.350) +		Res vincoli (Q9)(0.720) Wind z (Q5)(-0.900)
9 + +	G SLE(1.000) +	Add Schema 1 freq(1.350) + Wind x (Q5)(0.900) + Mob Sp(0.700)	Res vincoli (Q9)(0.720) Wind z (Q5)(0.900)
10 + +	SLU8 Active G SLE(1.000) + Ritiro(1.200) + Fren (Q3)(1.350) +	Add Schema 1 freq(1.350) + Wind x (Q5)(-0.900) + Mob Sp(0.700)	Res vincoli (Q9)(0.720) Wind z (Q5)(-0.900)
11 + +	SLU9 Active Wind x (Q5)(0.900) + Ritiro(1.200) + Mob Sp(1.350)	Add Wind z (Q5)(0.900) + Schema 1(1.350) +	Res vincoli (Q9)(-0.720) G SLU(1.000)
12 + +	SLU10 Active Wind x (Q5)(-0.900) + Ritiro(1.200) + Mob Sp(1.350)	Add Wind z (Q5)(-0.900) + Schema 1(1.350) +	
13 + +	SLU11 Active Wind x (Q5)(0.900) + Ritiro(1.200) + Mob Sp(1.350)	Add Wind z (Q5)(0.900) + Schema 1(1.350) +	Res vincoli (Q9)(-0.720) G SLE(1.000)
14 + +	SLU12 Active Wind x (Q5)(-0.900) + Ritiro(1.200) + Mob Sp(1.350)	Add Wind z (Q5)(-0.900) + Schema 1(1.350) +	Res vincoli (Q9)(-0.720) G SLE(1.000)
15 + +		Add Wind x (Q5)(0.900) + + Ritiro(1.200) + Mob Sp(0.700)	Wind z (Q5)(0.900) Schema 1 freq(1.350)
16 + +	SLU14 Active Fren (Q3)(1.350) + Res vincoli (Q9)(-0.720) G SLU(1.000) +	+ Ritiro(1.200) + Mob Sp(0.700)	Wind z (Q5)(-0.900) Schema 1 freq(1.350)





RADDOPPIO DELLA TRATTA FERROVIARIA TERMOLI-LESINA LOTTO 2 e 3 - RADDOPPIO TERMOLI - RIPALTA

					TIPO DOC	-	RA 7 DISCIP			REV	
IV05- Relazione di calcolo pile	LI0B	02	Ε	ZZ	CL	IV	05	05	001	Α	18

17 + +	SLU15 Active Fren (Q3)(1.350) + Res vincoli (Q9)(-0.720) + G SLE(1.000) +	Add Wind x (Q5)(0.900) + Ritiro(1.200) + Mob Sp(0.700)	Wind z (Q5)(0.900) Schema 1 freq(1.350)
18 + +	SLU16 Active Fren (Q3)(1.350) + Res vincoli (Q9)(-0.720) + G SLE(1.000) +	Add Wind x (Q5)(-0.900) + Ritiro(1.200) + Mob Sp(0.700)	Wind z (Q5)(-0.900) Schema 1 freq(1.350)
19 + +	SLU17 Active G SLU(1.000) + Ritiro(1.200) + Mob Sp(0.700)	Add Schema 1 freq(1.350) + Wind x (Q5)(1.500) +	Res vincoli (Q9)(0.720) Wind z (Q5)(1.500)
20 + +	SLU18 Active G SLU(1.000) + Ritiro(1.200) + Mob Sp(0.700)	Add Schema 1 freq(1.350) + Wind x (Q5)(-1.500) +	Res vincoli (Q9)(0.720) Wind z (Q5)(-1.500)
21 + +	SLU19 Active G SLE(1.000) + Ritiro(1.200) + Mob Sp(0.700)	Add Schema 1 freq(1.350) + Wind x (Q5)(1.500) +	Res vincoli (Q9)(0.720) Wind z (Q5)(1.500)
22 + +	SLU20 Active G SLE(1.000) + Ritiro(1.200) + Mob Sp(0.700)	Add Schema 1 freq(1.350) + Wind x (Q5)(-1.500) +	Res vincoli (Q9)(0.720) Wind z (Q5)(-1.500)
23	SLV-X1 Active G SLE(1.000) + SLV Z(0.300) +	Add SLV X q=1.5(1.000) + SLVX- Sp(1.000) +	SLV Y q=1.5(0.300) SLVY- Sp(0.300)
24	SLV-X2 Active G SLE(1.000) + SLV Z(0.300) +	Add SLV X q=1.5(-1.000) + SLVX+ Sp(1.000) +	SLV Y q=1.5(0.300) SLVY- Sp(0.300)
25 +	SLV-X3 Active G SLE(1.000) + SLV Z(0.300) +	Add SLV X q=1.5(1.000) + SLVX- Sp(1.000) +	SLV Y q=1.5(-0.300) SLVY+ Sp(0.300)
26	SLV-X4 Active G SLE(1.000) + SLV Z(0.300) +	Add SLV X q=1.5(-1.000) + SLVX+ Sp(1.000) +	SLV Y q=1.5(-0.300) SLVY+ Sp(0.300)
27 +	G SLE(1.000) +	Add SLV X q=1.5(1.000) + SLVX- Sp(1.000) +	
28 +	G SLE(1.000) +	Add SLV X q=1.5(-1.000) + SLVX+ Sp(1.000) +	SLV Y q=1.5(0.300) SLVY- Sp(0.300)
29 +		Add SLV X q=1.5(1.000) + SLVX- Sp(1.000) +	SLV Y q=1.5(-0.300) SLVY+ Sp(0.300)
30 +		Add SLV X q=1.5(-1.000) + SLVX+ Sp(1.000) +	





HYPTO RADDOPPIO DELLA TRATTA FERROVIARIA TERMOLI-LESINA LOTTO 2 e 3 - RADDOPPIO TERMOLI - RIPALTA

					TIPO DOC		RA 7 DISCIP	LINA	PROGR	REV	FOGLIO
IV05- Relazione di calcolo pile	LI0B	02	Е	ZZ	CL	IV	05	05	001	Α	19

31	SLV-Y1 Active G SLE(1.000) + SLV Z(0.300) +	Add SLV X q=1.5(0.300) + SLV Y q=1.5(1.000) SLVX- Sp(0.300) + SLVY- Sp(1.000)
32 +	SLV-Y2 Active G SLE(1.000) + SLV Z(0.300) +	Add SLV X q=1.5(0.300) + SLV Y q=1.5(-1.000) SLVX- Sp(0.300) + SLVY+ Sp(1.000)
33 +	SLV-Y3 Active G SLE(1.000) + SLV Z(0.300) +	Add SLV X q=1.5(-0.300) + SLV Y q=1.5(1.000) SLVX+ Sp(0.300) + SLVY- Sp(1.000)
34		Add SLV X q=1.5(-0.300) + SLV Y q=1.5(-1.000) SLVX+ Sp(0.300) + SLVY+ Sp(1.000)
35	SLV-Y5 Active G SLE(1.000) + SLV Z(-0.300) +	Add SLV X q=1.5(0.300) + SLV Y q=1.5(1.000) SLVX- Sp(0.300) + SLVY- Sp(1.000)
36	SLV-Y6 Active G SLE(1.000) + SLV Z(-0.300) +	Add SLV X q=1.5(0.300) + SLV Y q=1.5(-1.000) SLVX- Sp(0.300) + SLVY+ Sp(1.000)
37 +	SLV-Y7 Active G SLE(1.000) + SLV Z(-0.300) +	Add SLV X q=1.5(-0.300) + SLV Y q=1.5(1.000) SLVX+ Sp(0.300) + SLVY- Sp(1.000)
38	SLV-Y8 Active G SLE(1.000) + SLV Z(-0.300) +	Add SLV X q=1.5(-0.300) + SLV Y q=1.5(-1.000) SLVX+ Sp(0.300) + SLVY+ Sp(1.000)
39 +	SLV-Z1 Active G SLE(1.000) + SLV Z(1.000) +	Add SLV X q=1.5(0.300) + SLV Y q=1.5(0.300) SLVX- Sp(0.300) + SLVY- Sp(0.300)
40 +	SLV-Z2 Active G SLE(1.000) + SLV Z(-1.000) +	Add SLV X q=1.5(0.300) + SLV Y q=1.5(0.300) SLVX- Sp(0.300) + SLVY- Sp(0.300)
41 +	SLV-Z3 Active G SLE(1.000) + SLV Z(1.000) +	Add SLV X q=1.5(-0.300) + SLV Y q=1.5(-0.300) SLVX+ Sp(0.300) + SLVY+ Sp(0.300)
42 +	G SLE(1.000) +	Add SLV X q=1.5(-0.300) + SLV Y q=1.5(-0.300) SLVX+ Sp(0.300) + SLVY+ Sp(0.300)
43 +	ECC-1 Active G SLE(1.000) + Res vincoli (Q9)(1.000)	Ritiro(1.000) + Urto ferrov x (A)(1.000)
44 +	ECC-2 Active G SLE(1.000) + Res vincoli (Q9)(1.000)	Add
45 +	ECC-3 Active G SLE(1.000) + Res vincoli (Q9)(-1.000)	Add Ritiro(1.000) + Urto ferrov x (A)(1.000)
46	ECC-4 Active G SLE(1.000) +	





HYPro RADDOPPIO DELLA TRATTA FERROVIARIA TERMOLI-LESINA LOTTO 2 e 3 - RADDOPPIO TERMOLI - RIPALTA

	COMMESSA	LOTTO	FASE	ENTE	TIPO DOC	OPE	RA 7 DISCIP	LINA	PROGR	REV	FOGLIO
IV05- Relazione di calcolo pile	LI0B	02	П	ZZ	CL	IV	05	05	001	Α	20

+	Res vincoli (Q9)(-1.000)		
47 + +	G SLE(1.000) +	Add Schema 1(1.000) + Ritiro(1.000) + R	Wind x (Q5)(0.600) es vincoli (Q9)(1.000)
48 + +	SLE-R2 Active G SLE(1.000) + Wind z (Q5)(-0.600) + Mob Sp(1.000)	Add Schema 1(1.000) + Ritiro(1.000) + R	
49 +	SLE_FR1 Active G SLE(1.000) + Ritiro(1.000) +	Add Schema 1 freq(1.000) + Mob Sp(0.700)	Res vincoli (Q9)(1.000)
50	SLE_QP Active G SLE(1.000) +	Add Res vincoli (Q9)(1.000)	·
51	SLV-X1E Active SLVX- Sp(1.000) + SLV Y(0.300) +	Add SLVY- Sp(0.300) + SLV Z(0.300) +	SLV X(1.000) G SLE(1.000)
52 +	SLV-X2E Active SLVX+ Sp(1.000) + SLV Y(0.300) +	Add SLVY- Sp(0.300) + SLV Z(0.300) +	SLV X(-1.000) G SLE(1.000)
53 +	SLV-X3E Active SLVX- Sp(1.000) + SLV Y(-0.300) +	Add SLVY+ Sp(0.300) + SLV Z(0.300) +	SLV X(1.000) G SLE(1.000)
54 +	SLV-X4E Active SLVX+ Sp(1.000) + SLV Y(-0.300) +	Add SLVY+ Sp(0.300) + SLV Z(0.300) +	SLV X(-1.000) G SLE(1.000)
55 +	SLV-X5E Active SLVX- Sp(1.000) + SLV Y(0.300) +	Add SLVY- Sp(0.300) + SLV Z(-0.300) +	SLV X(1.000) G SLE(1.000)
56 +	SLV-X6E Active SLVX+ Sp(1.000) + SLV Y(0.300) +	Add SLVY- Sp(0.300) + SLV Z(-0.300) +	SLV X(-1.000) G SLE(1.000)
57 +	SLV-X7E Active SLVX- Sp(1.000) + SLV Y(-0.300) +	Add SLVY+ Sp(0.300) + SLV Z(-0.300) +	SLV X(1.000) G SLE(1.000)
58 +	SLV-X8E Active SLVX+ Sp(1.000) + SLV Y(-0.300) +	Add SLVY+ Sp(0.300) + SLV Z(-0.300) +	SLV X(-1.000) G SLE(1.000)
59 +	SLV-Y1E Active SLVX- Sp(0.300) + SLV Y(1.000) +	Add SLVY- Sp(1.000) + SLV Z(0.300) +	SLV X(0.300) G SLE(1.000)
60	SLV-Y2E Active SLVX- Sp(0.300) + SLV Y(-1.000) +	Add SLVY+ Sp(1.000) + SLV Z(0.300) +	SLV X(0.300) G SLE(1.000)
61	SLV-Y3E Active SLVX+ Sp(0.300) + SLV Y(1.000) +	Add SLVY- Sp(1.000) + SLV Z(0.300) +	SLV X(-0.300) G SLE(1.000)





RADDOPPIO DELLA TRATTA FERROVIARIA TERMOLI-LESINA LOTTO 2 e 3 - RADDOPPIO TERMOLI - RIPALTA

					TIPO DOC		RA 7 DISCIP		1110011	REV	FOGLIO
IV05- Relazione di calcolo pile	LI0B	02	Е	ZZ	CL	IV	05	05	001	A	21

62	SLV-Y4E Active SLVX+ Sp(0.300) + SLV Y(-1.000) +	Add SLVY+ Sp(1.000) + SLV Z(0.300) +	SLV X(-0.300) G SLE(1.000)
63	SLV-Y5E Active SLVX- Sp(0.300) + SLV Y(1.000) +	Add SLVY- Sp(1.000) + SLV Z(-0.300) +	SLV X(0.300) G SLE(1.000)
64	SLV-Y6E Active SLVX- Sp(0.300) + SLV Y(-1.000) +	Add SLVY+ Sp(1.000) + SLV Z(-0.300) +	SLV X(0.300) G SLE(1.000)
65	SLV-Y7E Active SLVX+ Sp(0.300) + SLV Y(1.000) +	Add SLVY- Sp(1.000) + SLV Z(-0.300) +	SLV X(-0.300) G SLE(1.000)
66	SLV-Y8E Active SLVX+ Sp(0.300) + SLV Y(-1.000) +	Add SLVY+ Sp(1.000) + SLV Z(-0.300) +	SLV X(-0.300) G SLE(1.000)
67 + + + + + +	ENV SLU Active SLU1(1.000) + SLU4(1.000) + SLU7(1.000) + SLU10(1.000) + SLU13(1.000) + SLU16(1.000) + SLU19(1.000) +	Envelope SLU2(1.000) + SLU5(1.000) + SLU8(1.000) + SLU11(1.000) + SLU14(1.000) + SLU17(1.000) + SLU20(1.000)	SLU3(1.000) SLU6(1.000) SLU9(1.000) SLU12(1.000) SLU15(1.000) SLU18(1.000)
68 + + + + + + + + + + + + + + + + + + +	ENV SLV Active SLV-X1(1.000) + SLV-X4(1.000) + SLV-X7(1.000) + SLV-Y2(1.000) + SLV-Y5(1.000) + SLV-Y8(1.000) + SLV-Z3(1.000) +	Envelope SLV-X2(1.000) + SLV-X5(1.000) + SLV-X8(1.000) + SLV-Y3(1.000) + SLV-Y6(1.000) + SLV-Z1(1.000) + SLV-Z4(1.000)	SLV-X3(1.000) SLV-X6(1.000) SLV-Y1(1.000) SLV-Y4(1.000) SLV-Y7(1.000) SLV-Z2(1.000)
69 + + + + + + +	ENV SLVE Active SLV-X1E(1.000) + SLV-X4E(1.000) + SLV-X7E(1.000) + SLV-Y2E(1.000) + SLV-Y5E(1.000) + SLV-Y8E(1.000)	Envelope SLV-X2E(1.000) + SLV-X5E(1.000) + SLV-X8E(1.000) + SLV-Y3E(1.000) + SLV-Y6E(1.000) +	SLV-X3E(1.000) SLV-X6E(1.000) SLV-Y1E(1.000) SLV-Y4E(1.000) SLV-Y7E(1.000)



8. CRITERI DI VERIFICA

8.1 VERIFICHE AGLI STATI LIMITE ULTIMI (SLU)

8.1.1 Verifiche geotecniche (GEO)

Si rimanda alla relazione geotecnica allegata al presente progetto.

8.1.2 Verifiche strutturali (STR)

Verifica al taglio

Il metodo semiprobabilistico agli stati limite considera verificata la sezione a taglio se è rispettata la seguente relazione tra sforzi di taglio:

$$V_{Ed} \leq V_{R}$$

Le NTC e l'EC2 prevedono il confronto del taglio di calcolo V_{Ed} con una espressione della resistenza a compressione delle bielle d'anima ("taglio compressione"). Per staffe ortogonali all'asse della trave si può scrivere:

$$V_{Rcd} = 0.9 \cdot d \cdot b_w \cdot \alpha_c \cdot f_{cd} \cdot \text{ctg q/} (1+\text{ctg2 q})$$

d è l'altezza utile della sezione

f'cd è la resistenza a compressione ridotta del conglomerato pari a:

f'cd = 0,5 fcd nelle NTC e nella bozza dell'Appendice nazionale all'EC2

f'cd = 0,7 (1 fck /250) nell'EC2 (fck in Mpa)

bw è la larghezza minima della sezione misurata parallelamente all'asse neutro; rappresenta cioè la minima dimensione resistente della biella compressa dell'ideale traliccio resistente.

Verifica a presso-flessione

Con riferimento alla sezione pressoinflessa rappresentata in Figura 1 assieme al diagrammi $\sigma - \epsilon$ dell'acciaio, la verifica di resistenza (SLU) si esegue controllando che:

$$M_{Rd} = M_{Rd} (N_{Ed}) \ge M_{Ed}$$

dove

 M_{Rd} è il valore di calcolo del momento resistente corrispondente a $N_{Rd} = N_{Ed}$;

N_{Ed} è il valore di progetto della componente assiale (sforzo normale) dell'azione;

M_{Ed} è il valore di progetto della componente flettente dell'azione.

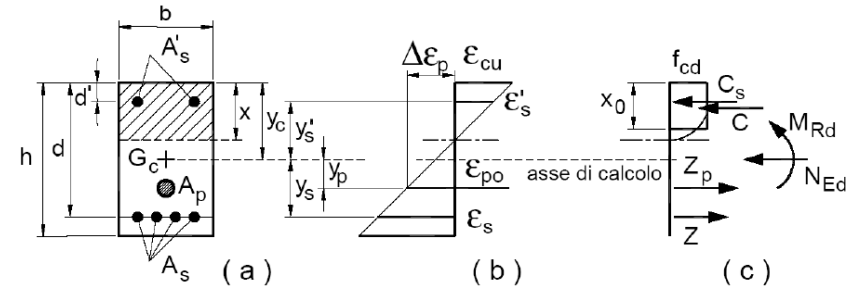
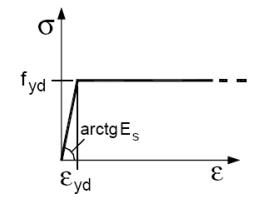


Figura 10 - Sezione presso-inflessa



Per l'acciaio d'armatura il diagramma tensioni-deformazioni è quello riportato nella figura sopra, mentre per il calcestruzzo si è assunto un diagramma rettangolare (stress-block) ottenuto considerando $x_0 = 0.80 \text{ x}$.





RADDOPPIO DELLA TRATTA FERROVIARIA TERMOLI-LESINA LOTTO 2 e 3 – RADDOPPIO TERMOLI - RIPALTA

IV05- Relazione di calc	olo pile
-------------------------	----------

COMMESSA	LOTTO	FASE	ENTE	TIPO DOC	OPERA 7 DISCIPLINA			PROGR	REV	FOGLIO
LI0B	02	Ш	ZZ	CL	IV	05	05	001	A	23

8.2 VERIFICHE STATO LIMITE DI ESERCIZIO

Le verifiche allo stato limite di esercizio riguardano:

- Controllo delle tensioni nell'acciaio e nel calcestruzzo (combinazioni rara e quasi permanente)
- Limitazione dell'ampiezza delle fessure nel calcestruzzo (combinazioni frequente e quasi permanente)

In entrambi i casi, il calcolo delle tensioni nella sezione resistente avviene ipotizzando una legge costitutiva tensioni-deformazioni di tipo lineare. Nel primo caso, noti i valori delle tensioni nell'acciaio e nel calcestruzzo, si valuta il rispetto dei limiti tensionali previsti dalla norma; nel secondo caso in accordo con quanto riportato al capitolo 3, si adotta il limite $w_1 = 0.2$ mm per tutti gli elementi strutturali analizzati nella presente relazione.

8.2.1 Limitazione delle tensioni

La verifica riguarda il controllo degli stati tensionali ed è soddisfatta se risultano rispettati i seguenti limiti:

σ_c ≤ 0.40 f_{ck} (Combinazione Quasi Permanente)

• $\sigma_s \le 0.75 \, f_{yk}$ (Combinazione Quasi Permanente)

• $\sigma_c \leq 0.55 \, f_{ck}$ (Combinazione Caratteristica)

• $\sigma_s \le 0.75 \, f_{yk}$ (Combinazione Caratteristica)





RADDOPPIO DELLA TRATTA FERROVIARIA TERMOLI-LESINA LOTTO 2 e 3 – RADDOPPIO TERMOLI - RIPALTA

IV05- Relazione di	calcolo pile
--------------------	--------------

COMMESSA	LOTTO	FASE	ENTE	TIPO DOC	OPE	RA 7 DISCIP	LINA	PROGR	REV	FOGLIO
LI0B	02	Ε	ZZ	CL	IV	05	05	001	Α	24

9. MODELLAZIONE ED ANALSI ISTRUTTURALE

9.1 SOFTWARE DI CALCOLO

In base a quanto esposto al paragrafo precedente, per una corretta analisi dell'impalcato è stato necessario implementare tre diversi modelli di calcolo.

Nel seguito si riportano le caratteristiche generali del codice di calcolo utilizzato, nonché i dati generali sul modello realizzato comprensivi della numerazione di nodi ed aste.

Le unità di misura, ove non espressamente indicate, sono le seguenti:

lunghezze: m
forze: kN
coppie: kN-m
temperature: °C
tempo: sec

L' analisi della struttura è stata eseguita impiegando il software di calcolo impiegato è *Midas Gen versione XXXX* prodotto dalla *MIDAS Information Technology Co.* e distribuito in italia da *CSPFea*, concesso in licenza, numero XXXXXXXXX, a XXXXXXXX.

Midas/Gen è un programma di calcolo agli elementi finiti di tipo generale, corredato da un set di postprocessori per le verifiche, che ottemperano alle disposizioni normative di svariati paesi, tra cui anche quelle degli euro codici e delle NTC 2018.

Il solutore agli elementi finiti, completamente scritto in C++, è stato sviluppato nel corso di oltre vent'anni, ed implementa tutte le tecniche più avanzate nel campo dell'analisi numerica delle strutture, consentendo di risolvere integralmente tutte le problematiche di analisi e progettazione strutturale dalle più semplici alle più complesse.

La libreria di elementi finiti è molto vasta e comprende beam a sezione variabile, truss resistenti a sola trazione e/o sola compressione, elementi Wall per pareti antisismiche, plate, solid, plane stress, plane strain, piastre irrigidite ortotrope, etc.

Ill modello strutturale oggetto della presente nota è realizzato con elementi beam e con elementi plate

Il modello numerico che Midas utilizza per l'analisi di elementi monodimensionali è quello di Timoshenko che, oltre alla deformabilità flessionale, considera anche la deformazione per effetto della sollecitazione tagliante e risulta quindi più raffinato e completo rispetto al modello di trave di Eulero-Bernoulli più comunemente utilizzato.

E' implementato anche il calcolo della rigidezza torsionale delle travi che risulta particolarmente utile ai fini di una valutazione maggiormente aderente alla realtà delle deformazioni di strutture in carpenteria metallica (finalizzata a stabilire premonte, schemi di montaggio, ecc.).

Per quanto riguarda gli elementi "plate", si tratta di elementi bidimensionali dotati di una grossa versatilità in quanto sono adatti alla modellazione di strutture sia con comportamento a lastra che a piastra con spessori non necessariamente ridottissimi.

Dal punto di vista delle strategie numeriche di risoluzione dei sistemi di equazioni che stanno alla base del calcolo strutturale, per le analisi statiche il software si avvale dell'uso di un processore multi frontale caratterizzato da una grande velocità ed affidabilità.

Le travi principali, le pile e i traversi sono stati modellati con elementi di tipo frame.

Le spalle e le platee di fondazione sono invece modellati impiegando elementi bidimensionali di tipo "plate". I dati significativi di input ed output dei modelli sono riportati in appendice.



RADDOPPIO DELLA TRATTA FERROVIARIA TERMOLI-LESINA LOTTO 2 e 3 – RADDOPPIO TERMOLI - RIPALTA

	COMMESSA	LOTTO	FASE	ENTE	TIPO DOC	OPE	RA 7 DISCIP	LINA	PROGR	REV	FOGLIO
IV05- Relazione di calcolo pile	LI0B	02	Е	ZZ	CL	IV	05	05	001	A	25

9.1.1 Grado di affidabilità del codice

L'affidabilità del codice di calcolo è garantita dall'esistenza di un'ampia documentazione di supporto, che riporta, per una serie di strutture significative, i confronti tra le analisi effettuate con il codice e quelle effettuate con codici di confronto (es. SAP2000 prodotto da Computers and Structures, Inc., California). Alcuni esempi di calcolo di validazione del software sono forniti in allegato alla presente relazione di calcolo.

9.1.2 Motivazione della scelta del codice

Midas Gen permette l'analisi dettagliata del comportamento dell'intera struttura. E' possibile inoltre scegliere il grado di affinamento dell'analisi di elementi complessi utilizzando schematizzazioni via via più dettagliate.

9.2 METODO ED IPOTESI DI CALCOLO

Per il calcolo delle sollecitazioni di progetto è stato implementato un modello di calcolo globale dell'intera opera che include sia gli impalcati che le sottostrutture.

Per modellare le pile, le travi, i trasversi e la soletta si sono impiegati elementi lineari monodimensionali tipo "beam" a due nodi a comportamento elastico lineare, di caratteristiche geometriche e meccaniche tali da riprodurre l'effettiva rigidezza degli elementi schematizzati; nella valutazione delle rigidezze è considerato, grazie all'impego del modello di trave di Timoshenko, anche la deformazione tagliante taglio. Le spalle e le platee di fondazione sono modellate mediante elementi bidimensionali di tipo plate.

La geometria del modello è tale da riprodurre l'effettiva geometria della struttura in tutte le sue parti. La rigidezza degli elementi strutturali è valutata facendo riferimento alla sezione interamente reagente.

Il materiale c.a. è schematizzato come un materiale dal comportamento elastico lineare; le caratteristiche adottate sono descritte ai capitoli precedenti.

I vincoli tengono conto della tipologia di appoggi adottati: si è utilizzata per ogni appoggio un "elastic link", che impedisce lo spostamento verticale e permette e/o impedisce gli spostamenti orizzontali in funzione della diversa tipologia di appoggio.

9.3 METODOLOGIA DI ANALISI

9.3.1 Analisi in condizioni non sismiche

Le analisi svolte in condizioni non simiche sono tutte di tipo statico lineare. L'analisi per carichi mobili è stata svolta in automatico dal software impiegando la teoria delle linee di influenza e ricavando l'inviluppo delle sollecitazioni sugli elementi strutturali.

I risultati delle analisi in termini di distribuzioni delle sollecitazioni sono riportati nei paragrafi di verifica dei singoli elementi strutturali.

9.3.2 Analisi sismica

L'analisi dinamica lineare con spettro di risposta è la metodologia di analisi adottata per valutare il comportamento strutturale sia in termini di sollecitazioni sia in termini di spostamenti. Nella fattispecie l'analisi dinamica con spettro consiste nelle seguenti fasi:

- Determinazione dei modi di vibrare della costruzione (analisi modale);
- Calcolo degli effetti dell'azione sismica mediante lo spettro di risposta di progetto considerando modi di vibrare individuati;





RADDOPPIO DELLA TRATTA FERROVIARIA TERMOLI-LESINA LOTTO 2 e 3 – RADDOPPIO TERMOLI - RIPALTA

IV05- Relazione di calcolo pile

COMMESSA	LOTTO	FASE	ENTE	TIPO DOC	OPE	RA 7 DISCIP	LINA	PROGR	REV	FOGLIO
LI0B	02	Ш	ZZ	CL	IV	05	05	001	A	26

 Combinazione degli effetti dei modi di vibrare mediante una combinazione di tipo CQC (quadratica completa).

Le sollecitazioni sismiche di progetto per gli elementi non dissipativi (impalcato, baggioli, appoggi, platee di fondazione) sono ottenute considerando gli spettri di risposta elastici; le sollecitazioni su pile, spalle e pali di fondazione sono ottenute considerando gli spettri di progetto (q=1.5, Classe di Duttilità "B") adottando, ove necessario, gli opportuni dettagli strutturali necessari a garantire una adeguata duttilità,

9.4 SISTEMI DI RIFERIMENTO ED UNITÀ DI MISURA

- Asse X parallelo all'asse longitudinale dell'impalcato
- Asse Y ortogonale all'asse longitudinale dell'impalcato
- Asse Z verticale

- Lunghezze = m

- Forze = kN

9.5 GEOMETRIA DEL MODELLO DI CALCOLO

Il modello strutturale è stato realizzato impiegando elementi frame per tutte le parti strutturali (fusti pile, travi impalcato, pulvini etc), elementi shell per i plinti di fondazione e le spalle, mentre gli appoggi sono stati modellati impiegando elementi link elastici.

9.5.1 Elementi strutturali

Come anticipato, tutti gli elementi strutturali sono stati modellati impiegando elementi finiti di tipo frame ai quali sono state assegnate le caratteristiche geometriche, sia in termini di lunghezza della linea d'asse sia in termini di dimensioni della sezione retta (vd. Vista estrusa del modello), ricavate dagli elaborati di progetto originali e dal rilievo geometrico dell'opera.

La struttura dell'impalcato in particolare è stata modellata a graticcio tenendo conto della presenza delle fasce di soletta e dei traversi che contribuiscono alla ripartizione trasversale dei carichi tra le travi di impalcato.

Nelle immagini successive si riportano due viste (profilo, 3D) del modello di calcolo dalle quali si osserva come esso rispecchi, sia come scansione delle luci che come altezza delle pile, la reale geometria dell'opera.





HYPO RADDOPPIO DELLA TRATTA FERROVIARIA TERMOLI-LESINA LOTTO 2 e 3 - RADDOPPIO TERMOLI - RIPALTA

IV05- Relazione di calcolo pile

COMMESSA	LOTTO	FASE	ENTE	TIPO DOC	OPE	RA 7 DISCIP	LINA	PROGR	REV	FOGLIO
LI0B	02	Ε	ZZ	CL	IV	05	05	001	Α	27

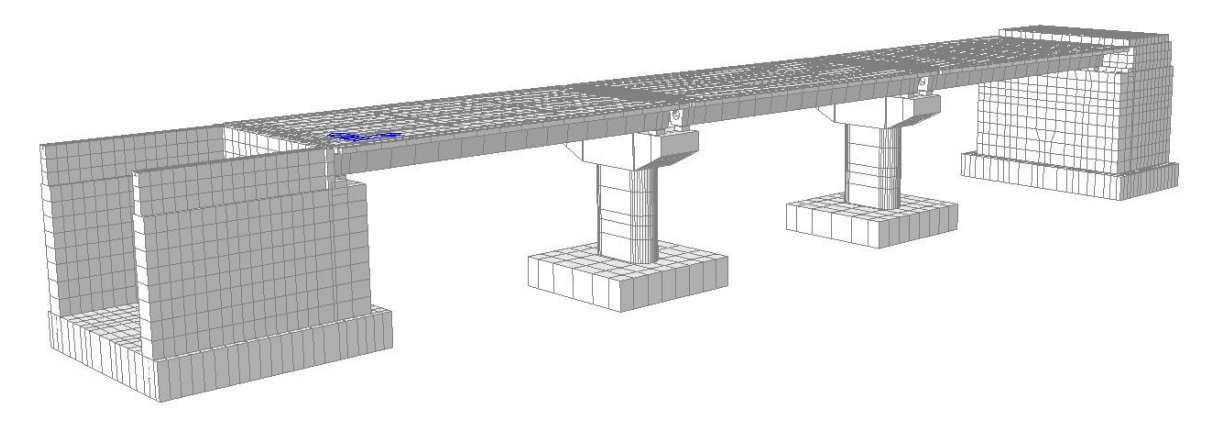


Figura 11 – Vista prospettica modello

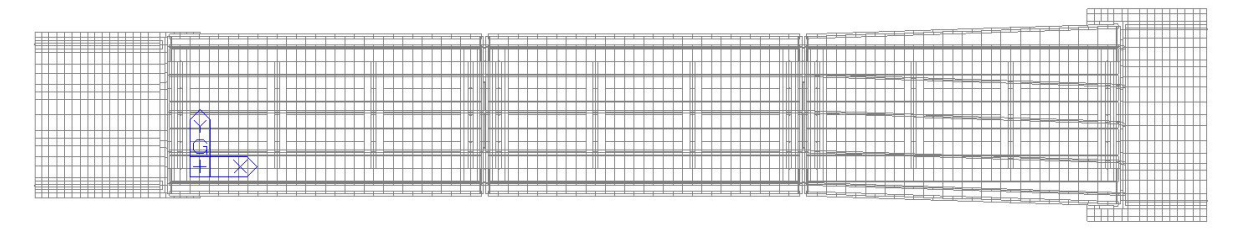


Figura 12 – Pianta impalcato



Figura 13 – Profilo

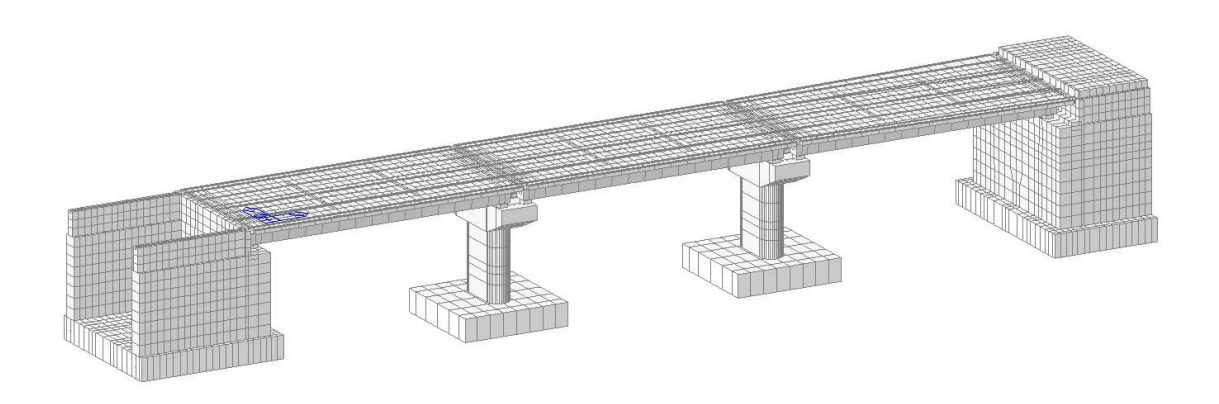


Figura 14 – Vista estrusa





HYPro RADDOPPIO DELLA TRATTA FERROVIARIA TERMOLI-LESINA LOTTO 2 e 3 - RADDOPPIO TERMOLI - RIPALTA

IV05- Relazione di calcolo pile

COMMESSA	LOTTO	FASE	ENTE	TIPO DOC	OPE	RA 7 DISCIP	LINA	PROGR	REV	FOGLIO
LI0B	02	Ε	ZZ	CL	IV	05	05	001	Α	28

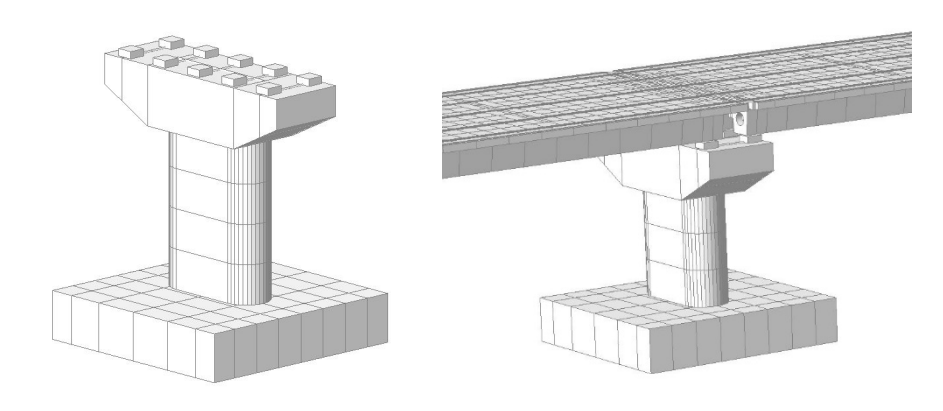


Figura 15 – Vista estrusa pila con impalcato

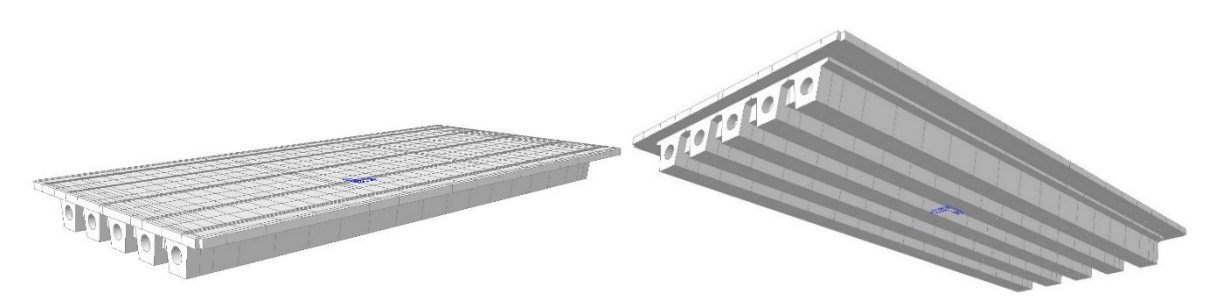


Figura 16 – Vista assonometrica impalcato

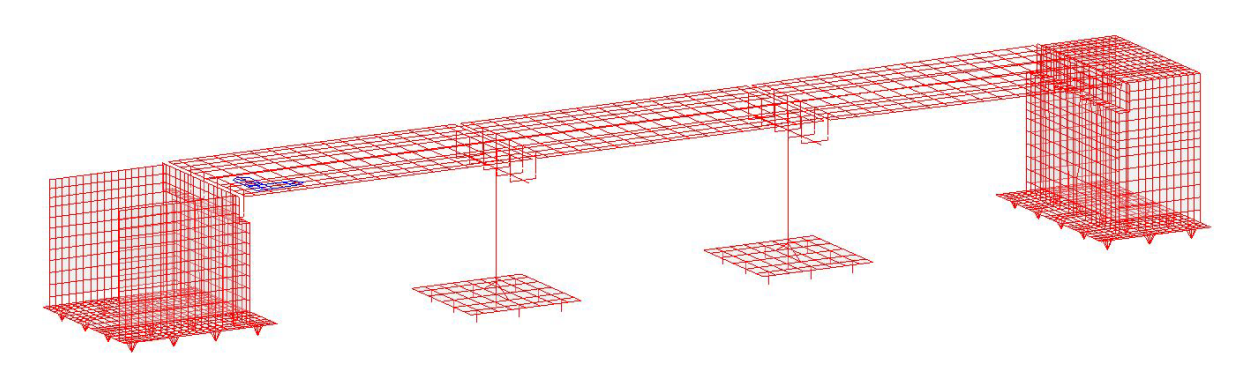


Figura 17 – Vista assonometrica wireframe

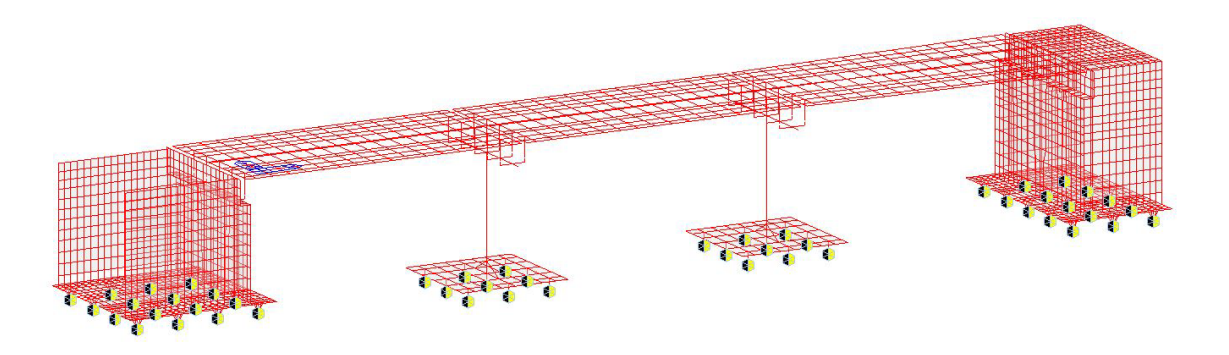


Figura 18 – Vista wireframe con vincoli



RADDOPPIO DELLA TRATTA FERROVIARIA TERMOLI-LESINA LOTTO 2 e 3 – RADDOPPIO TERMOLI - RIPALTA

•	COMMESSA	LOTTO	FASE	ENTE	TIPO DOC	OPE	RA 7 DISCIP	LINA	PROGR	REV	FOGLIO
IV05- Relazione di calcolo pile	LI0B	02	Е	ZZ	CL	IV	05	05	001	Α	29

9.5.2 Vincoli esterni

Al fine di tener conto della effettiva ripartizione delle azioni in fondazione, sia per le spalle che per le pile, i pali sono stati modellati attraverso l'inserimento di vincoli elastici in corrispondenza di ciascun palo. Le rigidezze assegnate ai vincoli sono le seguenti:

- Kz (verticale) = 1000000kN/m corrisponde sostanzialmente alla rigidezza assiale del palo;
- Kx=Ky (laterale) = 135000kN/m valutata secondo le indicazioni riportate al capitolo 15 della relazione generale geotecnica.

9.5.3 Vincoli interni

I dispositivi di appoggio sono stati modellati sulla base delle caratteristiche meccaniche di rigidezza e dei gradi di liberà da bloccare.

I dispositivi multi-direzionali offrono una rigidezza laterale sostanzialmente nulla (a meno dell'attrito, trattato in precedenza) della superficie di scorrimento. La rigidezza assiale assegnata ai dispositivi è pari a Kx=10000000kN/m in quanto si tratta di appoggi pressoché indeformabili assialmente.

Per dispositivi fissi e uni direzionali sono stati sono stati "bloccate" le traslazioni nelle direzioni dei gdl impediti assegnando una elevata rigidezza alla direzione considerata.

La rigidezza assiale assegnata ai dispositivi è pari a Kx=10000000kN/m mentre la rigidezza laterale è stata considerata pari a Ky=Kz=1000000kN/m per tenere in considerazione una (minima) deformabilità del dispositivo.

9.6 CARICHI E MASSE

9.6.1 Applicazione dei carichi strutturali

Il peso proprio degli elementi strutturali (impalcato, pulvini, pile, plinti ecc.) è stato valutato in automatico dal software di calcolo in funzione delle dimensioni delle sezioni trasversali e delle caratteristiche del materiale assegnato.

9.6.2 Applicazione dei carichi fissi non strutturali e azioni variabili

I carichi fissi non strutturali (manto, barriere, drenaggi, ecc.) sono stati assegnati come un carico uniforme agli elementi frame mediante i quali sono state modellate le strutture di impalcato. Il valore del carico distribuito è quello definito nell'analisi dei carichi.



RADDOPPIO DELLA TRATTA FERROVIARIA TERMOLI-LESINA LOTTO 2 e 3 – RADDOPPIO TERMOLI - RIPALTA

	COMMESSA	LOTTO	FASE	ENTE	TIPO DOC	OPE	RA 7 DISCIP	LINA	PROGR	REV	FOGLIO
IV05- Relazione di calcolo pile	LI0B	02	Е	ZZ	CL	IV	05	05	001	Α	30

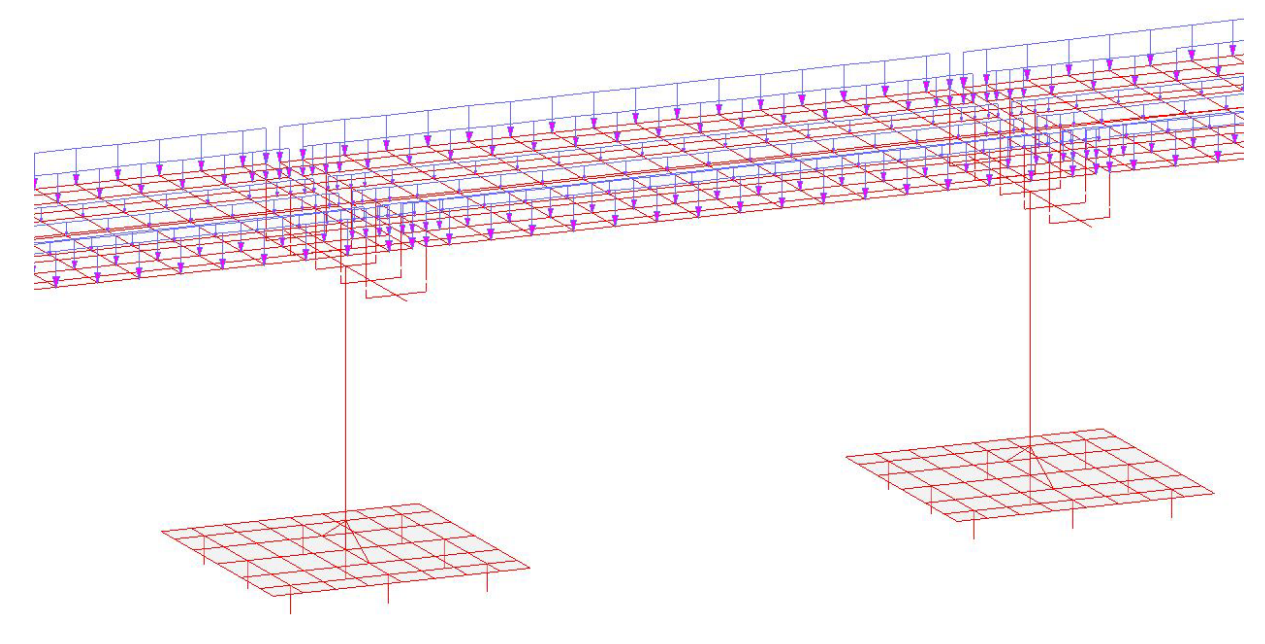


Figura 19 – Carichi G2

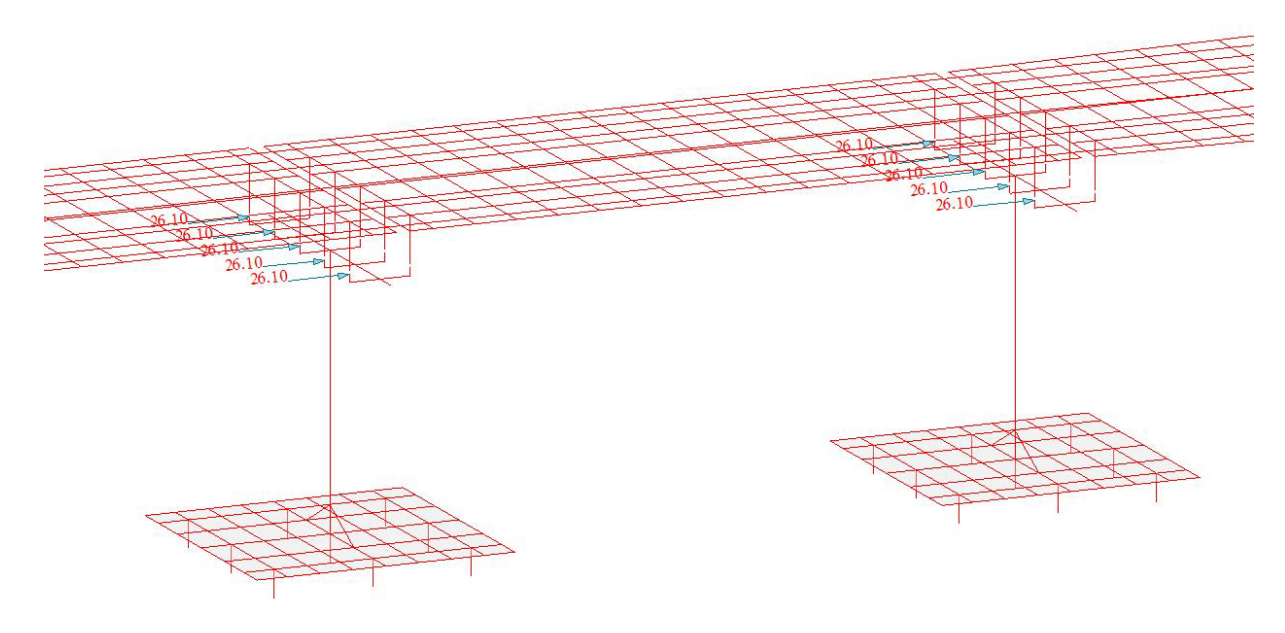


Figura 20 – Carichi attrito vincolo





HYPO RADDOPPIO DELLA TRATTA FERROVIARIA TERMOLI-LESINA LOTTO 2 e 3 - RADDOPPIO TERMOLI - RIPALTA

	COMMESSA	LOTTO	FASE	ENTE	TIPO DOC	OPE	RA 7 DISCIP	LINA	PROGR	REV	FOGLIO
IV05- Relazione di calcolo pile	LI0B	02	Е	ZZ	CL	IV	05	05	001	Α	31

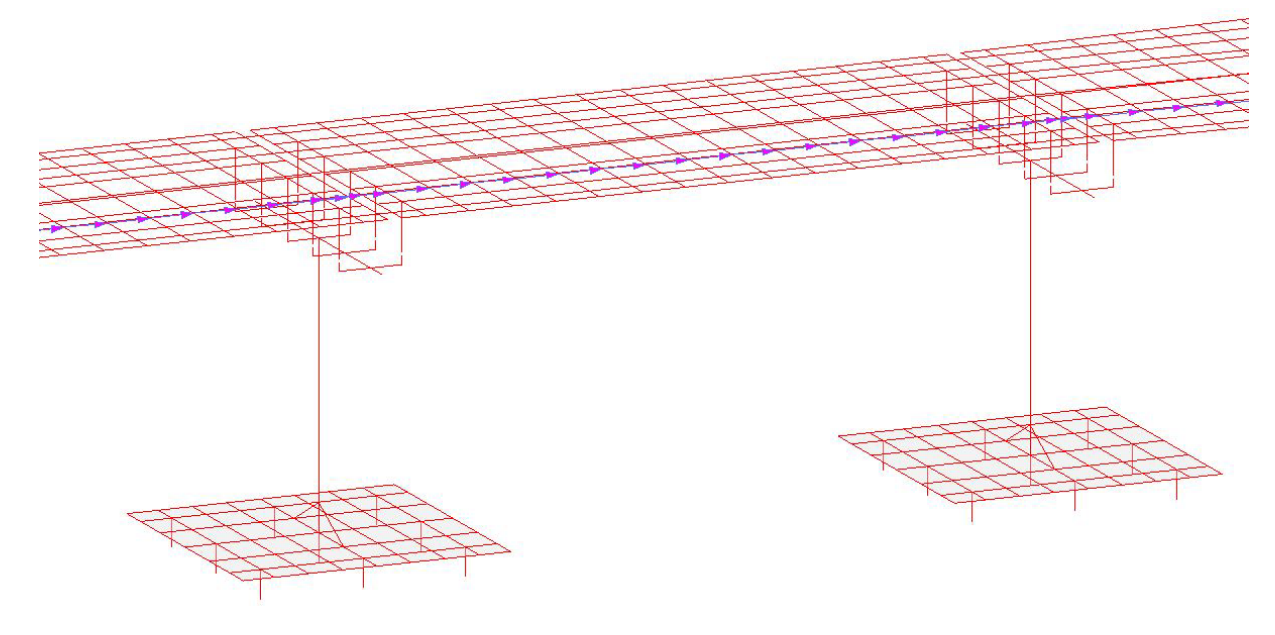


Figura 21 – Azione frenamento

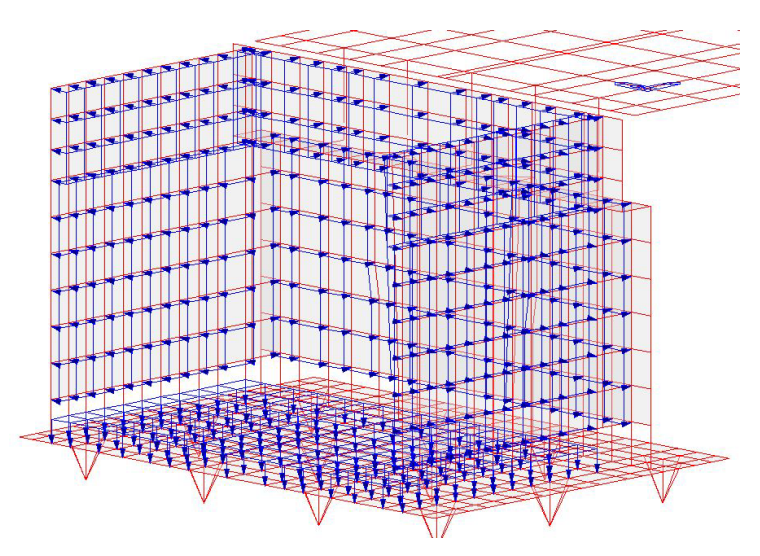


Figura 22 – Carichi mobili spalla (e relative spinte)





HYPO RADDOPPIO DELLA TRATTA FERROVIARIA TERMOLI-LESINA LOTTO 2 e 3 - RADDOPPIO TERMOLI - RIPALTA

					TIPO DOC					REV	FOGLIO
V05- Relazione di calcolo pile	LI0B	02	Е	ZZ	CL	IV	05	05	001	Α	32

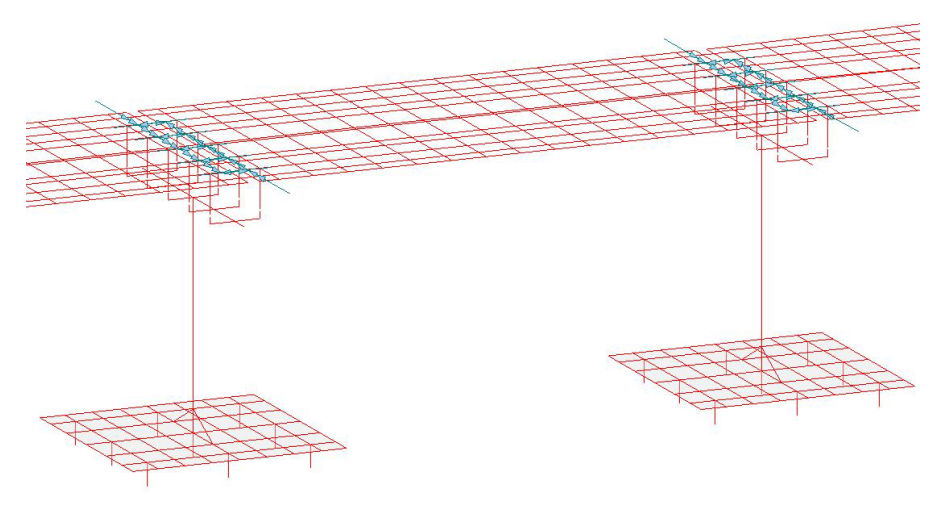


Figura 23 – Carichi ritiro

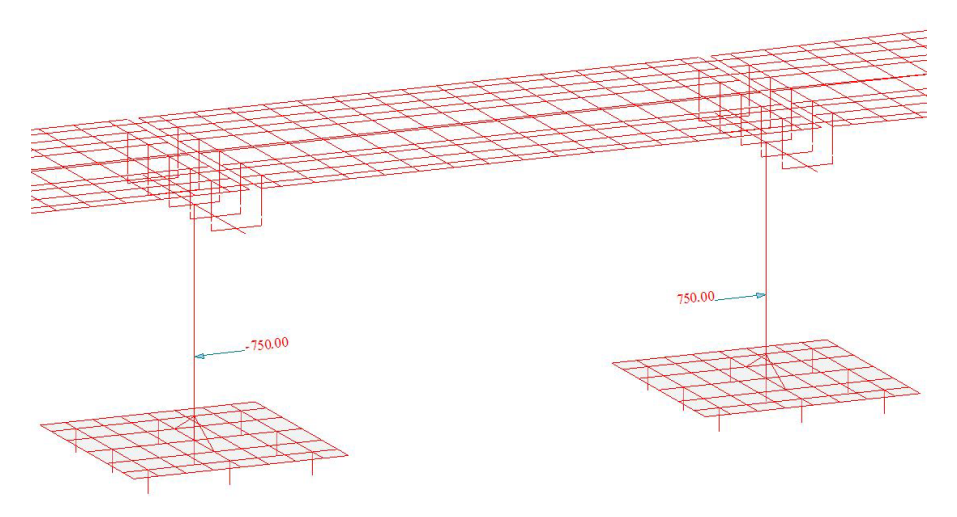


Figura 24 – Carichi urto ferroviario X

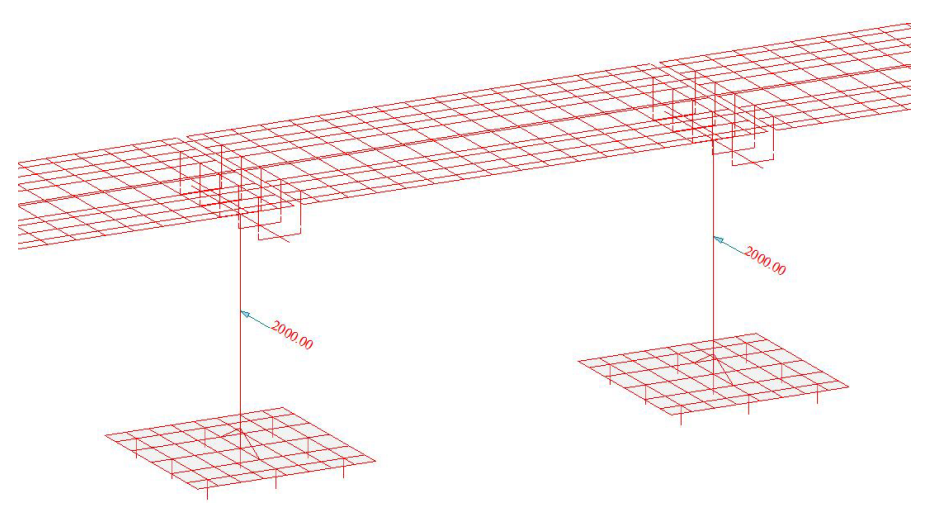


Figura 25 – Carichi urto ferroviario y



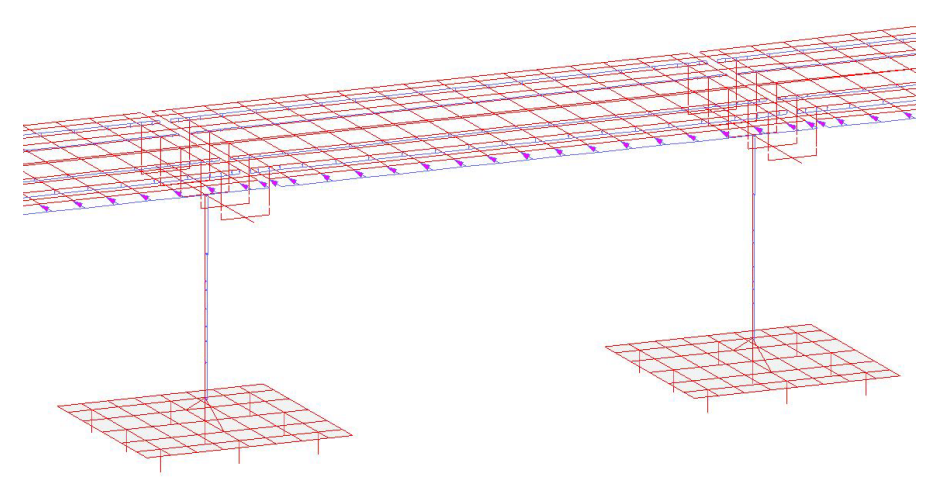


Figura 26 – Carichi vento x (inclusi effetti torcenti)

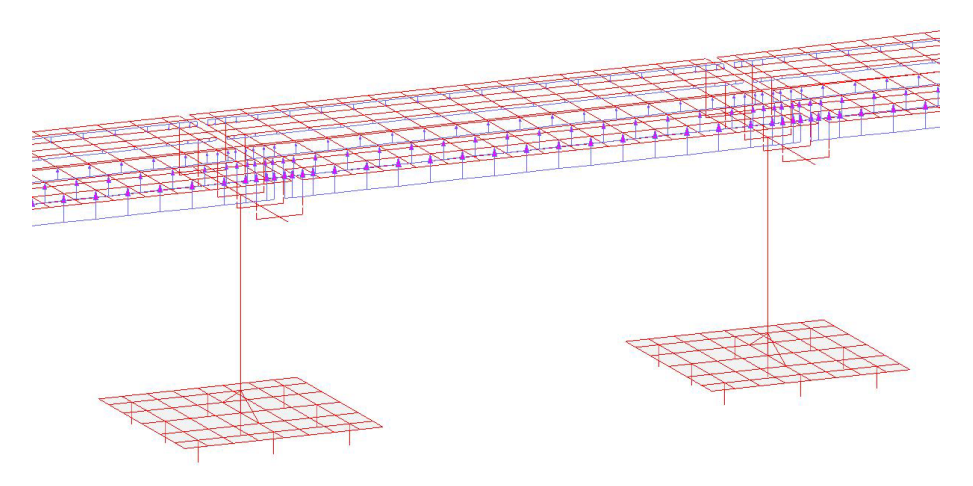


Figura 27 – Carichi vento z (inclusi effetti torcenti)

9.6.3 Masse sismiche e carichi applicati

La massa degli elementi strutturali (impalcato, pulvini, pile, plinti ecc) e quella relativa ai carichi fissi non strutturali (massetto, manto, barriere, ecc) è stata valutata in automatico dal software di calcolo in funzione dei carichi da peso proprio e dei carichi (G2) applicati.

L'azione sismica sulle spalle oltre che dalle forze di inerzia legate all'accelerazione delle masse strutturali e del terreno di riempimento viene applicata anche sotto forma di sovra-spinte sismiche calcolate mediante il metodo di Mononobe-Okabe. Vengono differenziate (ai fini delle combinazioni di carico) le sovra-spinte sismiche in direzione longitudinale (x, positive e negative) ed in direzione trasversale (y, positive e negative).



RADDOPPIO DELLA TRATTA FERROVIARIA TERMOLI-LESINA LOTTO 2 e 3 – RADDOPPIO TERMOLI - RIPALTA

	COMMESSA	LOTTO	FASE	ENTE	TIPO DOC	OPERA 7 DISCIPLINA			PROGR	REV	FOGLIO
IV05- Relazione di calcolo pile	LI0B	02	Е	ZZ	CL	IV	05	05	001	Α	34

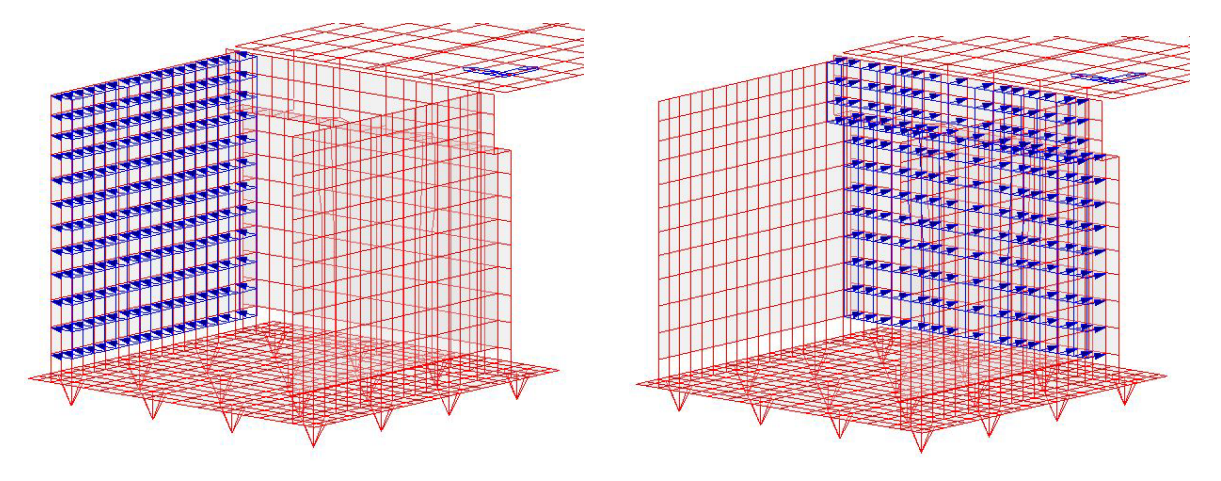


Figura 28 – Carichi slvy e slvx spalla



RADDOPPIO DELLA TRATTA FERROVIARIA TERMOLI-LESINA LOTTO 2 e 3 – RADDOPPIO TERMOLI - RIPALTA

•	COMMESSA	LOTTO	FASE	ENTE	TIPO DOC	OPERA 7 DISCIPLINA			PROGR	REV	FOGLIO
IV05- Relazione di calcolo pile	LI0B	02	Е	ZZ	CL	IV	05	05	001	Α	35

10. RISULTATI DELLE ANALISI

Nei paragrafi successivi sono riportati i principali risultati dell'analisi strutturale dell'opera espressi in termini di: modi di vibrare, deformate modali, distribuzioni delle sollecitazioni e deformate in condizioni non sismiche e sismiche.

10.1 ANALISI DINAMICA MODALE

Si riportano nelle figure le forme associate ai principali modi di vibrare ed i relativi periodi naturali di oscillazione. In tabella si riportano, per ciascuno dei modi individuati attraverso l'analisi modale, il periodo, la frequenza e le relative masse partecipanti.

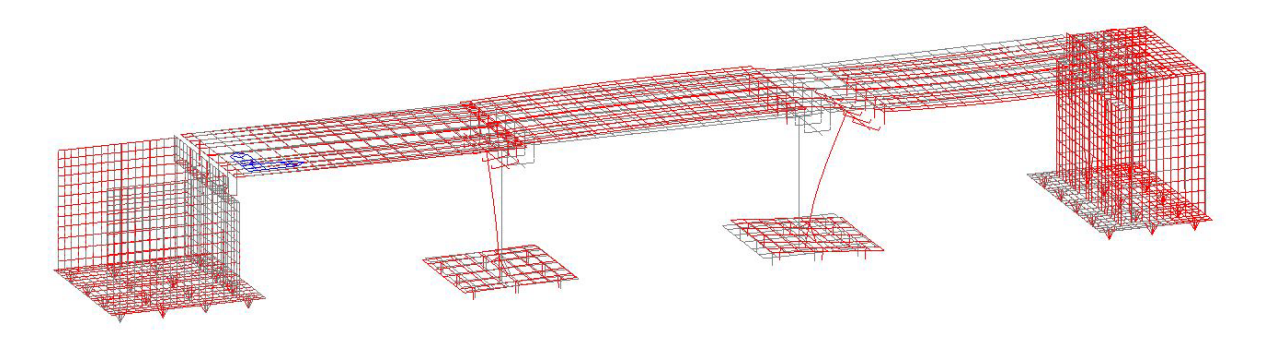


Figura 29 – Modo di vibrare 1 T=0.485s

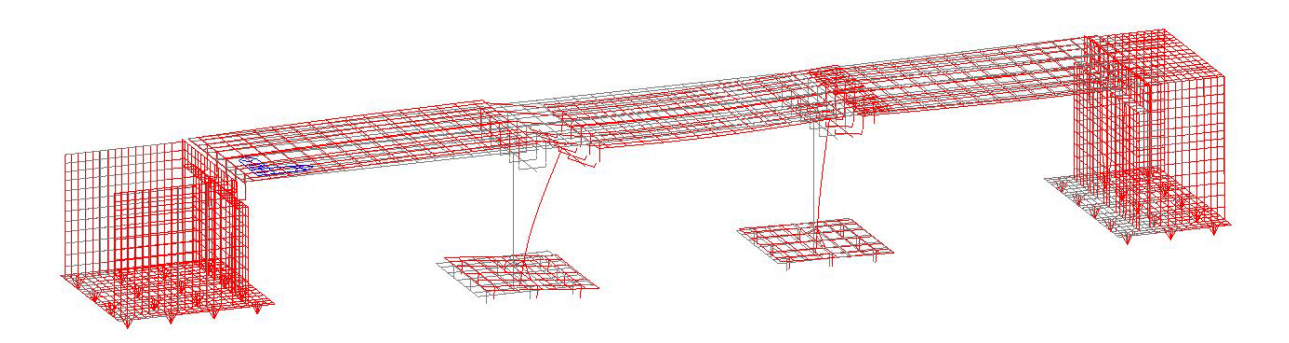


Figura 30 - Modo di vibrare 2 T=0.477s

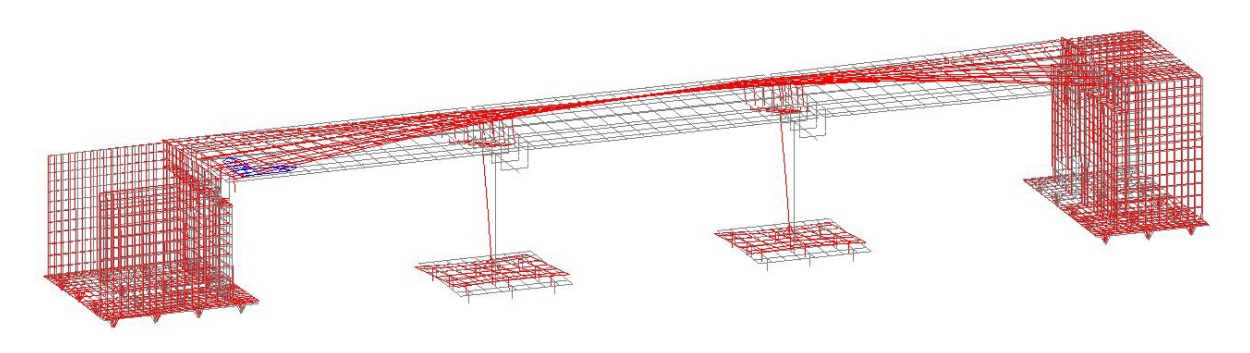


Figura 31 - Modo di vibrare 3 T=0.385s





HYPro RADDOPPIO DELLA TRATTA FERROVIARIA TERMOLI-LESINA LOTTO 2 e 3 - RADDOPPIO TERMOLI - RIPALTA

IV05- Relazione di calcolo pile

COMMESSA	LOTTO	FASE	ENTE	TIPO DOC	OPE	RA 7 DISCIP	LINA	PROGR	REV	FOGLIO
LI0B	02	Ε	ZZ	CL	IV	05	05	001	Α	36

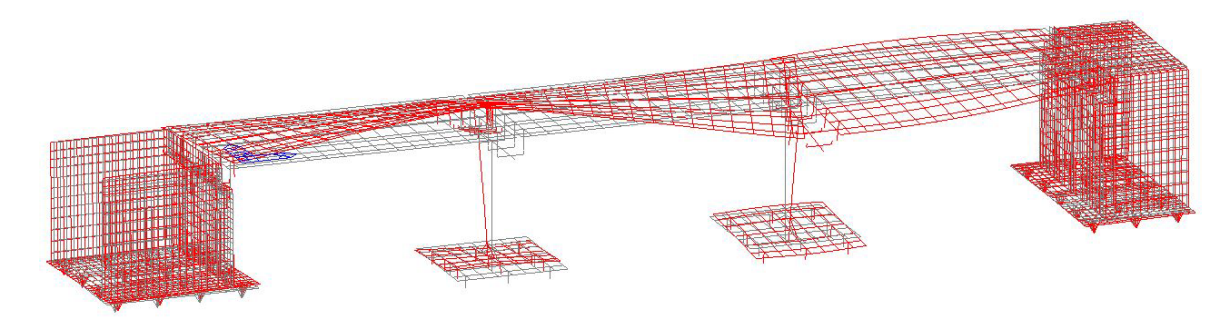


Figura 32 – Modo di vibrare 4 T=0.323s

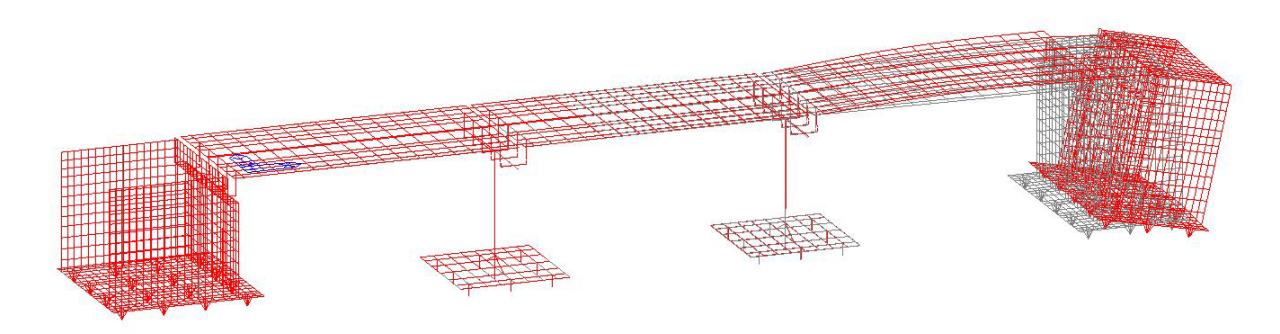


Figura 33 – Modo di vibrare 5 T=0.279s

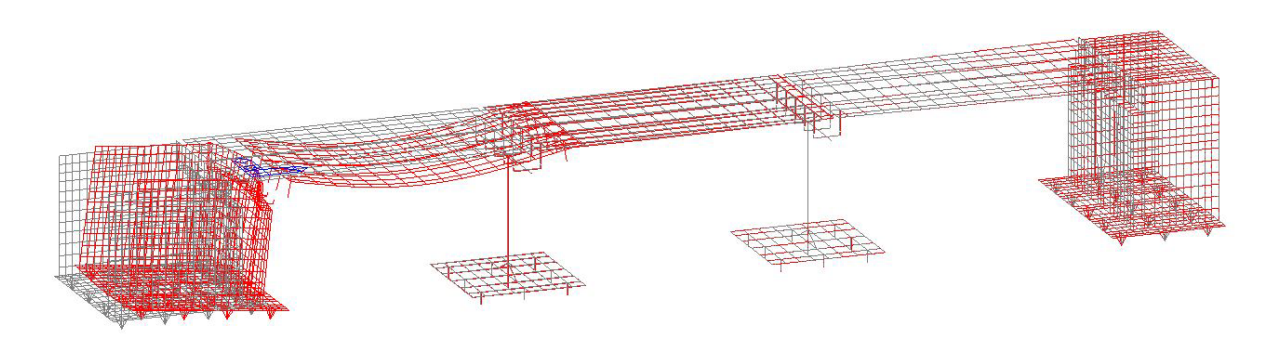


Figura 34 – Modo di vibrare 6 T=0.276s

In tabella sono riportati i modi di vibrare con i periodi di oscillazione e le relative masse partecipanti:

Mode No	TRA	N-X	TRA	N-Y	TRA	N-Z	ROT	N-X	ROT	N-Y	ROT	N-Z
wiode No	MASS(%)	SUM(%)										
1	5.65	5.65	0.00	0.00	0.00	0.00	0.00	0.00	0.18	0.18	0.00	0.00
2	21.33	26.98	0.00	0.00	0.01	0.02	0.00	0.00	0.50	0.68	0.00	0.00
3	0.00	26.98	38.40	38.40	0.00	0.02	17.48	17.48	0.00	0.68	0.01	0.01
4	0.00	26.98	0.01	38.40	0.00	0.02	0.00	17.48	0.00	0.68	19.14	19.15
5	25.01	51.99	0.03	38.44	0.13	0.15	0.00	17.48	0.04	0.72	0.05	19.20
6	27.94	79.93	0.00	38.44	0.51	0.66	0.00	17.48	0.07	0.79	0.00	19.20
7	0.05	79.98	25.28	63.72	0.00	0.66	1.13	18.60	0.00	0.79	28.45	47.65
8	0.00	79.98	16.80	80.52	0.00	0.66	0.32	18.92	0.00	0.79	35.03	82.69
9	0.02	80.00	0.85	81.37	0.00	0.66	0.14	19.06	0.00	0.79	0.27	82.96





	COMMESSA	LOTTO	FASE	ENTE	TIPO DOC	OPE	RA 7 DISCIP	LINA	PROGR	REV	FOGLIO
IV05- Relazione di calcolo pile	LI0B	02	Ш	ZZ	CL	IV	05	05	001	Α	37

40				04.07	24.07	22.52	0.00	40.00	0.46	4.05	0.00	00.00
10	0.34	80.34	0.00	81.37	21.87	22.53	0.00	19.06	0.46	1.25	0.00	82.96
11	1.09	81.42	0.00	81.37	0.65	23.18	0.00	19.06	8.42	9.67	0.00	82.96
12	0.47	81.89	0.00	81.37	0.81	23.99	0.00	19.06	0.36	10.03	0.00	82.96
13	0.00	81.89	0.83	82.20	0.00	23.99	0.02	19.08	0.00	10.03	3.11	86.07
14	0.00	81.89	6.28	88.48	0.00	23.99	16.66	35.73	0.00	10.03	0.60	86.66
15	0.45	82.33	0.00	88.48	0.05	24.04	0.00	35.73	0.13	10.16	0.00	86.66
16	0.00	82.33	1.87	90.35	0.00	24.04	3.01	38.74	0.00	10.16	1.82	88.49
17	0.00	82.33	0.56	90.91	0.00	24.04	3.02	41.77	0.00	10.16	1.03	89.51
18	12.85	95.18	0.00	90.91	0.36	24.40	0.00	41.77	0.95	11.11	0.00	89.51
19	0.50	95.69	0.00	90.91	0.03	24.43	0.00	41.77	0.19	11.30	0.00	89.51
20	0.13	95.81	0.00	90.91	0.12	24.54	0.00	41.77	0.27	11.57	0.00	89.51
21	0.00	95.81	0.03	90.94	0.00	24.54	0.17	41.94	0.00	11.57	0.14	89.65
22	0.00	95.81	1.10	92.05	0.00	24.54	2.42	44.36	0.00	11.57	2.03	91.68
23	2.87	98.68	0.00	92.05	1.58	26.13	0.01	44.36	4.50	16.07	0.00	91.68
24	0.00	98.68	0.29	92.34	0.00	26.13	0.16	44.53	0.00	16.07	1.37	93.05
25	0.00	98.68	0.19	92.53	0.00	26.13	0.32	44.85	0.00	16.07	0.00	93.06
26	0.00	98.68	3.71	96.24	0.01	26.14	23.41	68.27	0.01	16.08	3.98	97.03
27	0.00	98.68	0.37	96.61	0.00	26.14	0.01	68.28	0.00	16.08	0.21	97.24
28	0.00	98.68	3.06	99.67	0.00	26.14	11.15	79.43	0.00	16.08	2.41	99.64
29	0.78	99.46	0.00	99.67	10.76	36.90	0.00	79.43	13.56	29.64	0.00	99.65
30	0.00	99.46	0.16	99.82	0.00	36.90	1.77	81.20	0.00	29.64	0.00	99.65
31	0.00	99.46	0.00	99.83	0.00	36.90	1.12	82.32	0.00	29.64	0.22	99.87
32	0.19	99.65	0.00	99.83	6.55	43.45	0.00	82.32	9.87	39.50	0.00	99.87
33	0.08	99.73	0.00	99.83	0.04	43.49	0.00	82.32	0.60	40.10	0.00	99.87
34	0.00	99.73	0.00	99.83	0.01	43.50	3.35	85.67	0.02	40.13	0.03	99.89
35	0.01	99.74	0.00	99.83	0.64	44.14	0.05	85.72	4.41	44.54	0.00	99.89
36	0.00	99.74	0.00	99.83	8.36	52.50	0.00	85.72	2.92	47.45	0.00	99.89
37	0.00	99.74	0.02	99.85	0.34	52.84	3.21	88.93	0.19	47.64	0.02	99.91
38	0.07	99.81	0.00	99.85	25.29	78.13	0.08	89.01	17.72	65.36	0.02	99.91
39	0.00	99.81	0.06	99.83	0.08	78.22	3.35	92.36	0.09	65.46	0.00	99.91
40	0.08	99.90		+		95.91	0.00	+	ļ	+		99.91
41	0.00	99.90	0.00	99.91 99.92	17.69 0.00	95.91	4.33	92.36 96.69	26.71 0.01	92.17 92.17	0.00	99.91
		+		+		96.89		+	<u> </u>	+		99.91
42	0.00	99.90	0.00	99.92	0.99		0.01	96.70	4.52	96.70	0.00	
43	0.01	99.90	0.00	99.92	0.09	96.98	0.00	96.70	0.17	96.87	0.00	99.91
44	0.00	99.91	0.00	99.92	0.67	97.65	0.00	96.70	1.21	98.08	0.00	99.91
45	0.00	99.91	0.03	99.95	0.00	97.65	2.13	98.83	0.00	98.08	0.05	99.96
46	0.02	99.93	0.00	99.95	0.11	97.76	0.02	98.85	0.00	98.08	0.00	99.96
47	0.00	99.93	0.00	99.95	0.00	97.76	0.06	98.90	0.00	98.08	0.00	99.96
48	0.01	99.94	0.00	99.95	0.06	97.83	0.01	98.91	0.00	98.09	0.00	99.96
49	0.02	99.95	0.00	99.95	0.46	98.28	0.00	98.91	0.18	98.27	0.00	99.96
50	0.00	99.95	0.00	99.95	0.00	98.28	0.00	98.91	0.00	98.27	0.00	99.96
51	0.00	99.96	0.00	99.95	0.01	98.29	0.00	98.91	0.06	98.33	0.00	99.96
52	0.02	99.97	0.00	99.95	0.09	98.38	0.00	98.91	0.44	98.77	0.00	99.96
53	0.00	99.97	0.00	99.95	0.00	98.39	0.00	98.91	0.00	98.77	0.00	99.96
54	0.00	99.97	0.00	99.95	0.00	98.39	0.00	98.91	0.04	98.81	0.00	99.96
55	0.00	99.97	0.00	99.96	0.00	98.39	0.08	99.00	0.00	98.81	0.00	99.96
56	0.00	99.97	0.00	99.96	0.02	98.40	0.00	99.00	0.04	98.84	0.00	99.96
57	0.00	99.97	0.01	99.96	0.00	98.40	0.02	99.01	0.00	98.84	0.01	99.98
58	0.00	99.97	0.00	99.97	0.00	98.41	0.05	99.06	0.00	98.84	0.00	99.98
59	0.00	99.97	0.00	99.97	0.01	98.42	0.00	99.06	0.00	98.85	0.00	99.98
60	0.00	99.98	0.00	99.97	0.04	98.46	0.01	99.07	0.01	98.86	0.00	99.98
61	0.00	99.98	0.00	99.97	0.00	98.46	0.00	99.07	0.00	98.86	0.00	99.98
62	0.00	99.98	0.00	99.97	0.00	98.46	0.07	99.14	0.00	98.86	0.00	99.98
63	0.00	99.98	0.01	99.98	0.00	98.46	0.09	99.22	0.00	98.86	0.00	99.98
64	0.00	99.98	0.00	99.98	0.00	98.46	0.02	99.24	0.00	98.86	0.00	99.98
65	0.00	99.98	0.00	99.98	0.00	98.47	0.00	99.24	0.04	98.90	0.00	99.98
<u>-</u> <u>1</u>					· · · · · · · · · · · · · · · · · · ·		· · · · · · · · · · · · · · · · · · ·			4		4





	COMMESSA	LOTTO	FASE	ENTE	TIPO DOC	OPE	RA 7 DISCIP	PLINA	PROGR	REV	FOGLIO	ĺ
IV05- Relazione di calcolo pile	LI0B	02	Е	ZZ	CL	IV	05	05	001	Α	38	

	·			*		·		·		·	,	·
66	0.00	99.98	0.00	99.98	0.01	98.47	0.00	99.24	0.06	98.96	0.00	99.98
67	0.00	99.98	0.00	99.98	0.35	98.82	0.00	99.24	0.03	98.99	0.00	99.98
68	0.00	99.98	0.00	99.98	0.00	98.82	0.01	99.26	0.00	98.99	0.00	99.98
69	0.00	99.98	0.00	99.98	0.07	98.90	0.00	99.26	0.21	99.20	0.00	99.98
70	0.00	99.98	0.00	99.98	0.00	98.90	0.02	99.28	0.00	99.20	0.00	99.98
71	0.00	99.98	0.00	99.98	0.01	98.90	0.00	99.28	0.00	99.20	0.00	99.98
72	0.00	99.98	0.00	99.98	0.00	98.91	0.00	99.28	0.01	99.21	0.00	99.98
73	0.00	99.98	0.00	99.98	0.03	98.94	0.00	99.28	0.01	99.22	0.00	99.98
74	0.00	99.98	0.00	99.98	0.00	98.94	0.00	99.28	0.00	99.22	0.00	99.98
75	0.00	99.98	0.00	99.98	0.00	98.94	0.00	99.28	0.00	99.22	0.00	99.98
76	0.00	99.98	0.00	99.98	0.00	98.94	0.00	99.29	0.00	99.22	0.00	99.98
77	0.00	99.98	0.00	99.98	0.00	98.94	0.04	99.33	0.00	99.22	0.00	99.98
78	0.00	99.98	0.00	99.98	0.00	98.94	0.01	99.34	0.00	99.22	0.00	99.98
79	0.00	99.98	0.00	99.98	0.00	98.94	0.00	99.35	0.00	99.22	0.00	99.98
80	0.01	99.98	0.00	99.98	0.01	98.96	0.00	99.35	0.03	99.26	0.00	99.98
81	0.00	99.99	0.00	99.98	0.01	98.97	0.00	99.35	0.00	99.26	0.00	99.98
82	0.00	99.99	0.00	99.98	0.01	98.98	0.00	99.35	0.00	99.26	0.00	99.98
83	0.00	99.99	0.01	99.99	0.00	98.98	0.00	99.35	0.00	99.26	0.01	99.99
84	0.00	99.99	0.00	99.99	0.00	98.98	0.00	99.35	0.00	99.26	0.00	99.99
85	0.00	99.99	0.00	99.99	0.00	98.98	0.00	99.35	0.01	99.26	0.00	99.99
86	0.00	99.99	0.00	99.99	0.01	99.00	0.00	99.35	0.01	99.28	0.00	99.99
87	0.00	99.99	0.00	99.99	0.00	99.00	0.02	99.37	0.00	99.28	0.00	99.99
88	0.00	100.00	0.00	99.99	0.00	99.00	0.00	99.37	0.04	99.32	0.00	99.99
89	0.00	100.00	0.00	99.99	0.00	99.00	0.00	99.38	0.00	99.32	0.00	100.00
90	0.00	100.00	0.00	99.99	0.00	99.00	0.00	99.38	0.02	99.34	0.00	100.00
91	0.00	100.00	0.00	99.99	0.00	99.00	0.05	99.43	0.00	99.34	0.00	100.00
92	0.00	100.00	0.00	99.99	0.01	99.00	0.00	99.43	0.00	99.35	0.00	100.00
93	0.00	100.00	0.00	99.99	0.00	99.00	0.02	99.45	0.00	99.35	0.00	100.00
94	0.00	100.00	0.00	99.99	0.00	99.00	0.00	99.45	0.00	99.35	0.00	100.00
95	0.00	100.00	0.00	99.99	0.00	99.00	0.00	99.45	0.00	99.35	0.00	100.00
96	0.00	100.00	0.00	99.99	0.00	99.01	0.00	99.45	0.00	99.35	0.00	100.00
97	0.00	100.00	0.00	99.99	0.00	99.01	0.01	99.46	0.00	99.35	0.00	100.00
98	0.00	100.00	0.00	99.99	0.00	99.01	0.11	99.58	0.00	99.35	0.00	100.00
99	0.00	100.00	0.00	99.99	0.00	99.01	0.02	99.59	0.00	99.35	0.00	100.00
100	0.00	100.00	0.00	99.99	0.00	99.01	0.04	99.63	0.00	99.35	0.00	100.00
•	*			*	·						*	

10.2 Principali diagrammi delle sollecitazioni

Nelle figure seguenti si riportano i diagrammi delle sollecitazioni per le principali azioni caratteristiche e combinazioni di carico.

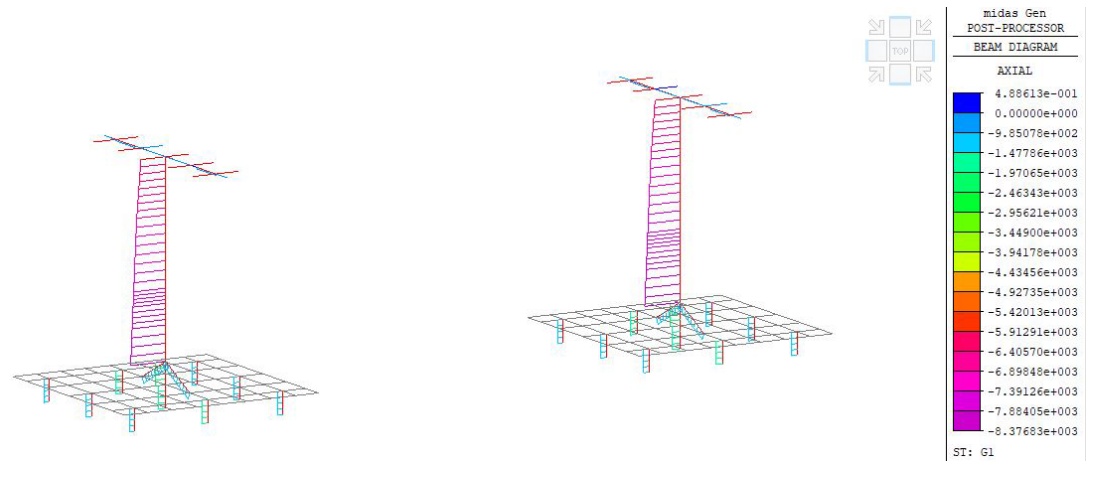


Figura 35 - Sforzo normale G1

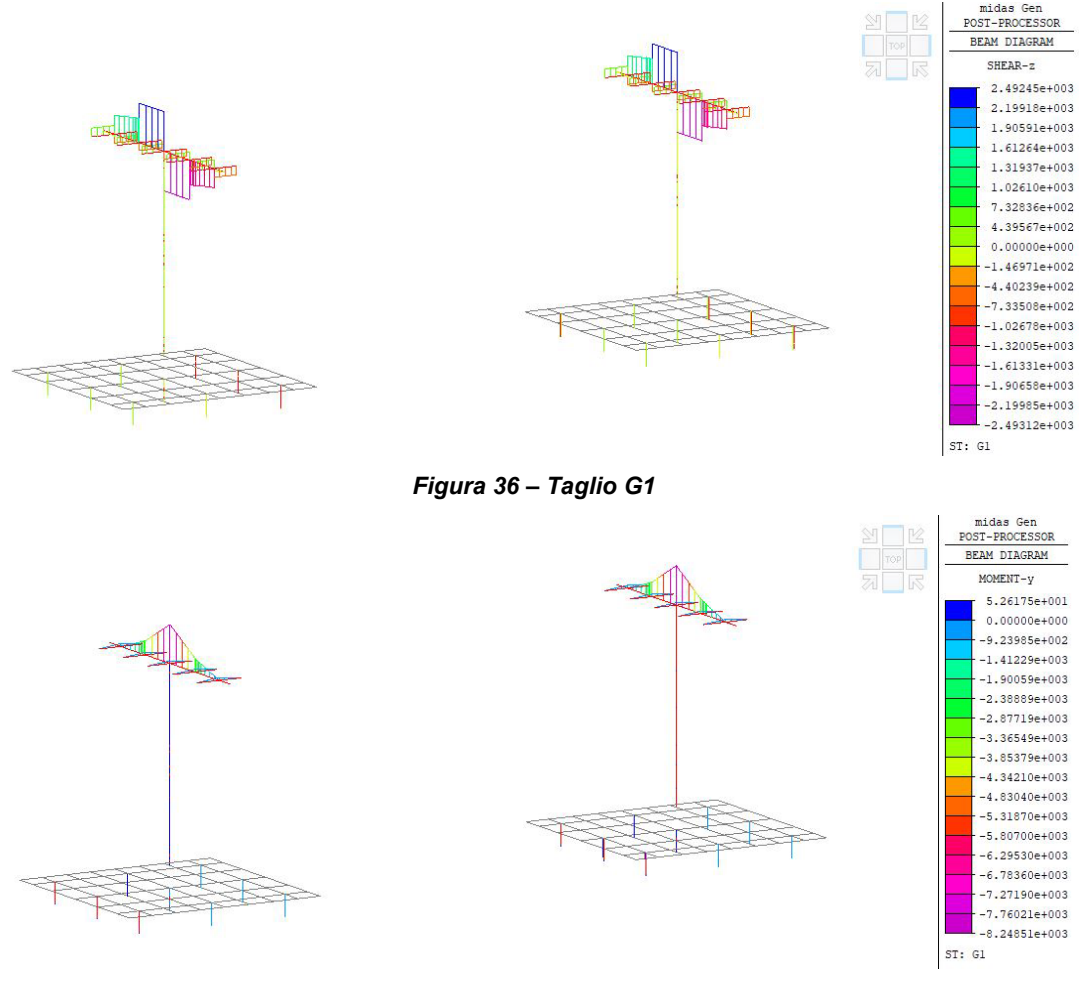


Figura 37 - Momento flettente G1



•	COMMESSA	LOTTO	FASE	ENTE	TIPO DOC	OPE	RA 7 DISCIP	LINA	PROGR	REV	FOGLIO
IV05- Relazione di calcolo pile	LI0B	02	Е	ZZ	CL	IV	05	05	001	Α	40

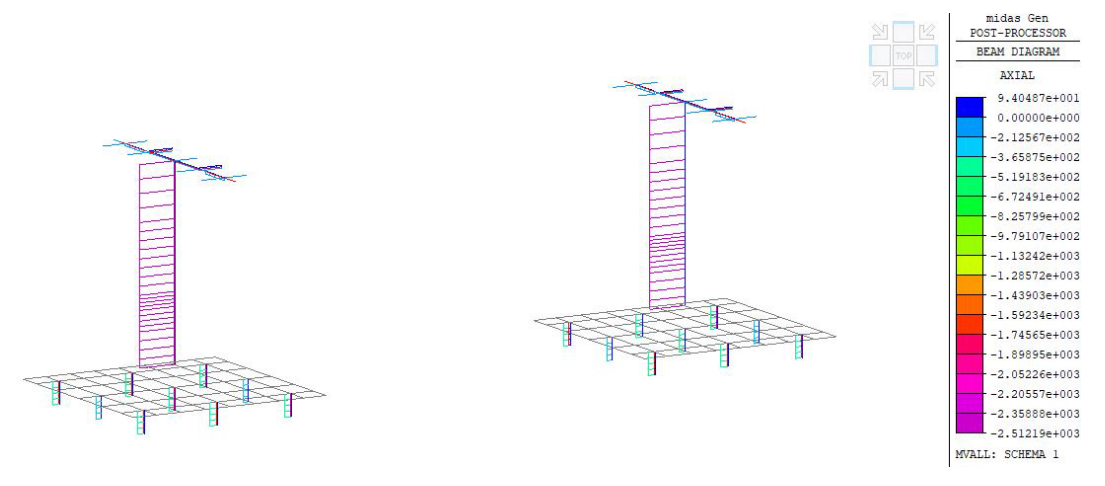


Figura 38 – Sforzo normale carichi mobili

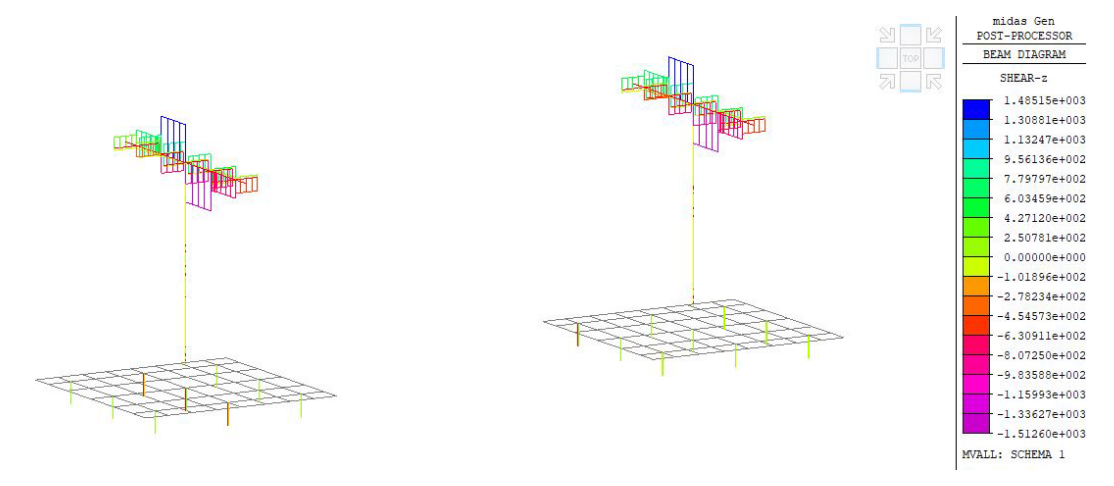


Figura 39 – Taglio carichi mobili

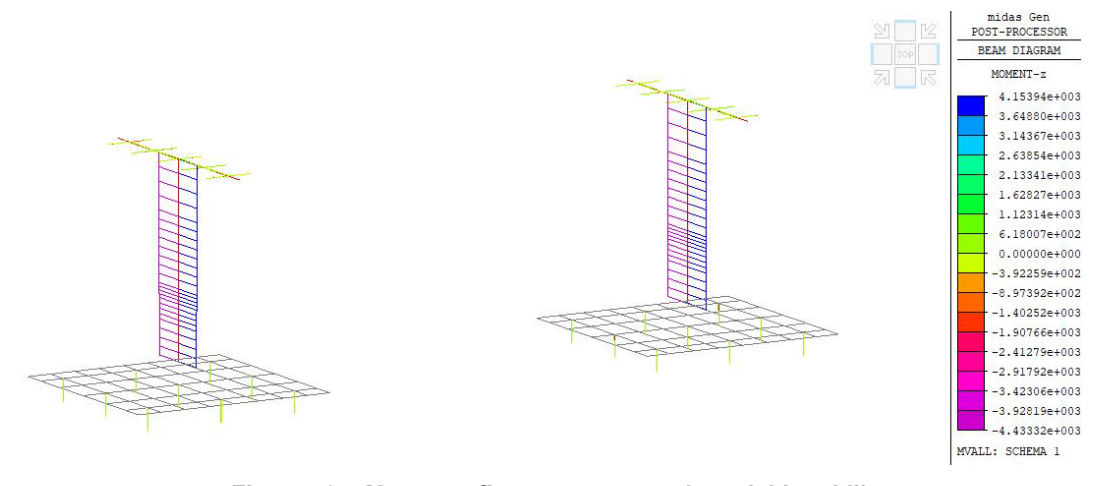


Figura 40 – Momento flettente trasversale carichi mobili



RADDOPPIO DELLA TRATTA FERROVIARIA TERMOLI-LESINA LOTTO 2 e 3 – RADDOPPIO TERMOLI - RIPALTA

COMMESSA LOTTO FASE ENTE TIPO DOC OPERA 7 DISCIPLINA PROGR REV FOGLIO IV05- Relazione di calcolo pile LI0B 02 Ε CL 05 05 001 41

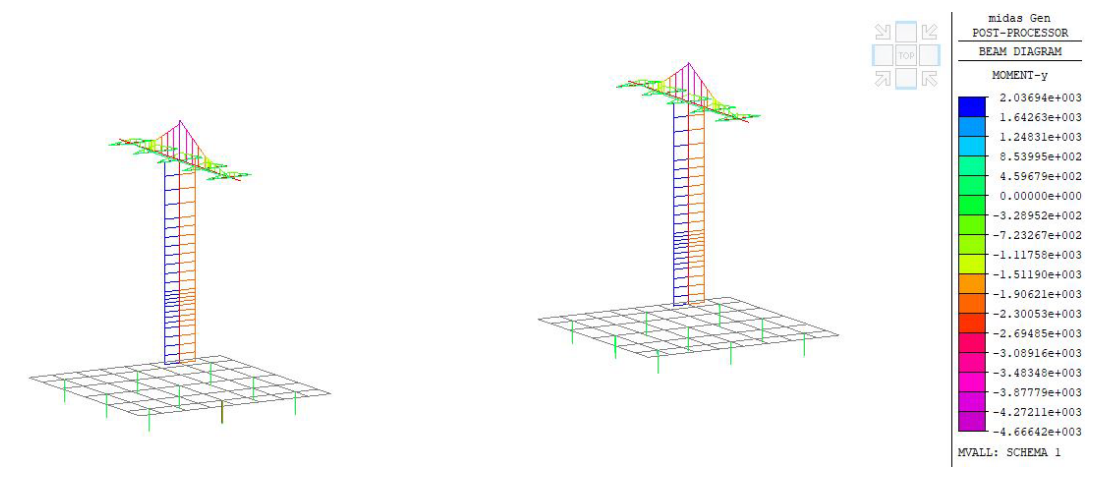


Figura 41 – Momento flettente longitudinale carichi mobili

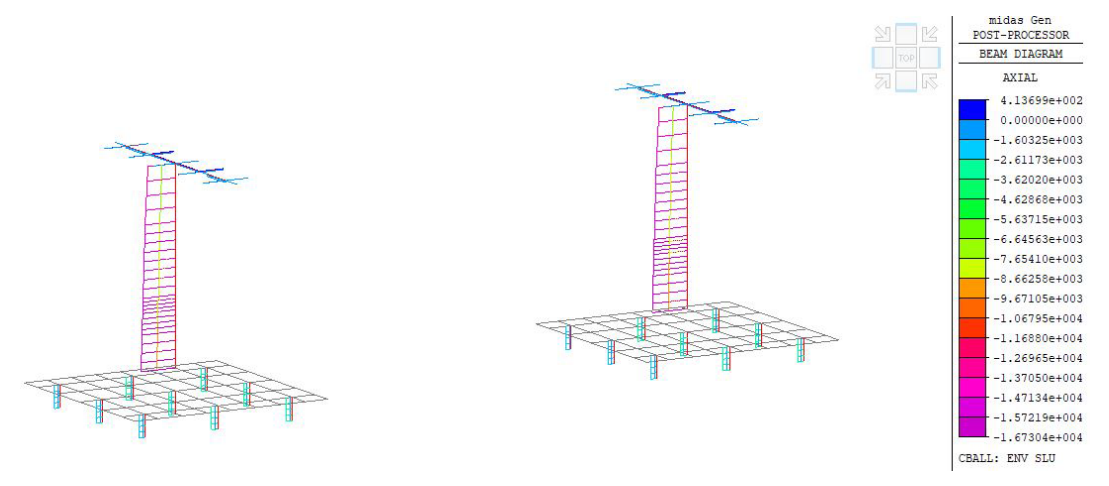


Figura 42 - Sforzo normale ENV SLU

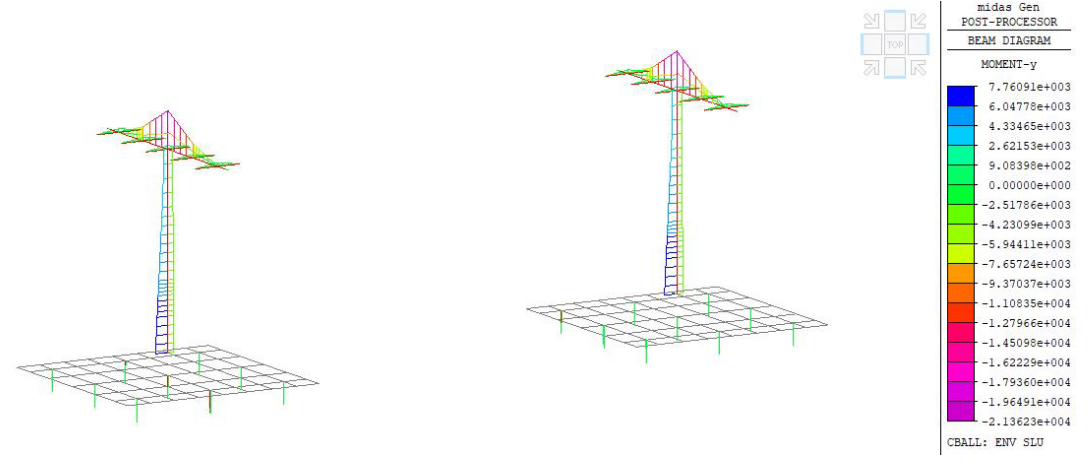


Figura 43 – Momento flettente longitudinale ENV SLU



RADDOPPIO DELLA TRATTA FERROVIARIA TERMOLI-LESINA LOTTO 2 e 3 – RADDOPPIO TERMOLI - RIPALTA

LOTTO COMMESSA FASE ENTE TIPO DOC OPERA 7 DISCIPLINA PROGR FOGLIO IV05- Relazione di calcolo pile LI0B 02 Ε CL 05 05 001 42

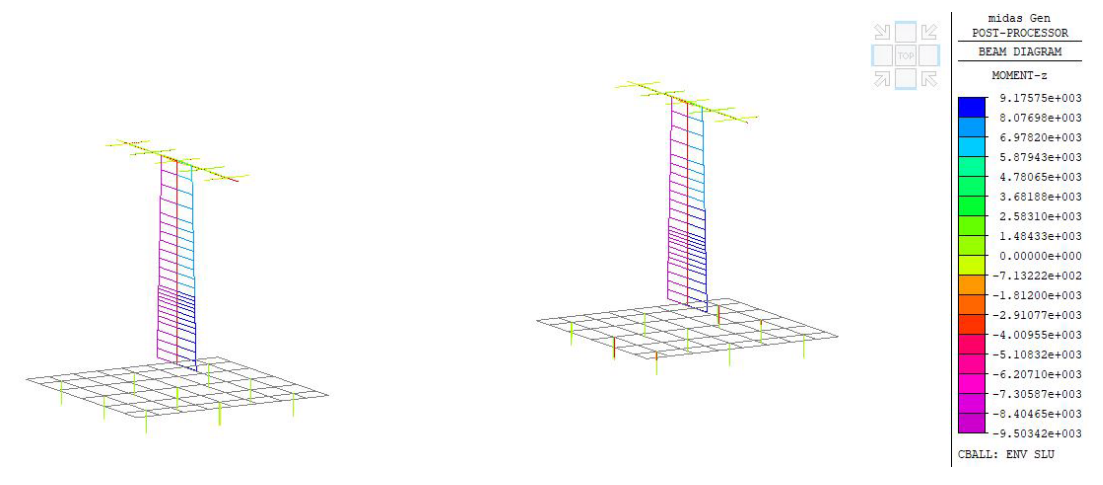


Figura 44 – Momento flettente trasversale ENV SLU

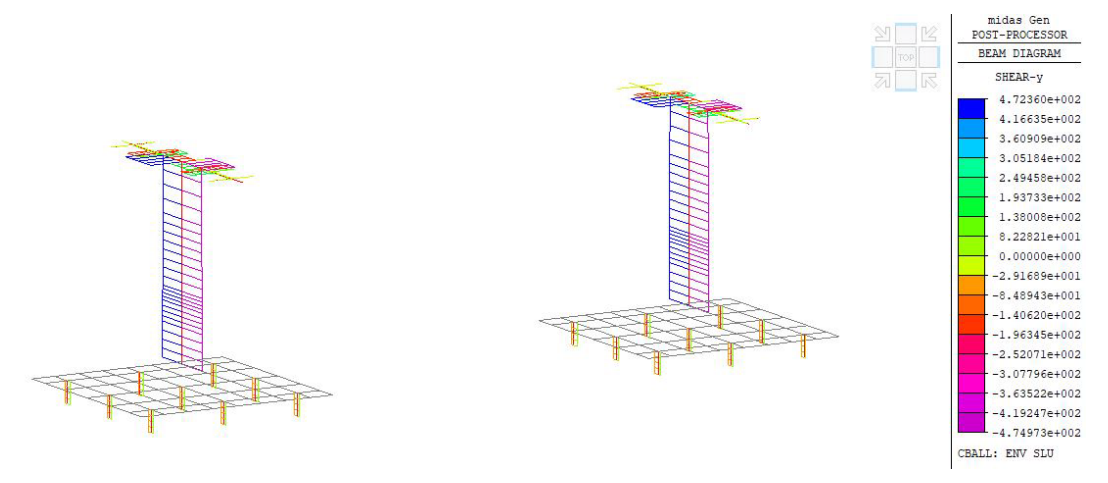


Figura 45 - Taglio trasversale ENV SLU

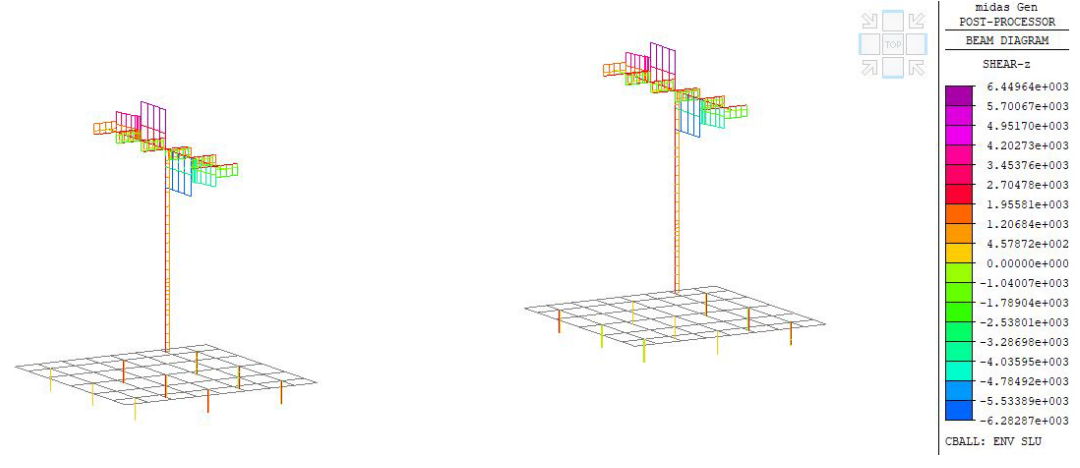


Figura 46 - Taglio longitudinale ENV SLU





Pro RADDOPPIO DELLA TRATTA FERROVIARIA TERMOLI-LESINA LOTTO 2 e 3 - RADDOPPIO TERMOLI - RIPALTA

IV05- Relazione di calcolo pile

COMMESSA	LOTTO	FASE	ENTE	TIPO DOC	OPE	RA 7 DISCIP	LINA	PROGR	REV	FOGLIO
LI0B	02	Е	ZZ	CL	IV	05	05	001	Α	43

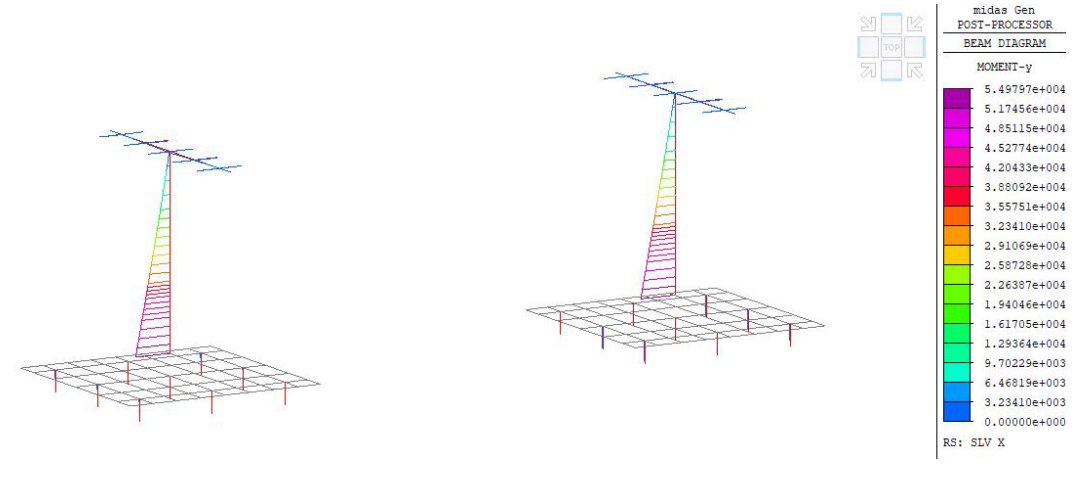


Figura 47 – Momento flettente sisma slv x

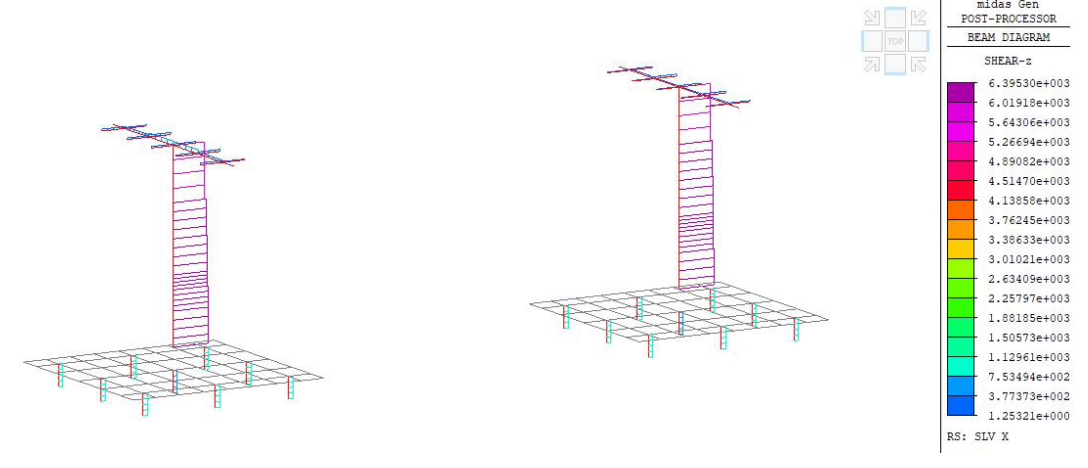


Figura 48 – Taglio sisma slv x

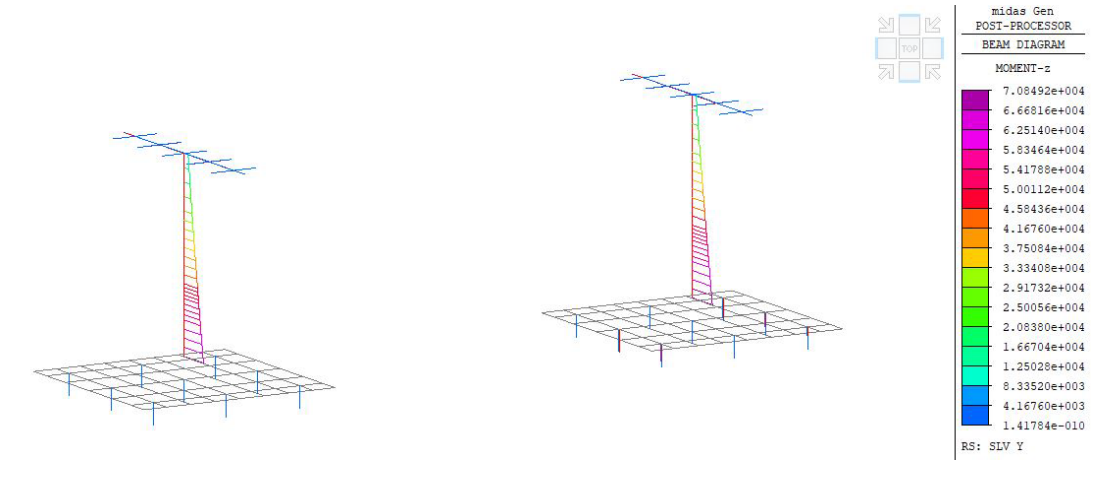


Figura 49 – Momento flettente sisma slv y



RADDOPPIO DELLA TRATTA FERROVIARIA TERMOLI-LESINA LOTTO 2 e 3 – RADDOPPIO TERMOLI - RIPALTA

COMMESSA LOTTO FASE ENTE TIPO DOC OPERA 7 DISCIPLINA PROGR REV FOGLIO IV05- Relazione di calcolo pile LI0B 02 Ε CL 05 05 001 44

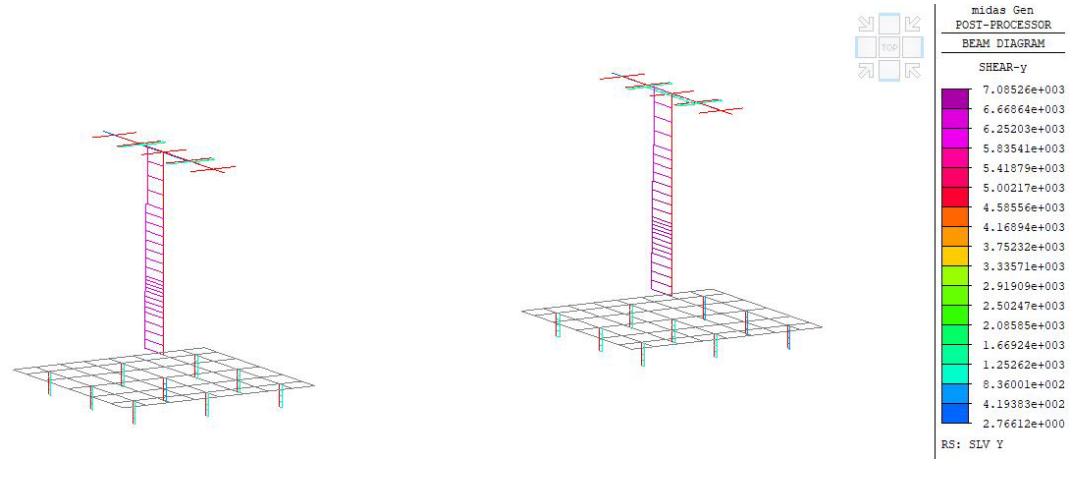


Figura 50 – Taglio sisma slv y

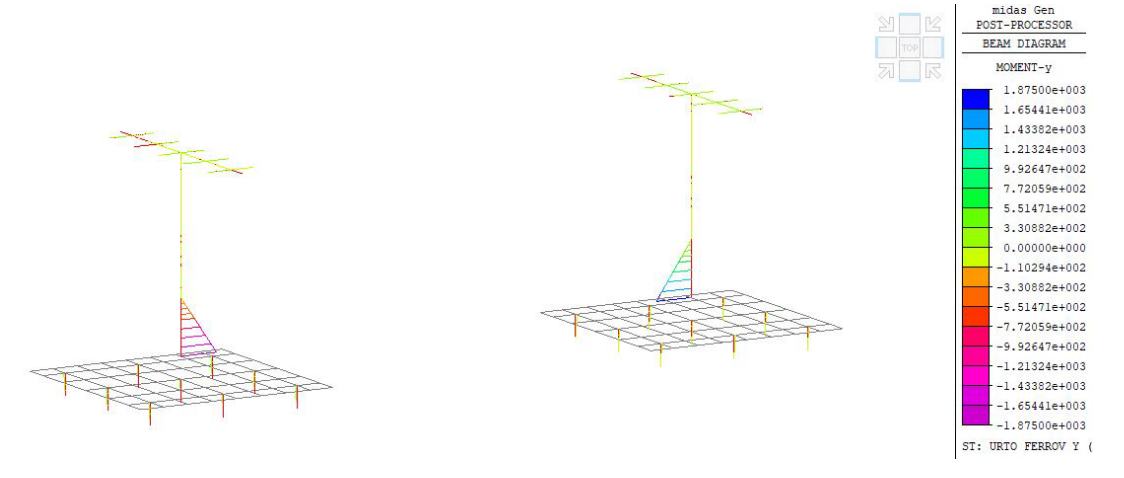


Figura 51 – Momento flettente Urto ferroviario

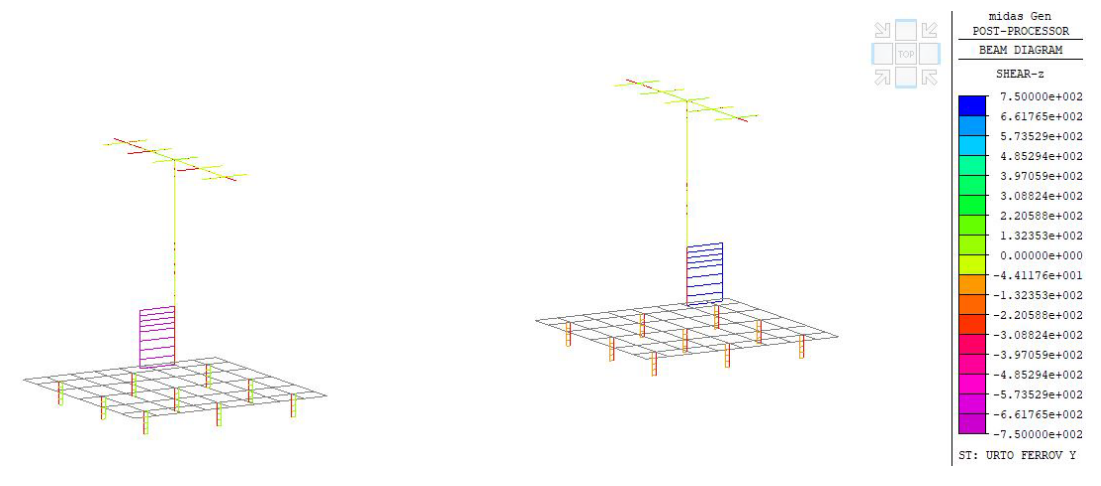


Figura 52 – Taglio Urto ferroviario





HYPro RADDOPPIO DELLA TRATTA FERROVIARIA TERMOLI-LESINA LOTTO 2 e 3 - RADDOPPIO TERMOLI - RIPALTA

IV05- Relazione di calcolo pile

COMMESSA	LOTTO	FASE	ENTE	TIPO DOC	OPE	RA 7 DISCIP	LINA	PROGR	REV	FOGLIO
LI0B	02	Ε	ZZ	CL	IV	05	05	001	Α	45

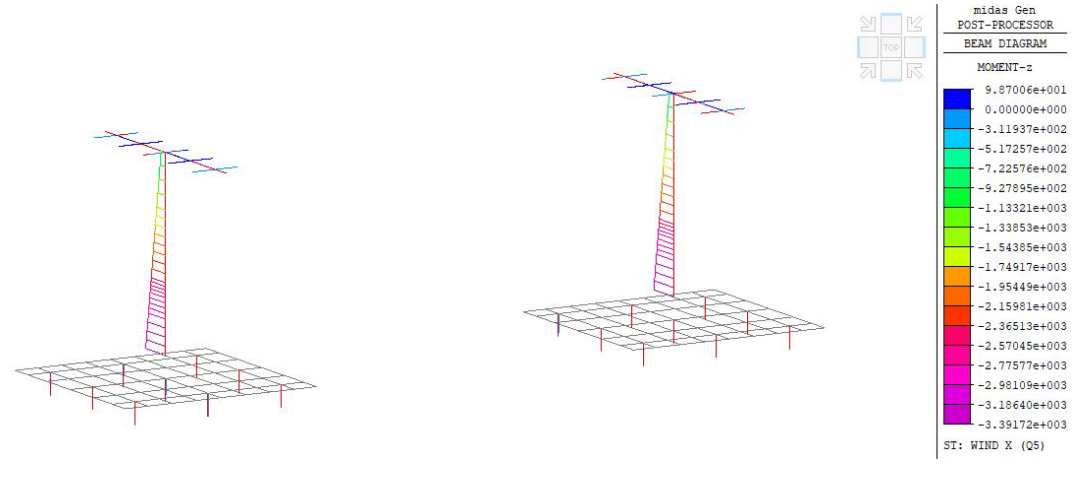


Figura 53 – Momento flettente vento

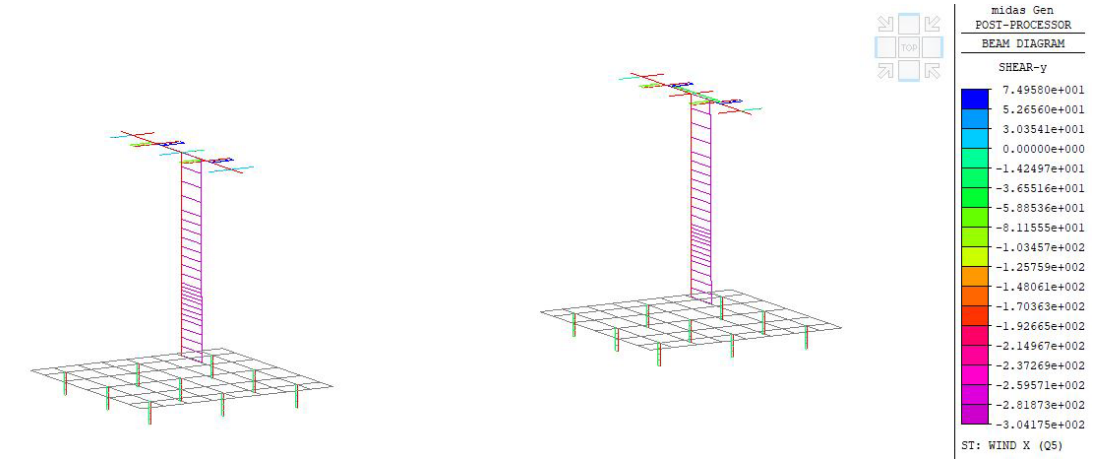


Figura 54 – Taglio vento

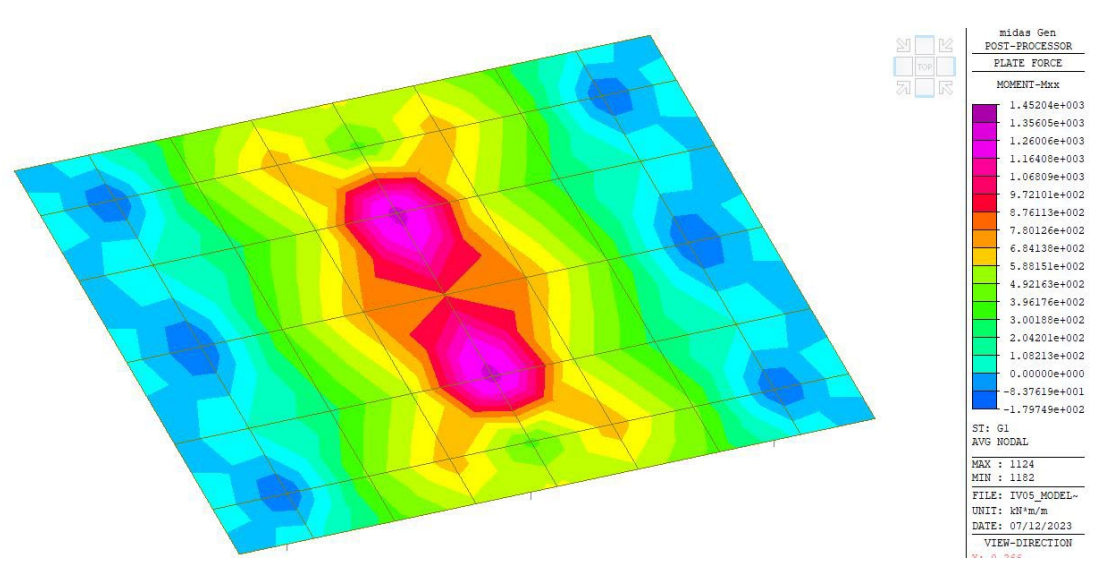


Figura 55 – Plinto fondazione momento longitudinale Mxx G1



•					TIPO DOC		RA 7 DISCIP		PROGR	REV	FOGLIO
IV05- Relazione di calcolo pile	LI0B	02	Е	ZZ	CL	IV	05	05	001	Α	46

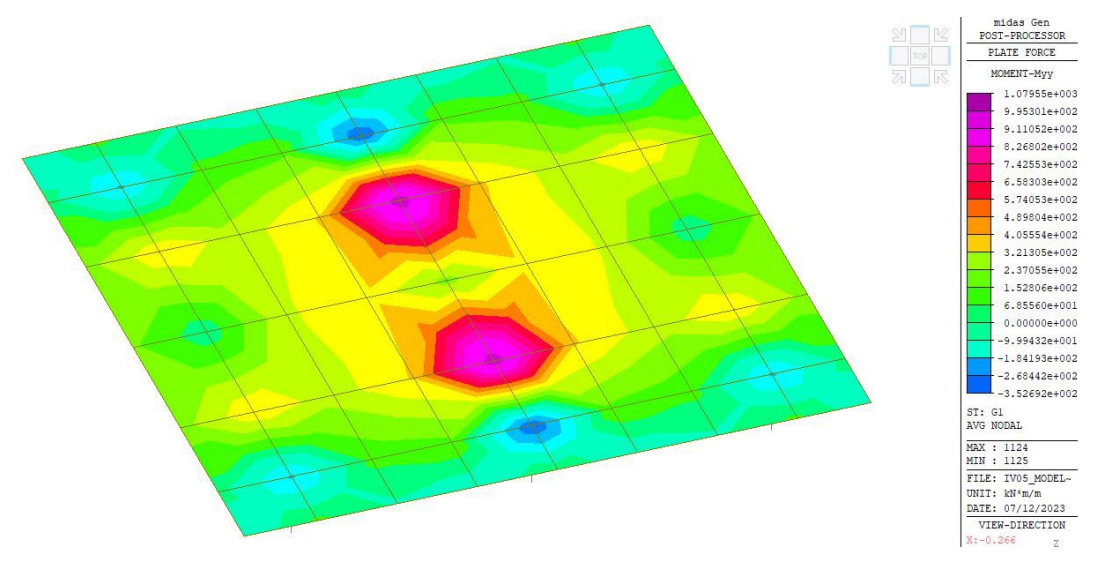


Figura 56 - Plinto fondazione momento trasversale Myy G1

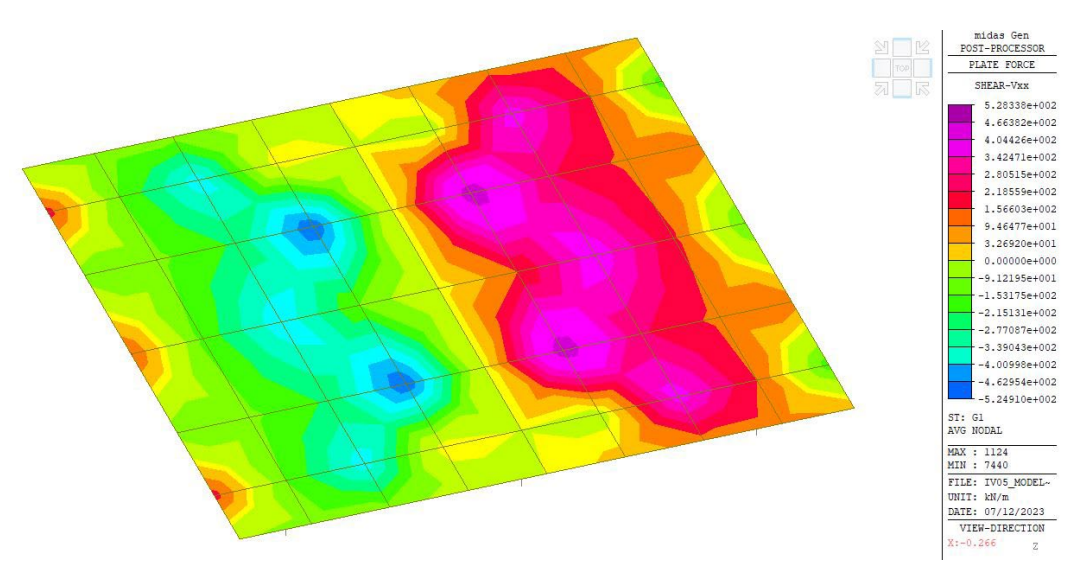


Figura 57 – Plinto fondazione taglio trasversale Vxx G1



•					TIPO DOC		RA 7 DISCIP		PROGR	REV	FOGLIO
IV05- Relazione di calcolo pile	LI0B	02	Е	ZZ	CL	IV	05	05	001	Α	47

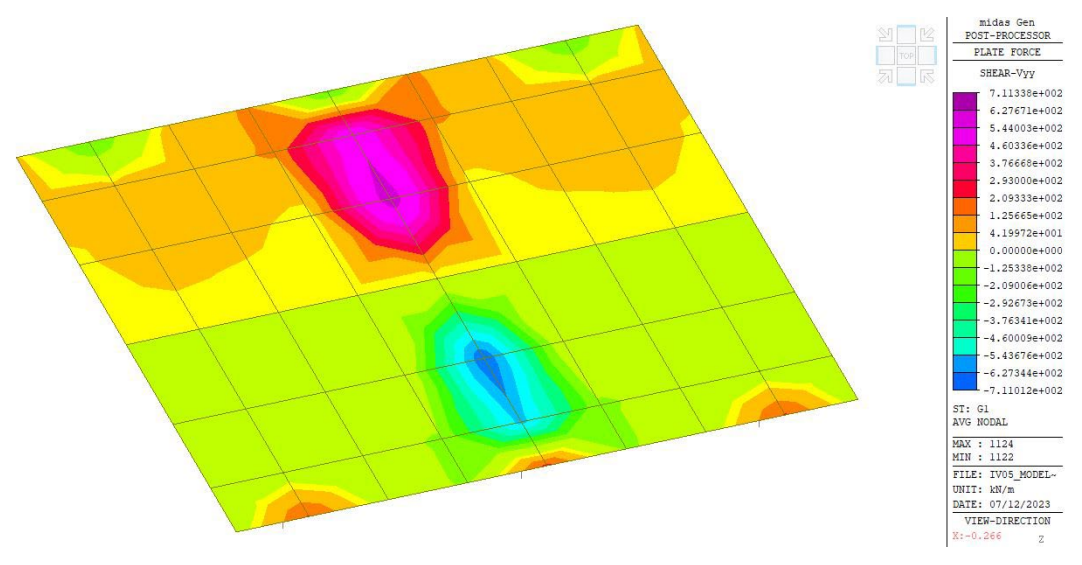


Figura 58 – Plinto fondazione taglio trasversale Vyy G1

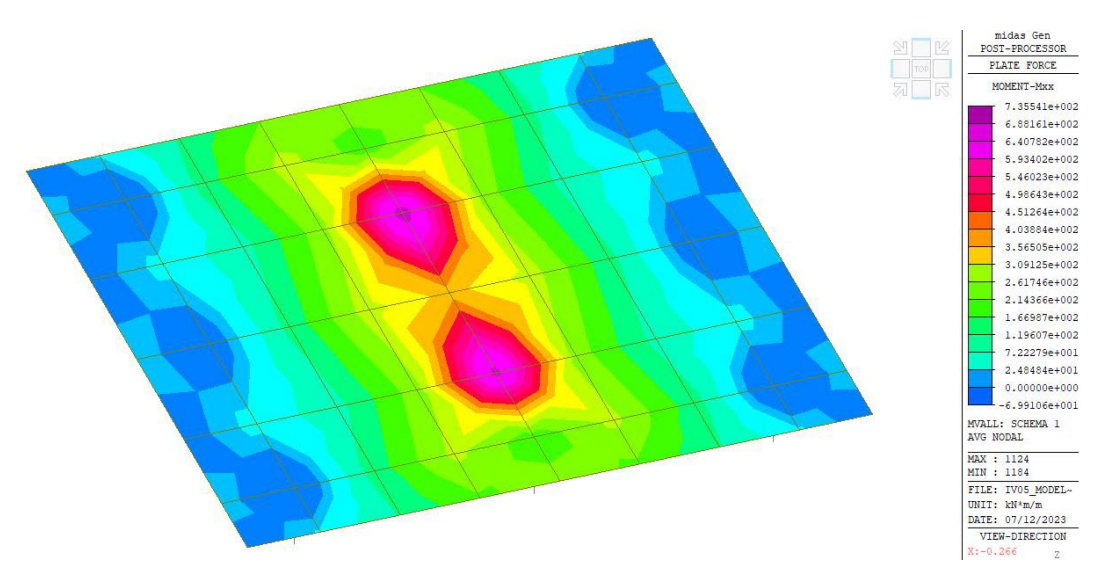


Figura 59 – Plinto fondazione momento longitudinale Mxx mobili



•	COMMESSA	LOTTO	FASE	ENTE	TIPO DOC	OPE	RA 7 DISCIP	LINA	PROGR	REV	FOGLIO
IV05- Relazione di calcolo pile	LI0B	02	Е	ZZ	CL	IV	05	05	001	Α	48

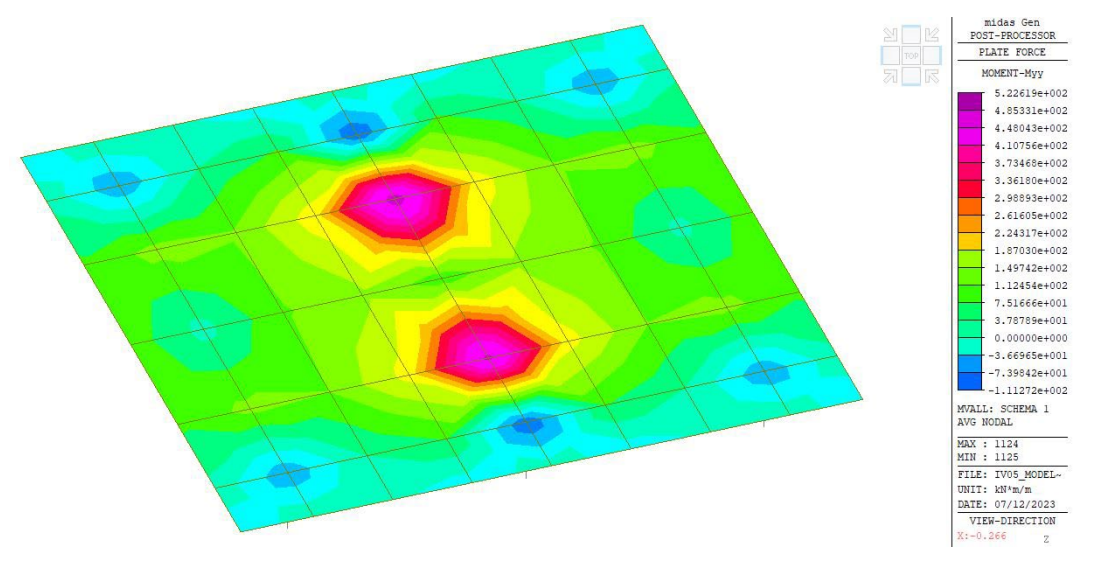


Figura 60 - Plinto fondazione momento trasversale Myy mobili

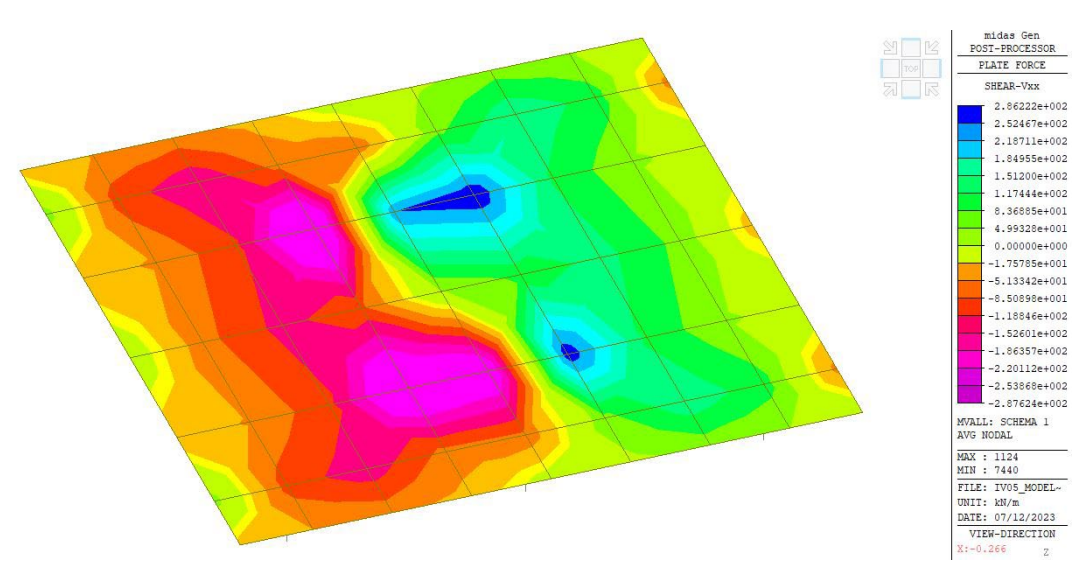


Figura 61 – Plinto fondazione taglio trasversale Vxx mobili



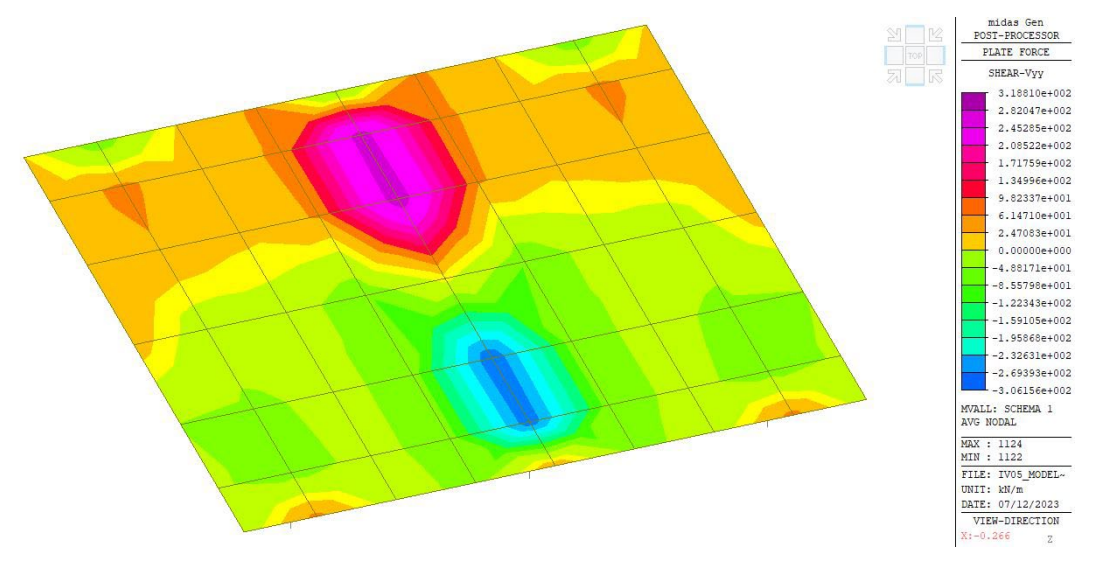


Figura 62 - Plinto fondazione taglio trasversale Vyy mobili

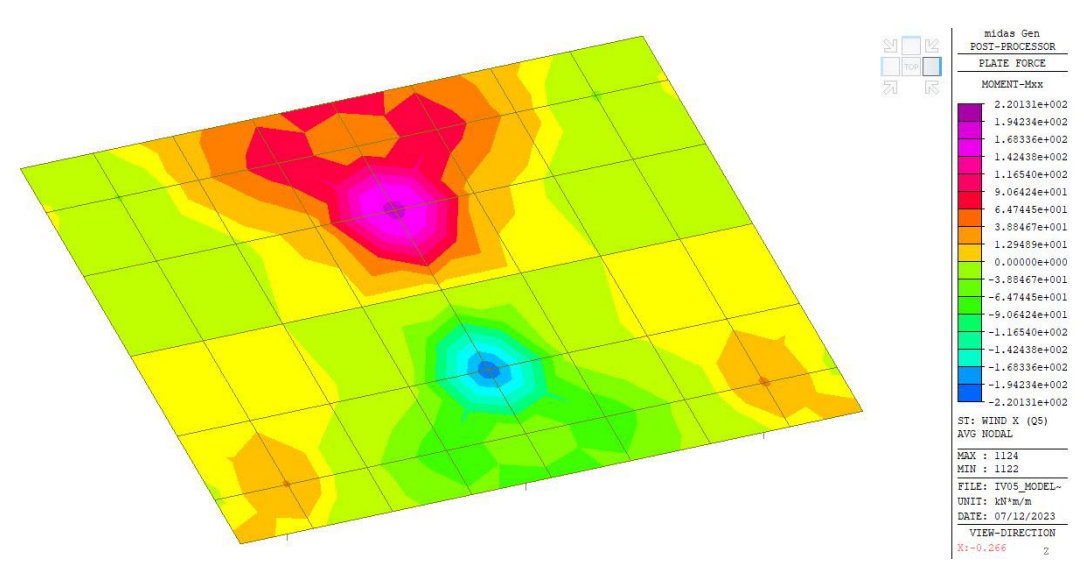


Figura 63 – Plinto fondazione momento longitudinale Mxx vento



					TIPO DOC		RA 7 DISCIP	LINA	PROGR	REV	FOGLIO
IV05- Relazione di calcolo pile	LI0B	02	Е	ZZ	CL	IV	05	05	001	A	50

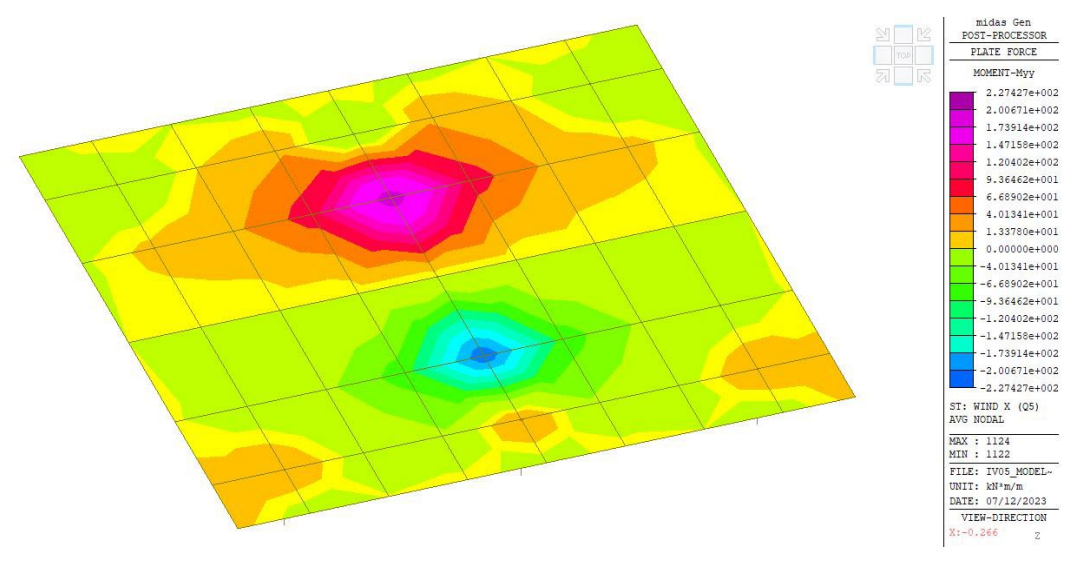


Figura 64 - Plinto fondazione momento trasversale Myy vento

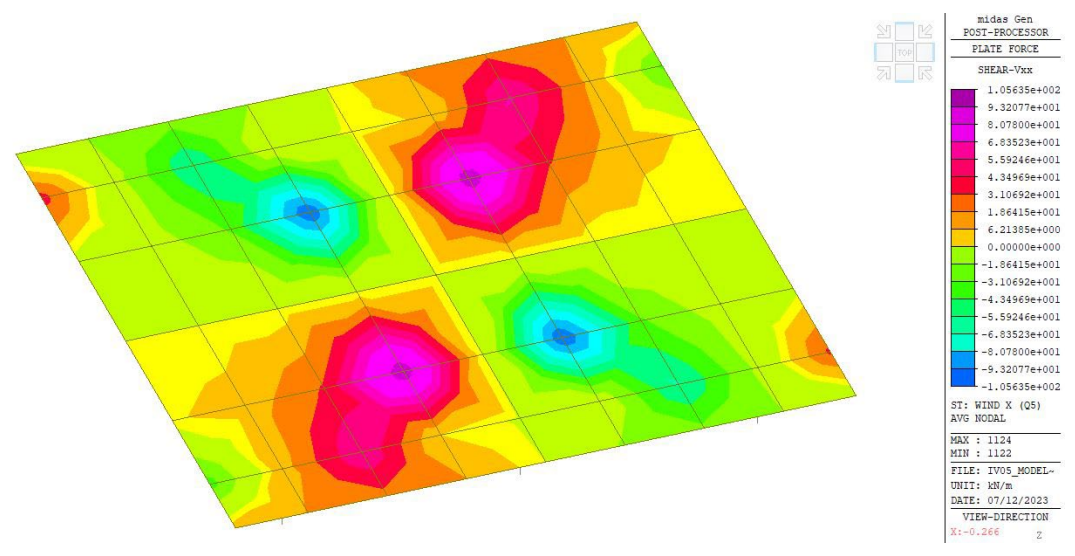


Figura 65 – Plinto fondazione taglio trasversale Vxx vento



	COMMESSA	LOTTO	FASE	ENTE	TIPO DOC	OPE	RA 7 DISCIP	LINA	PROGR	REV	FOGLIO
IV05- Relazione di calcolo pile	LI0B	02	Е	ZZ	CL	IV	05	05	001	Α	51

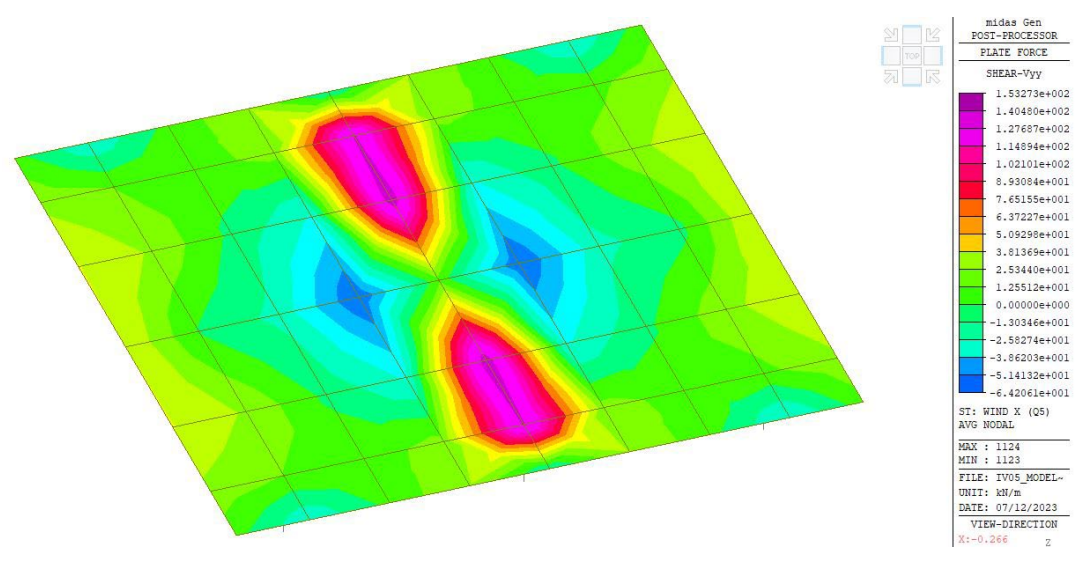


Figura 66 – Plinto fondazione taglio trasversale Vyy vento

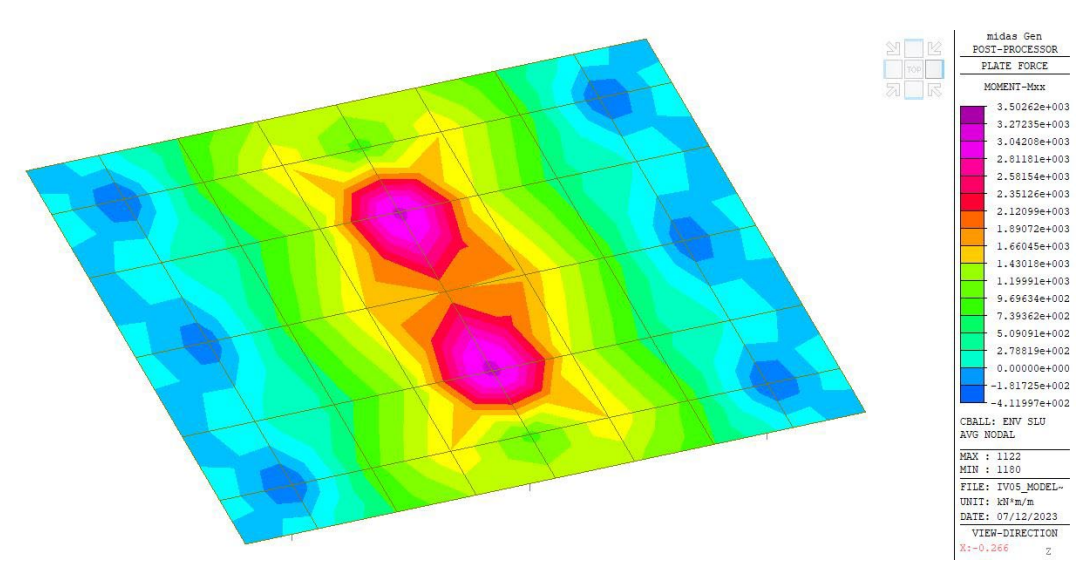


Figura 67 – Plinto fondazione momento longitudinale Mxx ENV SLU



•	COMMESSA	LOTTO	FASE	ENTE	TIPO DOC	OPE	RA 7 DISCIP	LINA	PROGR	REV	FOGLIO
IV05- Relazione di calcolo pile	LI0B	02	Е	ZZ	CL	IV	05	05	001	Α	52

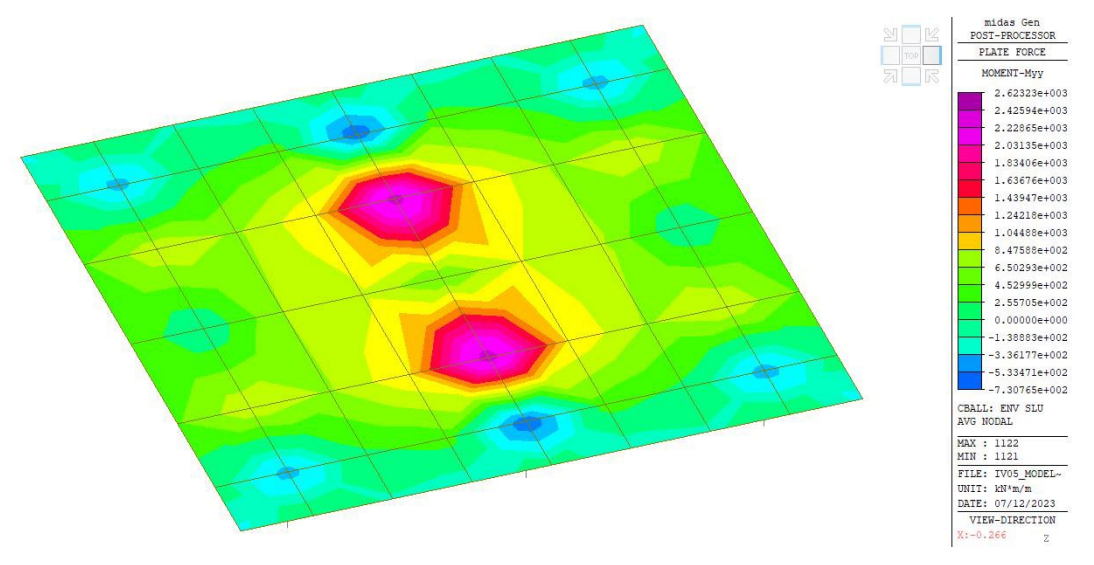


Figura 68 – Plinto fondazione momento trasversale Myy ENV SLU

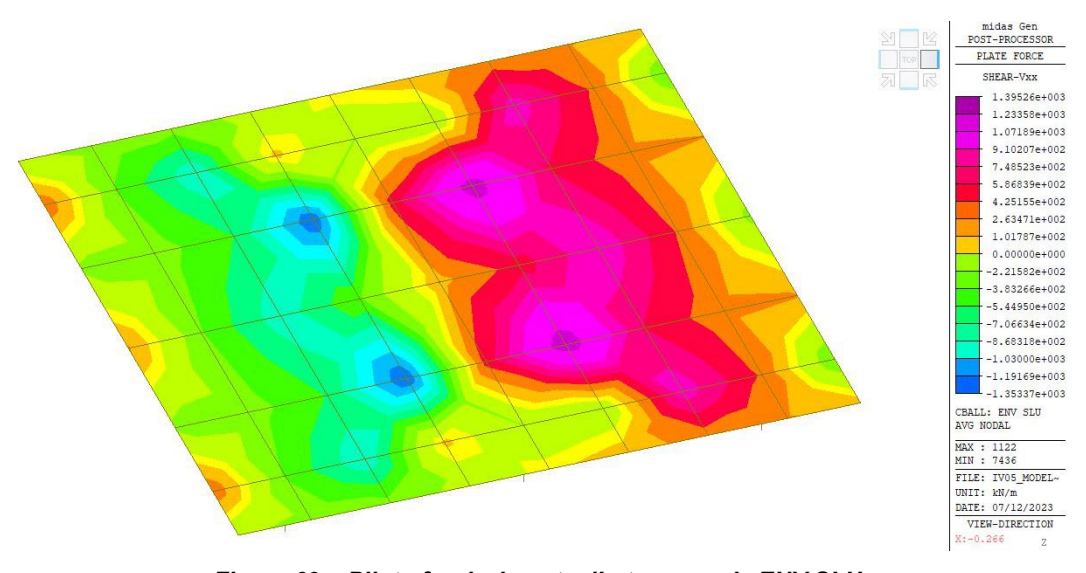


Figura 69 – Plinto fondazione taglio trasversale ENV SLU



	COMMESSA	LOTTO	FASE	ENTE	TIPO DOC	OPE	RA 7 DISCIP	LINA	PROGR	REV	FOGLIO
IV05- Relazione di calcolo pile	LI0B	02	Е	ZZ	CL	IV	05	05	001	Α	53

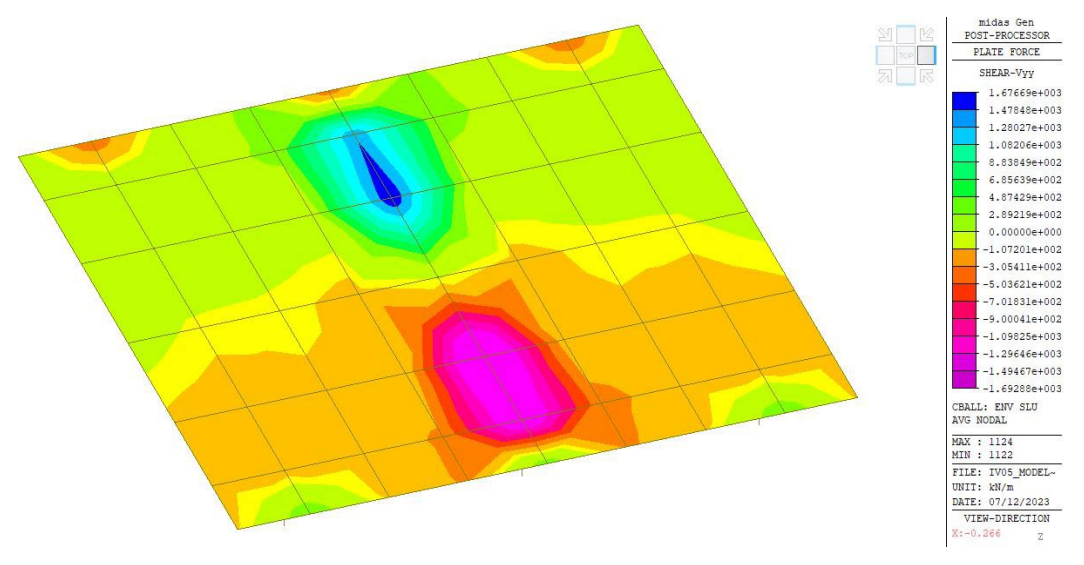


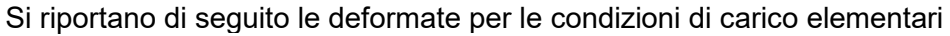
Figura 70 – Plinto fondazione taglio trasversale ENV SLU



RADDOPPIO DELLA TRATTA FERROVIARIA TERMOLI-LESINA LOTTO 2 e 3 – RADDOPPIO TERMOLI - RIPALTA

	COMMESSA	LOTTO	FASE	ENTE	TIPO DOC	OPE	RA 7 DISCIP	LINA	PROGR	REV	FOGLIO
IV05- Relazione di calcolo pil	LIOB	02	Е	ZZ	CL	IV	05	05	001	Α	54

10.3 DEFORMATE



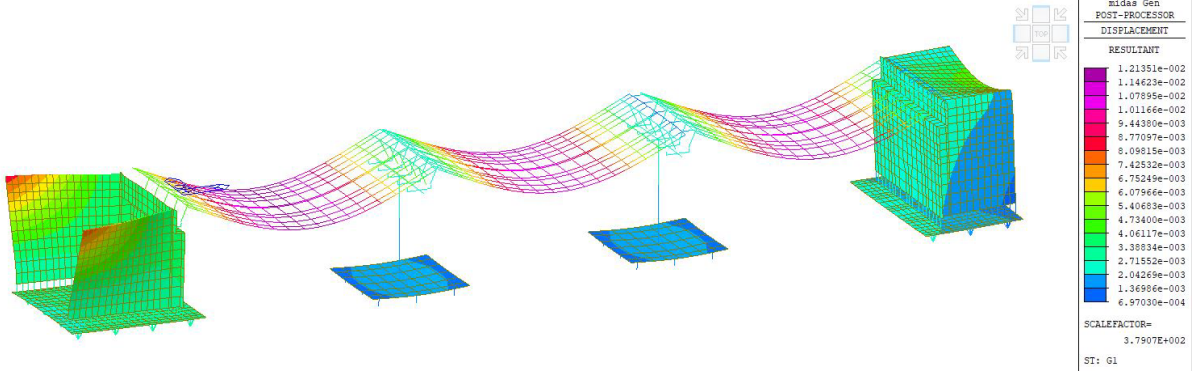


Figura 71 – Deformata G1

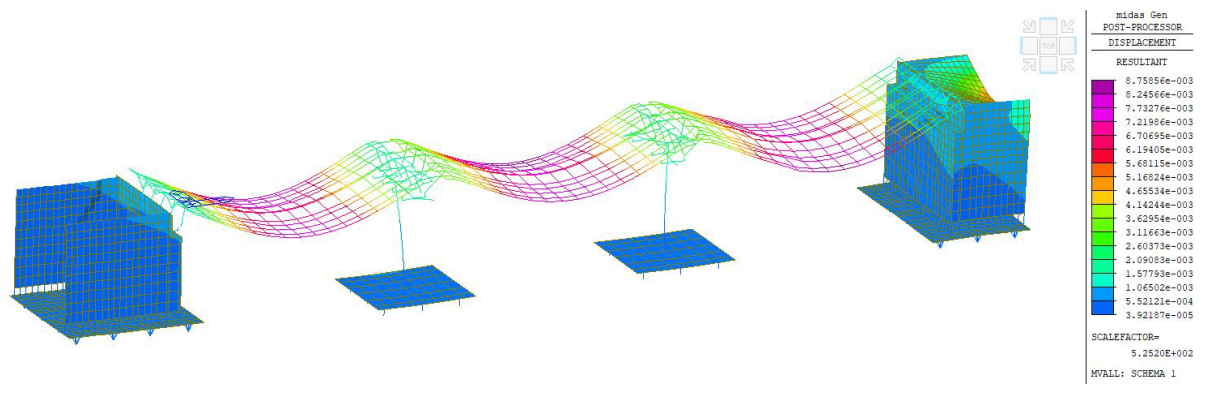


Figura 72 – Deformata carichi mobili

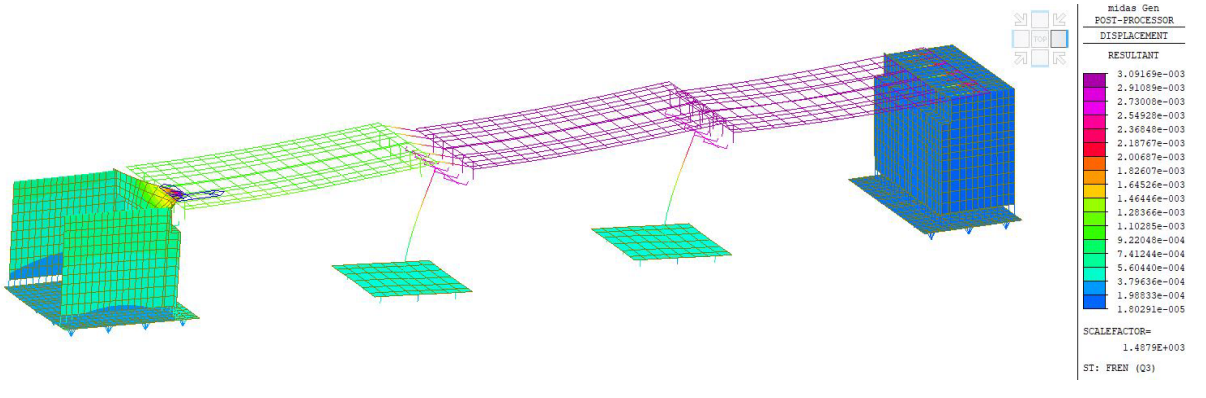


Figura 73 – Deformata frenamento



RADDOPPIO DELLA TRATTA FERROVIARIA TERMOLI-LESINA LOTTO 2 e 3 – RADDOPPIO TERMOLI - RIPALTA

COMMESSA LOTTO FASE ENTE TIPO DOC OPERA 7 DISCIPLINA PROGR FOGLIO IV05- Relazione di calcolo pile 02 Ε LI0B CL 05 05 001 55

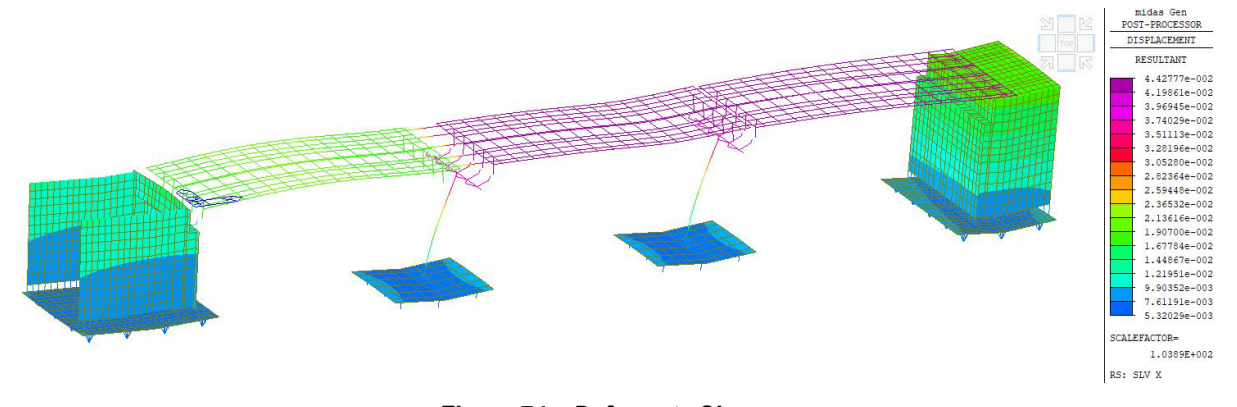


Figura 74 – Deformata Sisma x

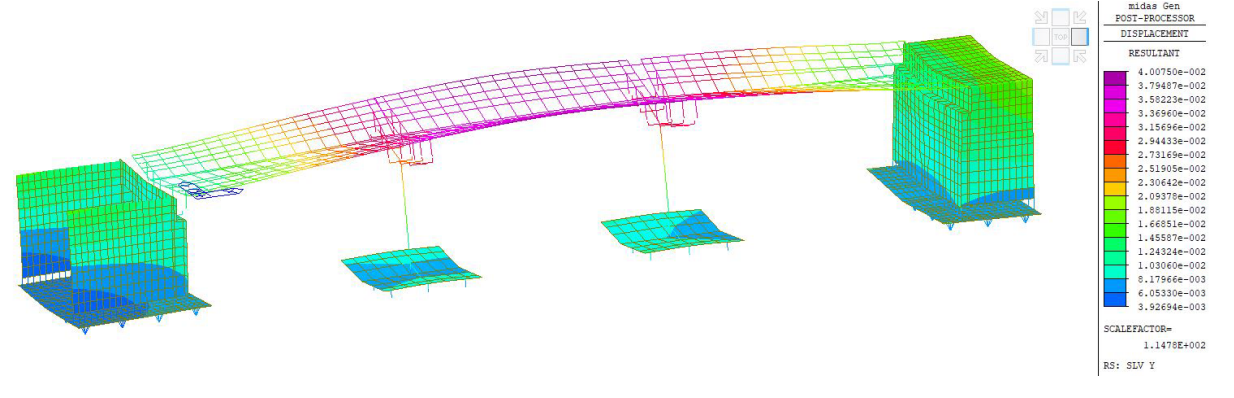


Figura 75 – Deformata sisma y

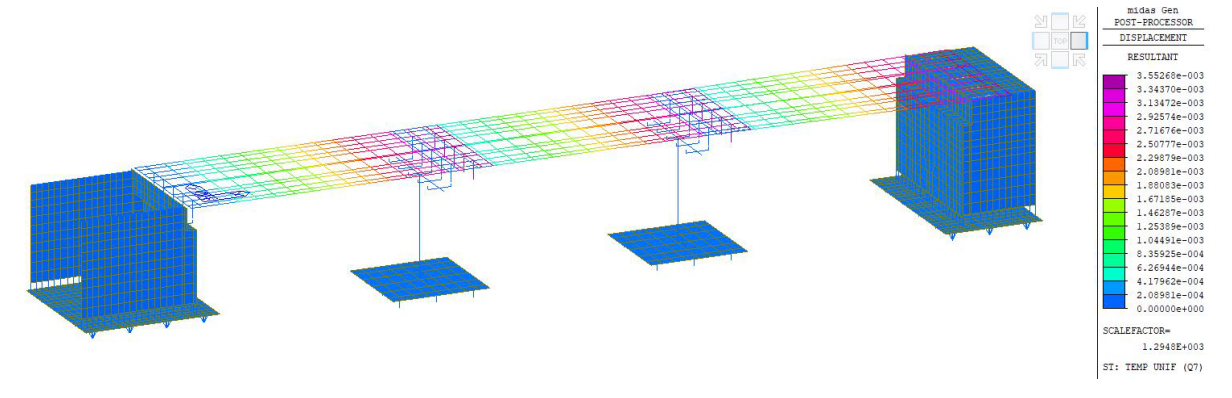


Figura 76 – Deformata termica uniforme

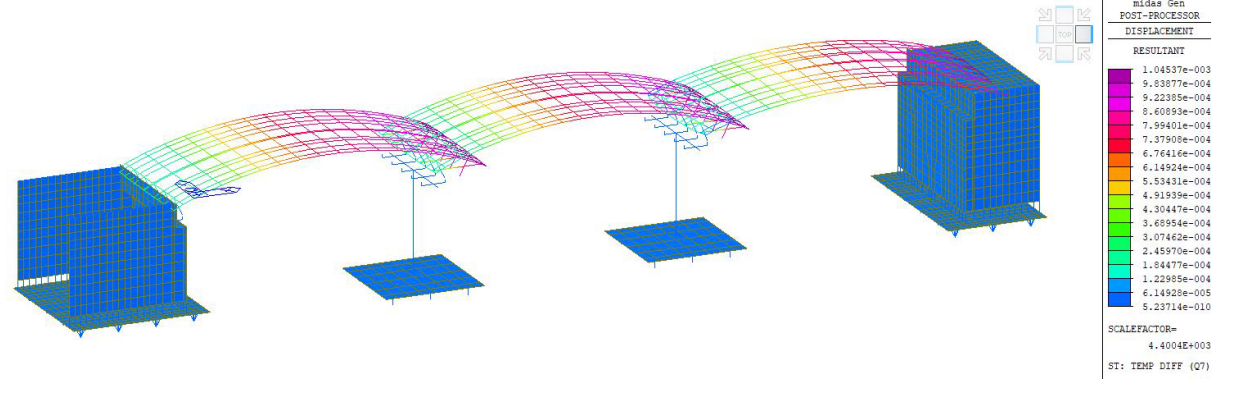


Figura 77 – Deformata termica differenziale





HYPro RADDOPPIO DELLA TRATTA FERROVIARIA TERMOLI-LESINA LOTTO 2 e 3 - RADDOPPIO TERMOLI - RIPALTA

IV05- Relazione di calcolo pile

COMMESSA	LOTTO	FASE	ENTE	TIPO DOC	OPE	RA 7 DISCIP	LINA	PROGR	REV	FOGLIO
LI0B	02	Ε	ZZ	CL	IV	05	05	001	A	56

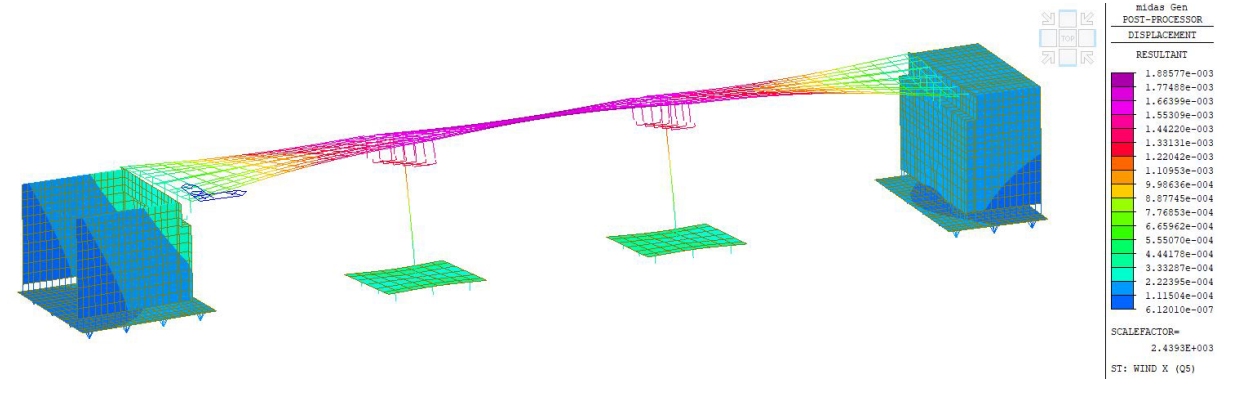


Figura 78 – Deformata vento x

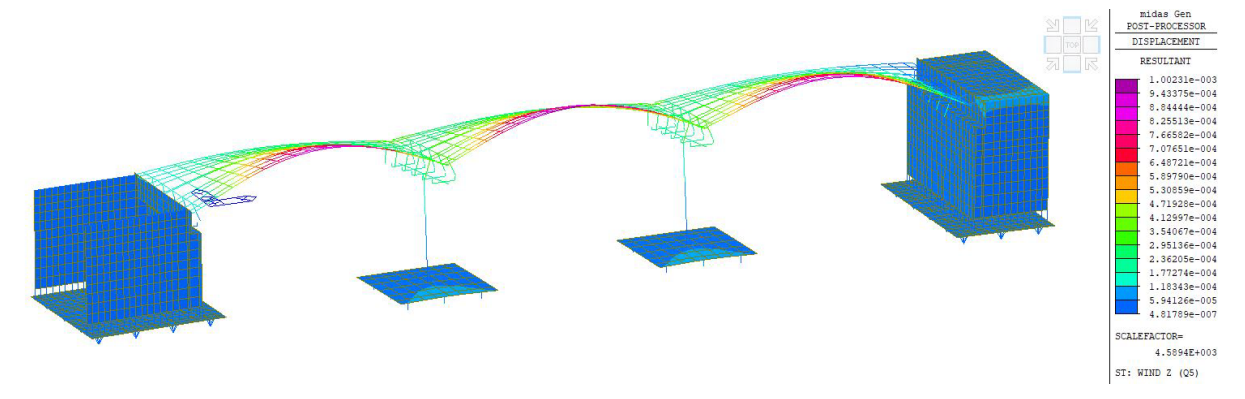


Figura 79 – Deformata vento z



11. GIUDIZIO DI ACCETTABILITÀ DEI RISULTATI

Sono state effettuati alcuni controlli speditivi sui risultati delle analisi al fine di accertare l'affidabilità dei risultati.

Controllo 1: Sollecitazioni su travi per effetto del peso proprio G1

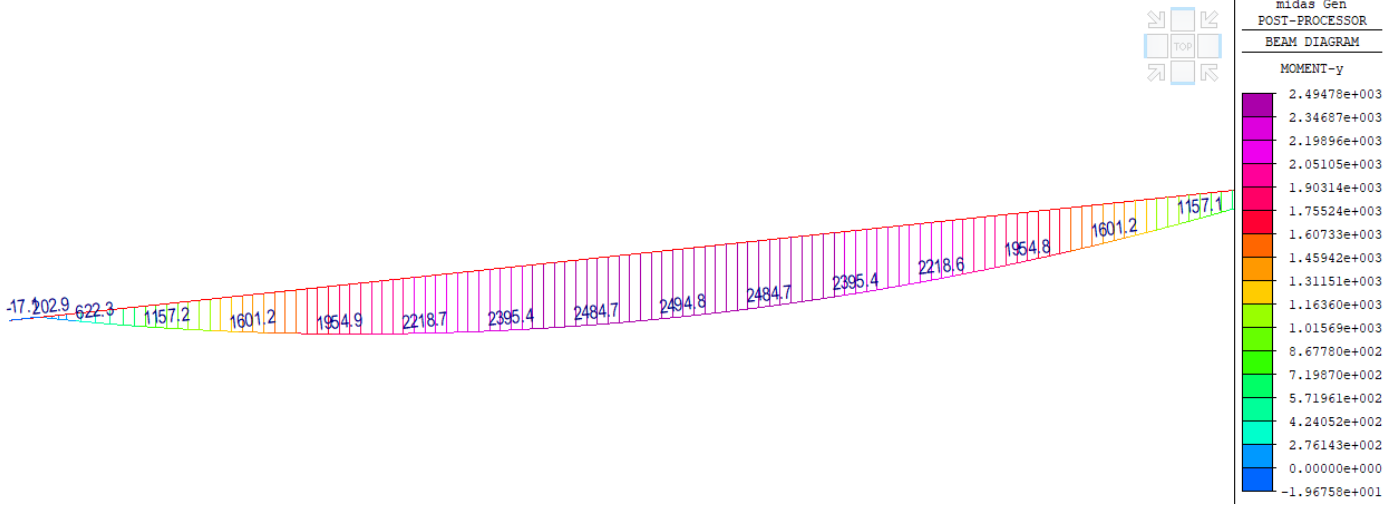
La sezione tipo della singola trave in c.a.p. ha un'area di 0.7m2 a cui corrisponde un carico di qtr=17.5kN/m.

A tale peso si aggiunge quello della soletta. Sulla trave di bordo grava approssimativamente una fascia di soletta di larghezza 3.1m a cui si può attribuire uno spessore medio di 0.3m: si ha quindi un carico qsol=23.25kN/m.

Considerando la luce teorica tra gli appoggi pari a 22.8m si ha un momento flettente pari a:

$$M_{G1,check} = (17.5+23.25)*22.8^2/8=2647kNm$$

Dal modello di calcolo, nel quale esistono gli effetti di ripartizione trasversale per effetto della presenza delle fasce di soletta e dei traversi intermedi, si ottiene: M_{G1,FEM} = 2495kNm



Dunque il momento calcolato in modo speditivo risulta superiore solo del 6.0%; pertanto tale risultato appare accettabile.

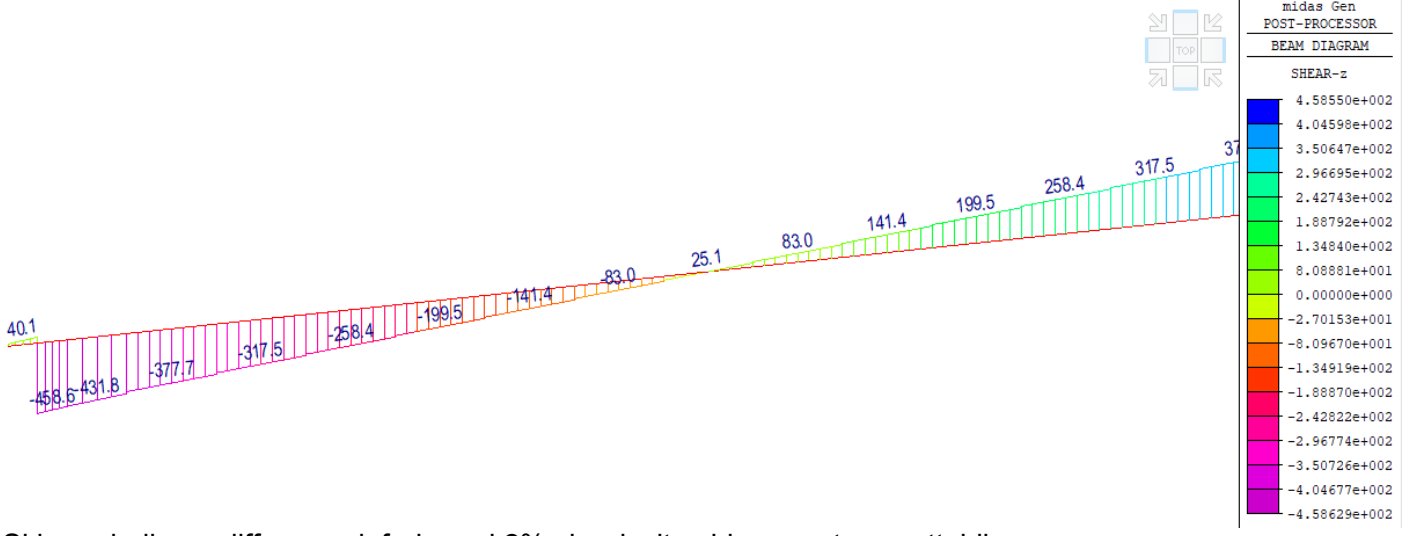
Il massimo taglio agente calcolato manualmente risulta: $V_{G1,check}$ = (17.5+23.25)*22.8/2=465.6kNm Dal modello di calcolo si ottiene: $V_{G1,FEM}$ = 459kNm



RADDOPPIO DELLA TRATTA FERROVIARIA TERMOLI-LESINA LOTTO 2 e 3 – RADDOPPIO TERMOLI - RIPALTA

IV05- Relazione di calcolo pile Li

COMMESSA	LOTTO	FASE	ENTE	TIPO DOC	OPE	OPERA 7 DISCIPLINA			REV	FOGLIO
LI0B	02	E	ZZ	CL	IV	05	05	001	Α	58



Si ha quindi una differenza inferiore al 2% che risulta chiaramente accettabile.

Controllo 2: Sollecitazioni su travi per effetto dei carichi da traffico Modello 1

La trave di bordo ha un'eccentricità rispetto all'asse impalcato di 4.2m; trascurando le corsie pedonali e lo spazio rimanente, la corsia 1 e la corsia 2 hanno un'eccentricità rispettivamente di 2.95m e -0.05m.

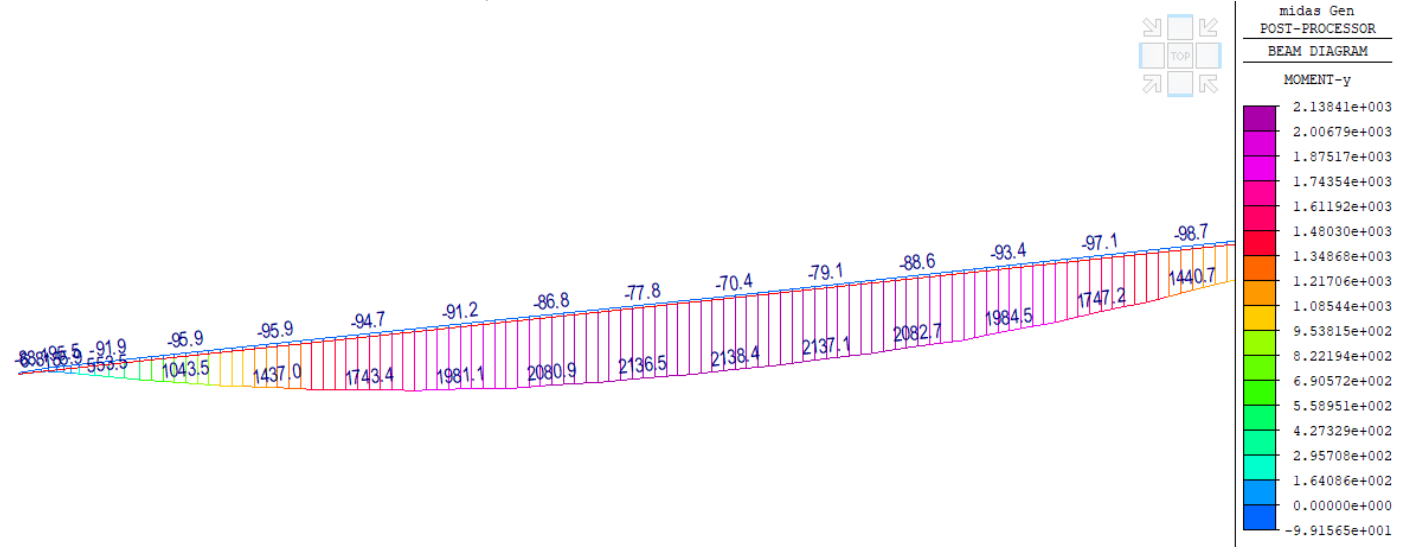
Considerando una ripartizione trasversale alla Courbon, la corsia 1 ha un coefficiente di ripartizione pari a r1,1=0.48 rispetto alla trave 1 mentre la corsia 2 ha un coefficiente di ripartizione r2,1= 0.195.

Considerando i tandem, sulla trave 1 agiranno 2 forze concentrate ciascuna pari a: Ftand=300*0.48 + 200*0.195=183kN

Considerando i carichi distribuiti: qdist= 27*0.48 + 7.5*0.195 = 14.4kN/m

Considerando i carichi distribuiti presenti su tutta la campata e i tandem in mezzeria, il massimo momento flettente risulta: $M_{\text{mov,check}} = 14.4*22.8^2/8 + 183*(22.8/2-1.2/2) = 2912kNm$

Dal modello di calcolo si ottiene: M_{mov,FEM} = 2138kNm





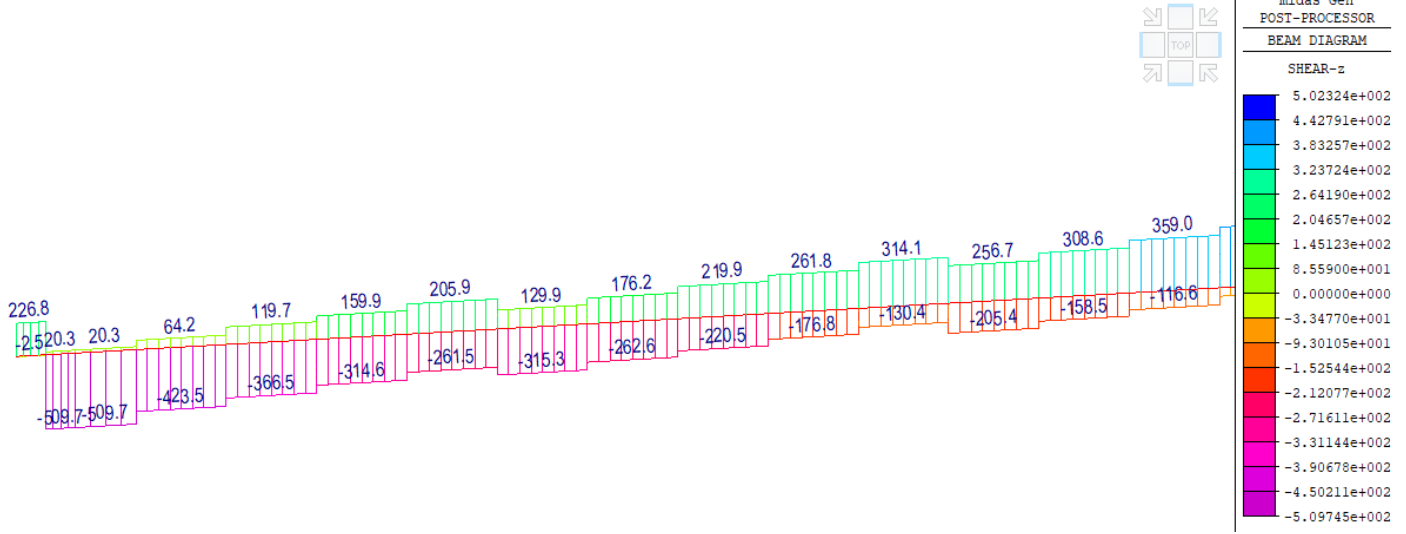
RADDOPPIO DELLA TRATTA FERROVIARIA TERMOLI-LESINA LOTTO 2 e 3 – RADDOPPIO TERMOLI - RIPALTA

•	COMMESSA	LOTTO	FASE	ENTE	TIPO DOC	OPE	RA 7 DISCIP	LINA	PROGR	REV	FOGLIO
IV05- Relazione di calcolo pile	LI0B	02	Ε	ZZ	CL	IV	05	05	001	Α	59

Il calcolo manuale fornisce un momento massimo più alto del 26% ma, in virtù della presenza di fasce di soletta e traversi, che garantiscono una notevole ripartizione dei carichi, si giudica il risultato accettabile.

Considerando i carichi distribuiti presenti su tutta la campata e i tandem in prossimità dell'appoggio, il massimo taglio risulta: $V_{mov, check} = 14.4*22.8/2 + 183*2 = 530kN$

Dal modello di calcolo si ottiene: V_{mov,FEM} = 509kN



La differenza tra il calcolo manuale e il calcolo FEM è pari al 4% confermando l'affidabilità del modello. La maggior precisione del taglio è dovuta al fatto che il massimo taglio si attinge quando i tandem sono prossimi all'appoggio e quindi risultano ridotti gli effetti della ripartizione trasversale di soletta e traversi.

Controllo 3: Sollecitazioni su fusto pila per effetto del peso proprio G1

Controllo 4: Sollecitazioni su fusto pila per effetto dei carichi mobili

Si considera la Pila 1 (Htot=8.8m) che, tra l'altro, ha la stessa geometria della pila 2.

In base alle valutazioni effettuate in precedenza, il peso totale di una trave è pari a P_{tr}=17.5*25=438kN Considerando 5 travi (e un incremento del 10% per tener conto dei ringrossi sulle testate): P_{tr.tot}= 2409kN.

Il peso dei traversi approssimativamente è pari a: Ptrav = 4*4*0.4*1.2*25= 192kN

La soletta ha un peso complessivo: P_{sol} = 25*12.7*0.3*25=2381kN

II pulvino ha un peso pari a: $P_{pulv} = (3.2*10*1.25+(5+10)*0.5*(2+3.2)*0.5*1.25)*25=1610kN$

II fusto pila ha una sezione di 9.1m², da cui P_{fusto} = 6.3*25*7.4m = 1165kN

Sommando i contributi si ottiene lo sforzo normale alla base della pila per effetto dei carichi G1:

 $N_{G1,check} = 7757km$

Dal modello di calcolo si ottiene: N_{G1,FEM} = 8329kNm

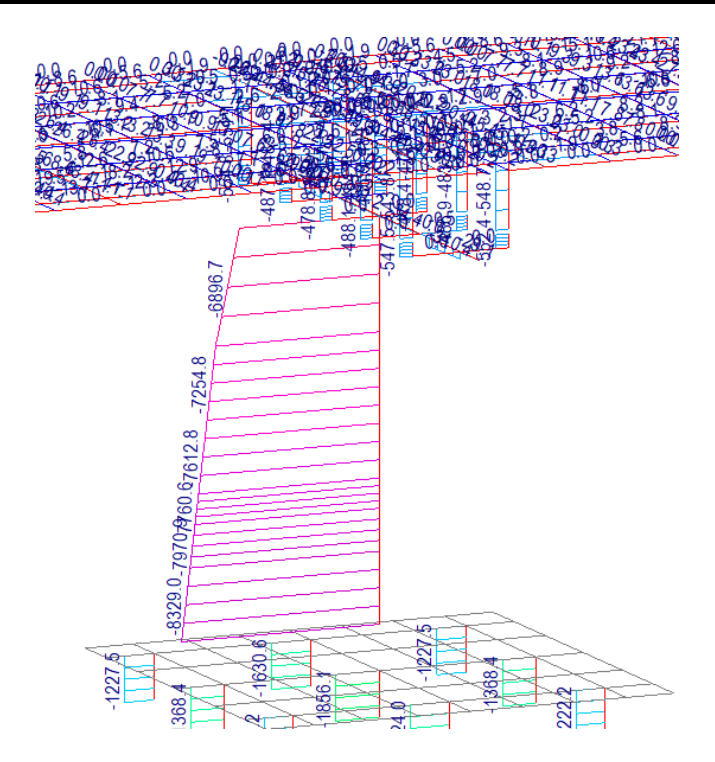




RADDOPPIO DELLA TRATTA FERROVIARIA TERMOLI-LESINA LOTTO 2 e 3 – RADDOPPIO TERMOLI - RIPALTA

IV05- Relazione di calcolo pile

COMMESSA	LOTTO	FASE	ENTE	TIPO DOC	OPE	RA 7 DISCIP	LINA	PROGR	REV	FOGLIO
LI0B	02	Ε	ZZ	CL	IV	05	05	001	Α	60

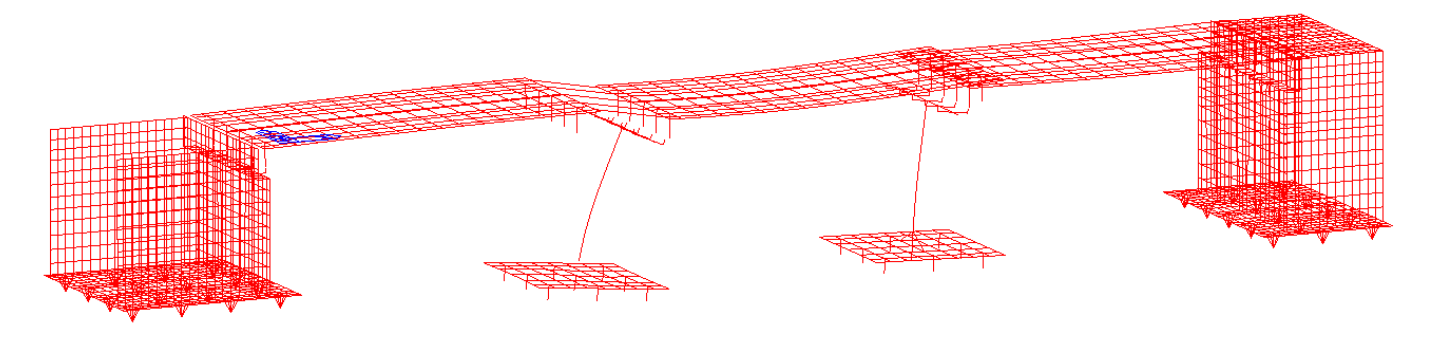


Si ritiene che una differenza pari al 7% circa sia certamente accettabile.

Controllo 5: Controllo risultati analisi modale

Dall'analisi modale, il primo modo che coinvolge una significativa massa partecipante è il modo 2 che eccita nel dettaglio la pila 1 ed il relativo impalcato in direzione longitudinale.

Il periodo di oscillazione associato al modo 2 è pari a T_{FEM} = 0.477sec.



Considerando la pila 1 ed equiparandola ad un oscillatore semplice, la massa da prendere in considerazione è costituita da:

- Massa impalcato (una campata);
- Massa pulvino;
- Massa ½ fusto pila (approssimativamente).

Quindi, oltre ai carichi determinati in precedenza è necessario valutare i carichi fissi non strutturali sull'impalcato. Considerando la somma dei carichi associati a pavimentazione, velette, cordoli, barriere,ecc. si ha un carico q_{G2}=54kN/m da cui G2tot=25*49=1350kN.

La massa totale è pari a: M = (1225 + 7757 - 1165/2)/g = 856ton.





RADDOPPIO DELLA TRATTA FERROVIARIA TERMOLI-LESINA LOTTO 2 e 3 – RADDOPPIO TERMOLI - RIPALTA

IV05- Relazione di calcolo pile

COMMESSA	LOTTO	FASE	ENTE	TIPO DOC	OPE	RA 7 DISCIP	LINA	PROGR	REV	FOGLIO
LI0B	02	Ε	ZZ	CL	IV	05	05	001	Α	61

La rigidezza della pila viene valutata come quella di una mensola considerando un'altezza totale pari a quella della pila maggiorata di 1.5m per tener conto dell'altezza a cui è posizionato l'impalcato. (Le caratteristiche del materiale e l'inerzia della sezione sono ricavate dal modello di calcolo).

Rigidezza a flessione: $K_{flex} = 3*E*I/h^3 = (3*33000*2.7618*1000^4)/(10300^3) = 250216kN/m$ Rigidezza tagliante: $K_{shear} = X*G*A/H = 1.2*(13750*9.1*10^6)/8800 = 17062500kN/m$

La rigidezza complessiva equivale a: K_{eq}=246599kN/m

Da cui:

$$T = 2*\pi*radq(M/K) = 0.37sec vs T_{FEM} = 0.47sec$$

Sebbene tra i due risultati ci sia uno scarto del 25% circa, alla luce delle complessità del modello di calcolo (che include la deformabilità delle platee di fondazione, vincoli elastici, ecc.), quanto ottenuto dal calcolo manuale risulta soddisfacente e conferma i risultati dell'analisi FEM.



12. VERIFICA DELLE PILE

12.1 VERIFICA PILE A PRESSOFLESSIONE PER AZIONI SLU – SLV

12.1.1 Fusto pila 1

Si riportano di seguito le verifiche relative all'elevazione delle pile per effetto delle sollecitazioni relative alle combinazioni di carico considerate allo SLU e SLV.

I diagrammi delle sollecitazioni sono riportati qualitativamente al §10.2

Le caratteristiche della sezione del fusto pila sono:

- b = 2.00m;
- h= 5.00m;
- Af = \emptyset 26/10cm + \emptyset 26/10cm

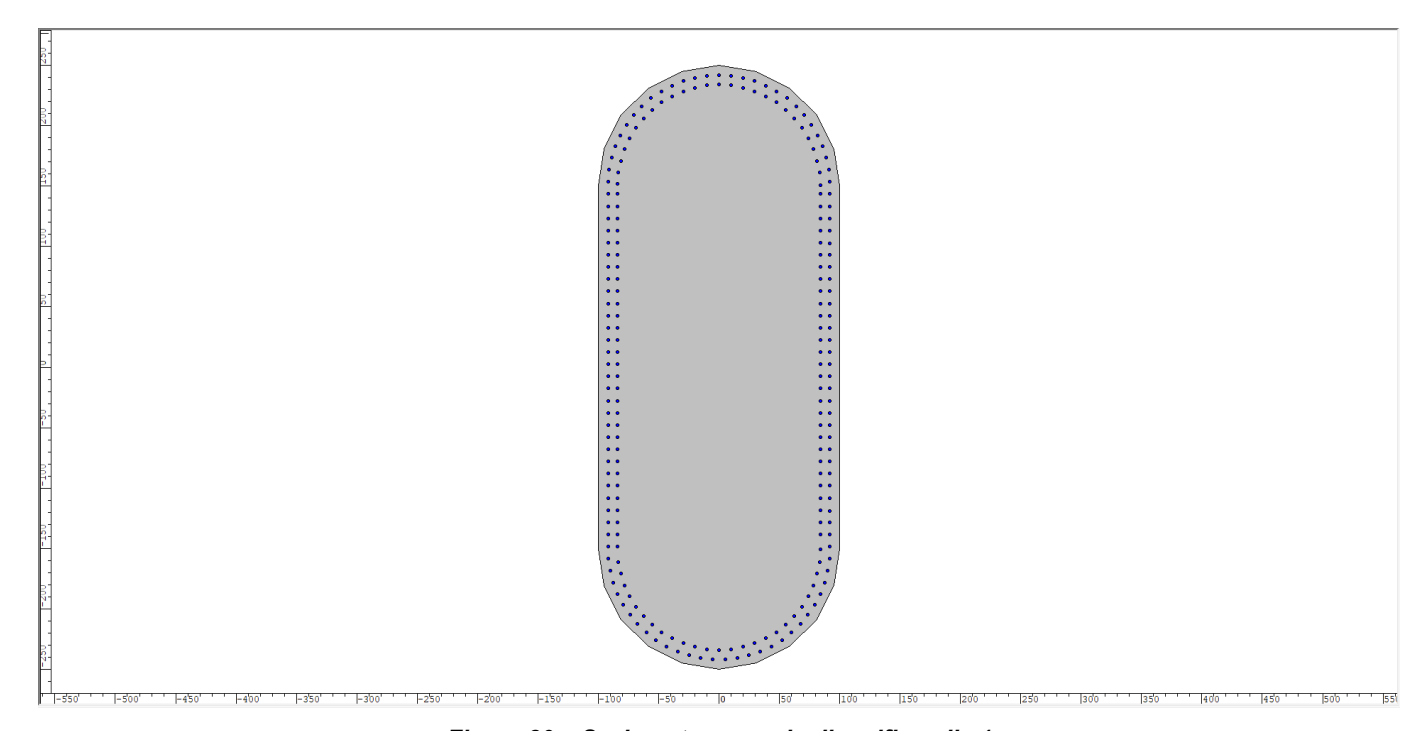


Figura 80 – Sezione trasversale di verifica pila 1

Le verifiche vengono effettuate impiegando il software Presfle e gli esiti vengono riportati in forma tabellare.

Frame	OutputCase	Station	P	V3 (trasv)	V2 (long)	Т	М3	M2	C/D
Text	Text	m	KN	KN	KN	KN-m	KN-m	KN-m	-
510	SLU1(max)	I[331]	-12773	-229	94	618	3601	1409	13.48
510	SLU2(max)	I[331]	-13222	308	94	480	3601	8810	9.45
510	SLU3(max)	I[331]	-9262	-228	94	620	3601	1429	12.84
510	SLU4(max)	I[331]	-9711	309	94	482	3601	8831	9.06
510	SLU5(max)	I[331]	-12782	-253	662	326	7664	-1013	6.48
510	SLU6(max)	I[331]	-13231	284	662	188	7664	6388	6.11
510	SLU7(max)	I[331]	-9272	-252	662	328	7664	-993	6.17
510	SLU8(max)	I[331]	-9720	285	662	190	7664	6408	5.86





	COMMESSA	LOTTO	FASE	ENTE	TIPO DOC	OPE	RA 7 DISCIP	LINA	PROGR	REV	FOGLIO	
IV05- Relazione di calcolo pile	LI0B	02	Ш	ZZ	CL	IV	05	05	001	A	63	

		· · · · · · · · · · · · · · · · · · ·							
	SLU9(max)	I[331]	-12773	-229	-94	618	1891	1409	24.87
	SLU10(max)	I[331]	-13222	308	-94	480	1891	8810	11.51
	SLU11(max)	I[331]	-9262	-228	-94	620	1891	1429	23.76
510	SLU12(max)	I[331]	-9711	309	-94	482	1891	8831	11.05
	SLU13(max)	I[331]	-12782	-253	474	326	5954	-1013	8.32
510	SLU14(max)	I[331]	-13231	284	474	188	5954	6388	7.52
510	SLU15(max)	I[331]	-9272	-252	474	328	5954	-993	7.92
510	SLU16(max)	I[331]	-9720	285	474	190	5954	6408	7.2
510	SLU17(max)	I[331]	-12633	-428	94	421	2584	-3457	16.4
510	SLU18(max)	I[331]	-13380	467	94	192	2584	8878	10.66
510	SLU19(max)	I[331]	-9122	-427	94	424	2584	-3437	15.7
510	SLU20(max)	I[331]	-9870	468	94	194	2584	8898	10.2
	SLU1(min)	I[331]	-16195	-314	94	-489	-1892	-9503	11.19
	SLU2(min)	I[331]	-16643	223	94	-627	-1892	-2102	24.3
	SLU3(min)	I[331]	-12684	-313	94	-487	-1892	-9483	10.80
	SLU4(min)	I[331]	-13133	224	94	-625	-1892	-2082	23.5
	SLU5(min)	I[331]	-14741	-300	662	-298	4206	-6905	9.7
	SLU6(min)	I[331]	-15189	237	662	-435	4206	496	12.2
	SLU7(min)	I[331]	-11230	-299	662	-295	4206	-6885	9.4
	SLU8(min)	I[331]	-11679	238	662	-433	4206	516	11.6
	SLU9(min)	I[331]	-16195	-314	-94	-489	-3602	-9503	9.2
	SLU10(min)	I[331]	-16643	223	-94	-627	-3602	-2102	13.8
	SLU11(min)	I[331]	-12684	-313	-94	-487	-3602	-9483	9.0
	SLU12(min)	I[331]	-13133	224	-94	-625	-3602	-2082	13.3
	SLU13(min)	I[331]	-14741	-300	-94 474	-298	2496	-6905	12.8
	SLU14(min)	I[331]	-15189	237	474	-435	2496	496	20.4
	SLU15(min)	I[331]	-11230	-299	474	-295	2496	-6885	12.4
	SLU16(min)	I[331]	-11230	238	474	-433	2496	516	19.4
	SLU17(min)	I[331]	-14591 45320	-475 420	94	-202	-874	-9349	11.9
	SLU18(min)	I[331]	-15339	420	94	-432	-874	2986	32.20
	SLU19(min)	I[331]	-11081	-474	94	-200	-874	-9329	11.5
	SLU20(min)	I[331]	-11829	421	94	-430	-874	3007	30.9
	SLU1(all)	I[331]	-16195	-314	94	618	3601	-9503	9.2
	SLU2(all)	I[331]	-16643	308	94	-627	3601	8810	9.7
	SLU3(all)	I[331]	-12684	-313	94	620	3601	-9483	9.0
	SLU4(all)	I[331]	-13133	309	94	-625	3601	8831	9.4
510	SLU5(all)	I[331]	-14741	-300	662	326	7664	-6905	6.1
	SLU6(all)	I[331]	-15189	284	662	-435	7664	6388	6.2
	SLU7(all)	I[331]	-11230	-299	662	328	7664	-6885	5.9
	SLU8(all)	I[331]	-11679	285	662	-433	7664	6408	6.0
510	SLU9(all)	I[331]	-16195	-314	-94	618	-3602	-9503	9.2
510	SLU10(all)	I[331]	-16643	308	-94	-627	-3602	8810	9.7
510	SLU11(all)	I[331]	-12684	-313	-94	620	-3602	-9483	9.0
510	SLU12(all)	I[331]	-13133	309	-94	-625	-3602	8831	9.4
510	SLU13(all)	I[331]	-14741	-300	474	326	5954	-6905	7.5
510	SLU14(all)	I[331]	-15189	284	474	-435	5954	6388	7.6
510	SLU15(all)	I[331]	-11230	-299	474	328	5954	-6885	7.2
	SLU16(all)	I[331]	-11679	285	474	-433	5954	6408	7.3
	SLU17(all)	I[331]	-14591	-475	94	421	2584	-9349	10.4
	SLU18(all)	I[331]	-15339	467	94	-432	2584	8878	10.8
	SLU19(all)	I[331]	-11081	-474	94	424	2584	-9329	10.0
	SLU20(all)	I[331]	-11829	468	94	-430	2584	8898	10.4
	\/	h d							5.80





RADDOPPIO DELLA TRATTA FERROVIARIA TERMOLI-LESINA LOTTO 2 e 3 – RADDOPPIO TERMOLI - RIPALTA

COMMESSA OPERA 7 DISCIPLINA LOTTO FASE ENTE TIPO DOC PROGR FOGLIO IV05- Relazione di calcolo pile Ε ZZ IV 05 LI0B 02 CL 05 001 64

Frame	OutputCase	Station	P	V3 (trasv)	V2 (long)	Т	М3	M2	C/D
Text	Text	m	KN	KN	KN	KN-m	KN-m	KN-m	-
510	SLV-X1	I[331]	-7725	1338	4284	445	36868	13393	1.23
510	SLV-X2	I[331]	-9836	1322	-4200	391	-36403	13267	1.28
510	SLV-X3	I[331]	-7725	-1328	4284	-397	36868	-13375	1.23
510	SLV-X4	I[331]	-9836	-1344	-4200	-452	-36404	-13501	1.28
510	SLV-X5	I[331]	-9203	1337	4200	440	36404	13386	1.27
510	SLV-X6	I[331]	-11314	1321	-4284	386	-36868	13260	1.29
510	SLV-X7	I[331]	-9203	-1329	4200	-403	36403	-13382	1.27
510	SLV-X8	I[331]	-11314	-1345	-4284	-457	-36868	-13508	1.29
510	SLV-Y1	I[331]	-8463	4442	1315	1409	11224	44579	2.08
510	SLV-Y2	I[331]	-8465	-4444	1315	-1399	11223	-44648	2.09
510	SLV-Y3	I[331]	-9097	4438	-1230	1393	-10758	44541	2.12
510	SLV-Y4	I[331]	-9098	-4449	-1230	-1415	-10759	-44686	2.12
510	SLV-Y5	I[331]	-9941	4442	1230	1404	10759	44571	2.14
510	SLV-Y6	I[331]	-9943	-4444	1230	-1404	10758	-44656	2.14
510	SLV-Y7	I[331]	-10575	4437	-1315	1387	-11223	44534	2.14
510	SLV-Y8	I[331]	-10576	-4449	-1315	-1421	-11224	-44694	2.14
510	SLV-Z1	I[331]	-6739	1333	1414	432	11766	13358	3.48
510	SLV-Z2	I[331]	-11666	1331	1132	415	10216	13334	4.12
510	SLV-Z3	I[331]	-7373	-1338	-1132	-427	-10216	-13448	3.91
510	SLV-Z4	I[331]	-12300	-1340	-1414	-444	-11766	-13472	3.72
									1.26

Le verifiche in condizioni Sismiche allo SLV restituiscono un coefficiente minimo C/D =1.26

Con riferimento alla combinazione eccezionale dovuta all'urto sulla pila

Frame	OutputCase	Station	P	V3 (trasv)	V2 (long)	Т	M3	M2	C/D
Text	Text	m	KN	KN	KN	KN-m	KN-m	KN-m	-
510	ECC-1	I[331]	-9520	-1968	131	36	1188	-4428	20.96
510	ECC-2	I[331]	-9520	-3	-620	-6	-687	-57	69.30
510	ECC-3	I[331]	-9520	-1968	-131	36	-1188	-4428	20.96
510	ECC-4	I[331]	-9520	-3	-881	-6	-3063	-57	15.64
									15.64

Le verifiche per combinazione eccezionale restituiscono un coefficiente minimo C/D =15.64

12.1.2 Fusto pila 2

Si riportano di seguito le verifiche relative all'elevazione delle pile per effetto delle sollecitazioni relative alle combinazioni di carico considerate allo SLU e SLV.

I diagrammi delle sollecitazioni sono riportati qualitativamente al §10.2

Le caratteristiche della sezione del fusto pila sono:

- b = 2.00m;
- h= 5.00m;
- Af = \emptyset 26/10cm + \emptyset 26/10cm





HYPO RADDOPPIO DELLA TRATTA FERROVIARIA TERMOLI-LESINA LOTTO 2 e 3 - RADDOPPIO TERMOLI - RIPALTA

	COMMESSA	LOTTO	FASE	ENTE	TIPO DOC	OPE	RA 7 DISCIP	LINA	PROGR	REV	FOGLIO
IV05- Relazione di calcolo pile	LI0B	02	Е	ZZ	CL	IV	05	05	001	Α	65

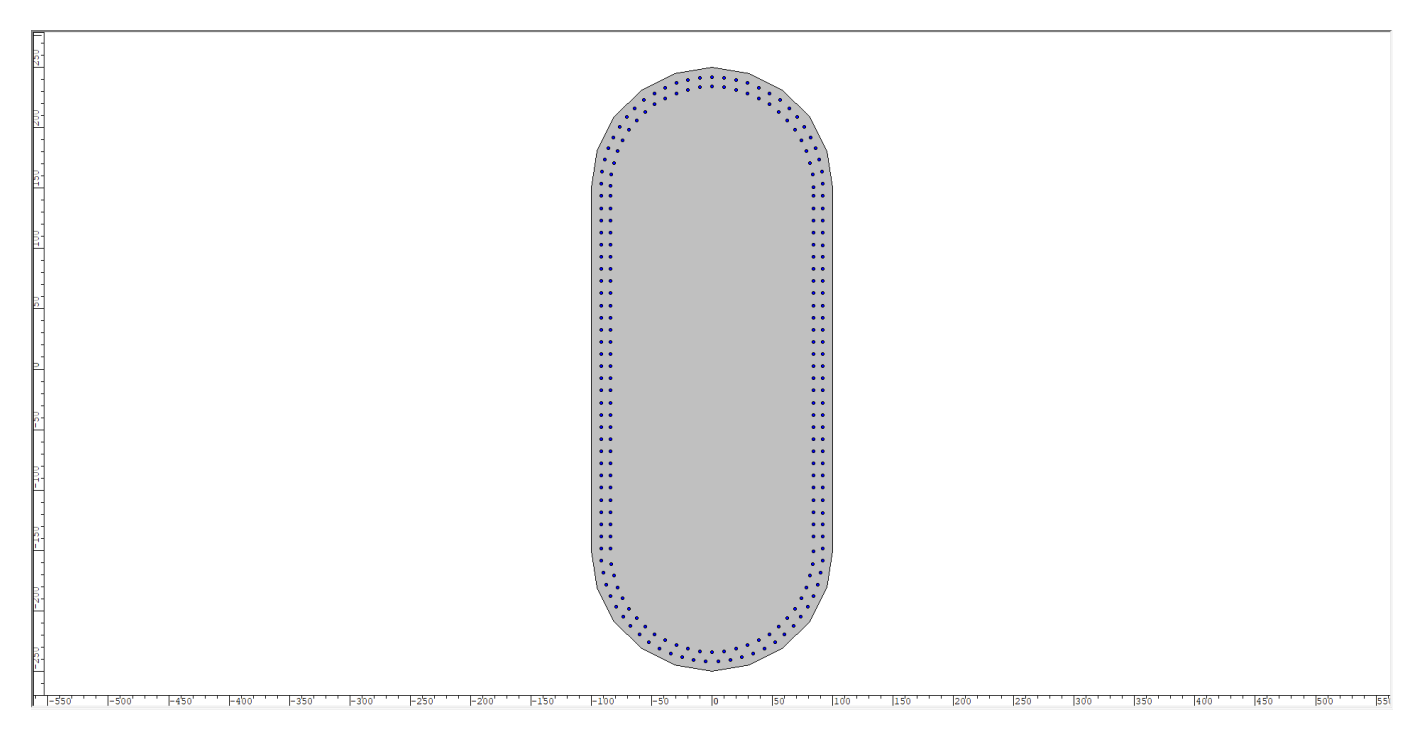


Figura 81 – Sezione trasversale di verifica pila 2

Le verifiche vengono effettuate impiegando il software Presfle e gli esiti vengono riportati in forma tabellare.

Frame	OutputCase	Station	Р	V3 (trasv)	V2 (long)	Т	М3	M2	C/D
Text	Text	m	KN	KN	KN	KN-m	KN-m	KN-m	-
1047	SLU1(max)	I[686]	-12856	-240	94	202	3698	1707	13.05
1047	SLU2(max)	I[686]	-13305	304	94	571	3698	9172	9.14
1047	SLU3(max)	I[686]	-9323	-240	94	200	3672	1711	12.53
1047	SLU4(max)	I[686]	-9771	304	94	569	3672	9176	8.80
1047	SLU5(max)	I[686]	-12866	-245	662	33	7761	-755	6.43
1047	SLU6(max)	I[686]	-13315	299	662	403	7761	6710	6.01
1047	SLU7(max)	I[686]	-9332	-245	662	31	7735	-752	6.14
1047	SLU8(max)	I[686]	-9781	299	662	401	7735	6713	5.78
1047	SLU9(max)	I[686]	-12856	-240	-94	202	1988	1707	23.35
1047	SLU10(max)	I[686]	-13305	304	-94	571	1988	9172	11.05
1047	SLU11(max)	I[686]	-9323	-240	-94	200	1962	1711	22.64
1047	SLU12(max)	I[686]	-9771	304	-94	569	1962	9176	10.64
1047	SLU13(max)	I[686]	-12866	-245	474	33	6051	-755	8.23
1047	SLU14(max)	I[686]	-13315	299	474	403	6051	6710	7.36
1047	SLU15(max)	I[686]	-9332	-245	474	31	6025	-752	7.86
1047	SLU16(max)	I[686]	-9781	299	474	401	6025	6713	7.08
1047	SLU17(max)	I[686]	-12717	-435	94	-68	2678	-3314	16.13
1047	SLU18(max)	I[686]	-13464	472	94	548	2678	9128	10.35
1047	SLU19(max)	I[686]	-9183	-435	94	-70	2653	-3310	15.58
1047	SLU20(max)	I[686]	-9931	472	94	546	2653	9131	9.9
1047	SLU1(min)	I[686]	-16282	-304	94	-582	-1799	-9446	11.34
1047	SLU2(min)	I[686]	-16730	241	94	-212	-1799	-1981	25.69
1047	SLU3(min)	I[686]	-12748	-304	94	-584	-1825	-9443	10.90
1047	SLU4(min)	I[686]	-13197	241	94	-214	-1825	-1978	24.48
1047	SLU5(min)	I[686]	-14826	-282	662	-446	4301	-6777	9.68
1047	SLU6(min)	I[686]	-15275	262	662	-76	4301	688	11.9
1047	SLU7(min)	1[686]	-11292	-282	662	-448	4275	-6773	9.35





HYPro RADDOPPIO DELLA TRATTA FERROVIARIA TERMOLI-LESINA LOTTO 2 e 3 - RADDOPPIO TERMOLI - RIPALTA

	COMMESSA	LOTTO			TIPO DOC		RA 7 DISCIP		PROGR	REV	FOGLIO	l
IV05- Relazione di calcolo pile	LI0B	02	Е	ZZ	CL	IV	05	05	001	Α	66	

1047	SLU8(min)	I[686]	-11741	262	662	-79	4275	691	11.43
1047	SLU9(min)	1[686]	-16282	-304	-94	-582	-3509	-9446	9.43
1047	SLU10(min)	I[686]	-16730	241	-94	-212	-3509	-1981	14.29
1047	SLU11(min)	I[686]	-12748	-304	-94	-584	-3535	-9443	9.11
1047	SLU12(min)	I[686]	-13197	241	-94	-214	-3535	-1978	13.60
1047	SLU13(min)	I[686]	-14826	-282	474	-446	2591	-6777	12.84
1047	SLU14(min)	I[686]	-15275	262	474	-76	2591	688	19.57
1047	SLU15(min)	I[686]	-11292	-282	474	-448	2565	-6773	12.44
1047	SLU16(min)	I[686]	-11741	262	474	-79	2565	691	18.86
1047	SLU17(min)	I[686]	-14677	-472	94	-547	-781	-9335	12.06
1047	SLU18(min)	I[686]	-15425	435	94	69	-781	3106	32.27
1047	SLU19(min)	I[686]	-11143	-472	94	-550	-807	-9332	11.61
1047	SLU20(min)	I[686]	-11891	435	94	66	-807	3110	30.81
1047	SLU1(all)	I[686]	-16282	-304	94	-582	3698	-9446	9.23
1047	SLU2(all)	I[686]	-16730	304	94	571	3698	9172	9.41
1047	SLU3(all)	I[686]	-12748	-304	94	-584	3672	-9443	8.97
1047	SLU4(all)	I[686]	-13197	304	94	569	3672	9176	9.15
1047	SLU5(all)	I[686]	-14826	-282	662	-446	7761	-6777	6.10
1047	SLU6(all)	I[686]	-15275	299	662	403	7761	6710	6.14
1047	SLU7(all)	I[686]	-11292	-282	662	-448	7735	-6773	5.88
1047	SLU8(all)	I[686]	-11741	299	662	401	7735	6713	5.91
1047	SLU9(all)	I[686]	-16282	-304	-94	-582	-3509	-9446	9.43
1047	SLU10(all)	I[686]	-16730	304	-94	571	-3509	9172	9.62
1047	SLU11(all)	I[686]	-12748	-304	-94	-584	-3535	-9443	9.11
1047	SLU12(all)	I[686]	-13197	304	-94	569	-3535	9176	9.29
1047	SLU13(all)	I[686]	-14826	-282	474	-446	6051	-6777	7.46
1047	SLU14(all)	I[686]	-15275	299	474	403	6051	6710	7.51
1047	SLU15(all)	I[686]	-11292	-282	474	-448	6025	-6773	7.20
1047	SLU16(all)	I[686]	-11741	299	474	401	6025	6713	7.25
1047	SLU17(all)	I[686]	-14677	-472	94	-547	2678	-9335	10.35
1047	SLU18(all)	I[686]	-15425	472	94	548	2678	9128	10.55
1047	SLU19(all)	I[686]	-11143	-472	94	-550	2653	-9332	9.98
1047	SLU20(all)	I[686]	-11891	472	94	546	2653	9131	10.20
									5.78

Le verifiche in condizioni NON Sismiche allo SLU sono soddisfatte con un coefficiente minimo C/D =6.63

Frame	OutputCase	Station	P	V3 (trasv)	V2 (long)	Т	М3	M2	C/D
Text	Text	m	KN	KN	KN	KN-m	KN-m	KN-m	-
1047	SLV-X1	I[686]	-8506	1438	4295	1367	36855	14315	1.24
1047	SLV-X2	I[686]	-9158	1397	-4228	1250	-36267	14005	1.27
1047	SLV-X3	I[686]	-8510	-1395	4294	-1232	36849	-14009	1.24
1047	SLV-X4	I[686]	-9162	-1435	-4229	-1349	-36273	-14319	1.27
1047	SLV-X5	I[686]	-10000	1435	4229	1357	36407	14302	1.28
1047	SLV-X6	I[686]	-10652	1394	-4294	1240	-36715	13992	1.29
1047	SLV-X7	I[686]	-10003	-1398	4228	-1242	36401	-14021	1.28
1047	SLV-X8	I[686]	-10655	-1438	-4295	-1359	-36721	-14331	1.28
1047	SLV-Y1	I[686]	-8730	4728	1313	4358	11270	47251	2.00
1047	SLV-Y2	I[686]	-8742	-4713	1309	-4305	11249	-47162	2.01
1047	SLV-Y3	I[686]	-8926	4716	-1243	4323	-10667	47158	2.03
1047	SLV-Y4	I[686]	-8938	-4725	-1247	-4340	-10687	-47255	2.03
1047	SLV-Y5	I[686]	-10224	4725	1247	4348	10822	47238	2.05
1047	SLV-Y6	I[686]	-10236	-4717	1243	-4315	10801	-47174	2.06
1047	SLV-Y7	I[686]	-10419	4713	-1309	4313	-11115	47145	2.04
1047	SLV-Y8	I[686]	-10431	-4729	-1313	-4350	-11135	-47267	2.05





HYPTO RADDOPPIO DELLA TRATTA FERROVIARIA TERMOLI-LESINA LOTTO 2 e 3 - RADDOPPIO TERMOLI - RIPALTA

		LOTTO			TIPO DOC		RA 7 DISCIP		PROGR	REV	FOGLIO
IV05- Relazione di calcolo pile	LI0B	02	Ε	ZZ	CL	IV	05	05	001	Α	67

									1.24
1047	SLV-Z4	I[686]	-12169	-1428	-1389	-1329	-11651	-14237	3.69
1047	SLV-Z3	I[686]	-7191	-1417	-1169	-1297	-10158	-14196	3.86
1047	SLV-Z2	I[686]	-11970	1417	1169	1305	10292	14180	4.06
1047	SLV-Z1	I[686]	-6992	1428	1389	1337	11785	14220	3.44

Le verifiche in condizioni Sismiche allo SLV restituiscono un coefficiente minimo C/D =1.24

Con riferimento alla combinazione eccezionale dovuta all'urto sulla pila

Frame	OutputCase	Station	P	V3 (trasv)	V2 (long)	Т	M3	M2	C/D
Text	Text	m	KN	KN	KN	KN-m	KN-m	KN-m	-
1047	ECC-1	I[686]	-9581	-1974	131	-615	1255	-4474	20.52
1047	ECC-2	I[686]	-9581	0	881	4	3130	-9	15.34
1047	ECC-3	I[686]	-9581	-1974	-131	-615	-1120	-4474	21.11
1047	ECC-4	I[686]	-9581	0	620	4	755	-9	63.58
									15.34

Le verifiche per combinazione eccezionale restituiscono un coefficiente minimo C/D =15.34



12.2 PROGETTO E VERIFICA ARMATURE A TAGLIO

Il progetto e la verifica delle armature a taglio delle armature sono volti secondo quanto riportato al §7.9.5.1.1 delle NTC '18 e nello specifico secondo le espressioni 7.9.10a, 7.9.10b, 7.9.11.

Si procede dunque alla determinazione per ogni pila, sulla base delle caratteristiche geometriche e quantitativi di armatura a flessione presenti il momento ultimo resistente (M_{i,prc}) in condizioni di pressoflessione retta valutato separatamente per entrambe le direzioni.

Essendo lo schema di vincolo delle pile "a mensola" il momento resistente superiore risulta essere pari a 0.

Il valore del taglio agente per l'espressione 7.9.11 è determinato sulla base dell'analisi strutturale in condizioni sismiche di cui al precedente paragrafo.

Si riporta di seguito in forma tabellare la risoluzione della formulazione 7.9.10a per tutte le pile. Sulla base dei V_{ed} ottenuti verrà progettata l'armatura a taglio per entrambe le direzioni.

	P1	
	M(trasv)	M(long)
Mrd [kNm]	95734	47726
Lp [m]	9.10	9.1
V _{Prc} [kN]	10520	5245
V _e [kN]	4449	4284
γ_{bd} [-]	1.25	1.02
V _{ed} [kN]	13150	5374

	P2										
	M(trasv)	M(long)									
Mrd [kNm	97168	47210									
Lp [m]	9.10	9.1									
V _{Prc} [kN]	10678	5188									
V _e [kN]	4728	4295									
γ_{bd} [-]	1.25	1.01									
V _{ed} [kN]	13347	5230									

Figura 82 – Determinazione taglio resistente P1-P2

Dalle precedenti tabelle si ricavano i massimi tagli trasversali e longitudinali di progetto che risultano essere:

 V_{edy} = 13347 kN (P2) \rightarrow V_{ed} analisi strutturale V_{edy} = 5374 kN (P1) \rightarrow V_{ed} analisi strutturale

La determinazione della resistenza a taglio è differenziata per la direzione longitudinale e la direzione trasversale: Il valore del taglio resistente è valutato secondo le formulazioni delle NTC 2018 per elementi armati a taglio considerando il minimo delle resistenze tra cls e dell'acciaio calcolate considerando, sulla base delle caratteristiche geometriche delle pile, l'angolo di inclinazione delle bielle di calcestruzzo pari a 45°

In direzione trasversale la resistenza a taglio è affidata alle staffe 2b ϕ 20/10cm + un'ulteriore spilla ϕ 20/10cm tre le 2 estremità delle armature per un totale di 3b ϕ 20/10cm

In direzione longitudinale la resistenza a taglio è affidata alle staffe 2b ϕ 20/10cm + ulteriori spille ϕ 16/50x20cm



RADDOPPIO DELLA TRATTA FERROVIARIA TERMOLI-LESINA LOTTO 2 e 3 – RADDOPPIO TERMOLI - RIPALTA

LOTTO COMMESSA FASE TIPO DOC ENTE OPERA 7 DISCIPLINA PROGR FOGLIO IV05- Relazione di calcolo pile 02 Ε IV 05 LI0B CL 05 001 69

SEZIONE				_			SEZIONE				_		
b_w	=	200	cm				b _w	=	500	cm			
h	=	500	cm				h	=	200	cm			
С	=	3	cm			_	С	=	3	cm			_
d	=	h-c	=	497	cm		d	=	h-c	=	197	cm	
MATERIA	LI			_			MATERIAL	_1			_		
f _{y wd}	=	391.30	MPa				f_{vwd}	=	391.30	MPa			
	•			•					•		+		
R _{ck}	=	40.00	MPa				R _{ck}	=	40.00	MPa			
γ _c	=	1.5					γο	=	1.5				
f _{ck}	=	0.83xR _{ck}	=	33.20	MPa		f _{ck}	=	0.83xR _{ck}	=	33.20	MPa	1
f _{cd}	=	$0.85xf_{ck}/\gamma_c$	=	18.81	MPa		f _{cd}	=	$0.85xf_{ck}/\gamma_{c}$	=	18.81	MPa	
Ø _{st}	=	20					Ø _{st}	=	20				
	RE A TAGL						ARMATUR			1			
braccia	=	3					braccia	=	2				
Ø _{st2}	=	0					ø _{st2}	=	16				
braccia	=	0		7			braccia	ш	3		7		
passo	=	10	cm				passo	=	10	cm			
(A_{sw}/s)	=	94.248	cm2 / m				(A_{sw}/s)	=	123.150	cm2 / m			
α	=	90	٥	(90° staffe v	erticali)		α	=	90	۰	(90° staffe	verticali)	
ELEMENT	ELEMENTI CON ARMATURA A TAGLIO						ELEMENT	CON ARM	MATURA A	TAGLIO			
Armatura trasversale $\cot(\theta) = 1.00$ $(\theta) = 45.00$					Armatura	trasversal	е	$\cot(\theta) =$	1.00	(θ) =	45.00		
$V_{Rd} = 16496.05 \ (KN) \ min(V_{Rsd}, V_{Rcd})$ $V_{Rd} = 8543.87 \ (KN) \ min(V_{Rsd}, V_{Rcd})$								8543.87	(KN)	min(V _{Rsd} ,			

Figura 83 – Taglio resistente direzione trasversale e direzione longitudinale

Risulta:

 V_{rdy} > $V_{ed,y}$ → 16469kN > 13347 kN → Verifica soddisfatta V_{rdx} > $V_{ed,y}$ → 8543kN > 5374 kN → Verifica soddisfatta





RADDOPPIO DELLA TRATTA FERROVIARIA TERMOLI-LESINA LOTTO 2 e 3 – RADDOPPIO TERMOLI - RIPALTA

COMMESSA	LOTTO	FASE	ENTE	TIPO DOC	OPERA 7 DISCIPLINA			PROGR	REV	FOGLIO
LI0B	02	Е	ZZ	CL	IV	05	05	001	Α	70

12.3 VERIFICHE A SCORRIMENTO PER ELEMENTI TOZZI

La verifica a scorrimento è effettuata ai sensi del § al §7.9.5.1.1 delle NTC 18.

Per elementi tozzi con α < 2.0 (§7.9.2.1) deve essere eseguita anche la verifica a scorrimento. Il coefficiente α è valutato in entrambe le direzioni mediante l'espressione α = L/H, ove L nel caso in esame è l'altezza della pila (distanza tra la zona di cerniera plastica e la zona a momento nullo ovvero la sommità), H sono le dimensioni nelle direzioni longitudinali e trasversali.

	L [m]	H _{trasv} [m]	H _{long} [m]	a _{trasv}	a _{long}
P1	9.10	5	2	1.82	4.55
P2	9.10	5	2	1.82	4.55

Come si evince dalla precedente tabella, la verifica a scorrimento si ritiene necessaria per entrambe le pile e si effettua calcolando la resistenza a taglio (tranciamento) delle armature longitudinali presenti.

La resistenza a tranciamento si determina come: V_{rd} = Af x fyd / radq3

La verifica è riportata di seguito in forma tabellare.

	L [m]	H _{trasv} [m]	H _{long} [m]	a _{trasv}	a _{long}	n° barre	f barre [mm]	Vrd [kN]	Ved [kN]	Ved < Vrd
P1	9.10	5	2	1.82	4.55	229	26	27454	13150	VERO
P2	9.10	5	2	1.82	4.55	229	26	27454	13347	VERO

La verifica è soddisfatta.



12.4 VERIFICHE PILE SLE

Si riportano di seguito le verifiche tensionali per le combinazioni rara e quasi permanente e le verifiche a fessurazione per la combinazione frequente.

Le verifiche sono svolte con l'ausilio del software presfle+.

12.4.1 Fusto pila 1

12.4.1.9 Verifiche tensionali

Le verifiche sono riportate di seguito in forma tabellare.

Frame	OutputCase	Station	P	V3 (trasv)	V2 (long)	Т	М3	M2
Text	Text	m	KN	KN	KN	KN-m	KN-m	KN-m
510	SLE-R1(max)	I[331]	-9346	-150	131	452	3222	1318
510	SLE-R2(max)	I[331]	-9645	208	131	360	3222	6252
510	SLE_QP	I[331]	-9520	-3	131	-6	1188	-57
510	SLE-R1(min)	I[331]	-11880	-213	131	-367	-847	-6765
510	SLE-R2(min)	I[331]	-12179	145	131	-459	-847	-1831
510	SLE-R1(all)	I[331]	-11880	-213	131	452	3222	-6765
510	SLE-R2(all)	I[331]	-12179	208	131	-459	3222	6252

Si ottengono i seguenti valori di tensione massimi nel cls e nell'acciaio

	Mx	Му	N	sc	sf
1[331]	-13181100	-32217100	-934567	-17.92	2.19
1[331]	-62523200	-32217100	-964478	-22.75	70.34
I[331]	574000	-11875500	-951970	-11.87	-87.41
I[331]	67652200	8471400	-1188028	-19.78	-34.72
1[331]	18310100	8471400	-1217940	-14.88	-114.4
1[331]	67652200	-32217100	-1188028	-24.96	38.4
I[331]	-62523200	-32217100	-1217940	-24.68	25.46

Figura 84 – Esisti verifiche tensionali

I valori di tensione calcolati sono contenuti nei limiti di cui al precedente paragrafo 0.

12.4.1.10 Verifiche di fessurazione

Considerata l'uniformità delle sollecitazioni nelle combinazioni relative alle verifiche di fessurazione, queste ultime sono svolte con riferimento ad una sola combinazione maggiormente gravosa.





LINEA PESCARA - BARI

RADDOPPIO DELLA TRATTA FERROVIARIA TERMOLI-LESINA LOTTO 2 e 3 – RADDOPPIO TERMOLI - RIPALTA

	COMMESSA	LOTTO	FASE	ENTE	TIPO DOC	OPE	RA 7 DISCIP	LINA	PROGR	REV	FOGLIO
IV05- Relazione di calcolo pile	LI0B	02	Е	ZZ	CL	IV	05	05	001	Α	72

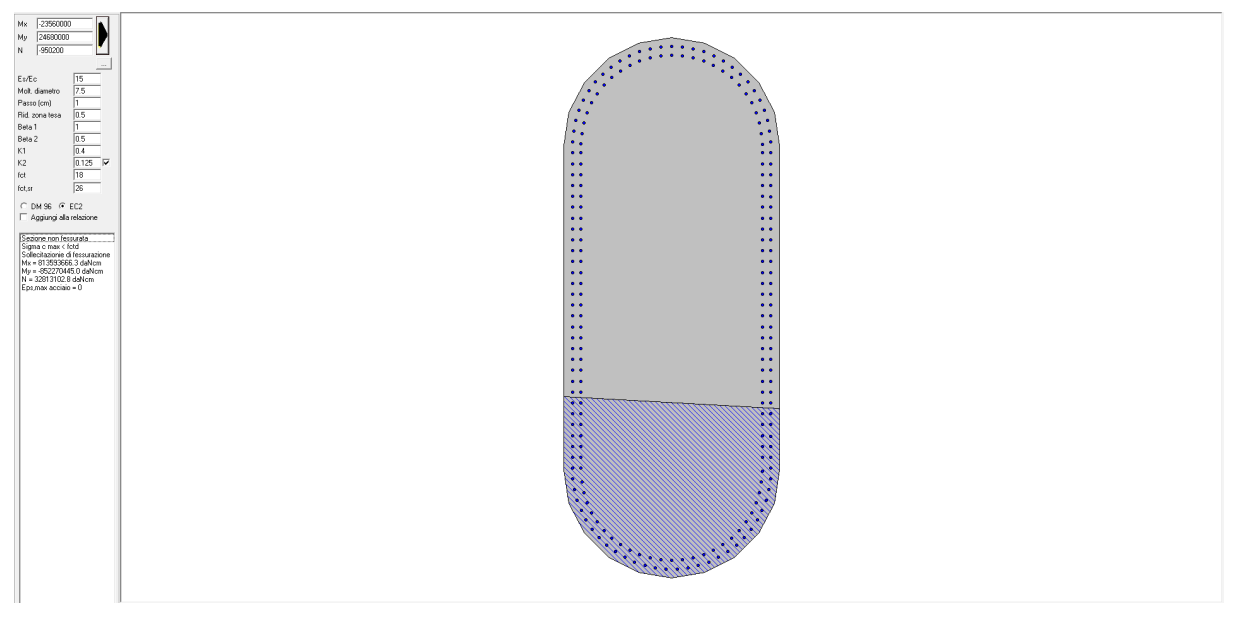


Figura 85 – Esisto verifica di fessurazione

La sezione risulta non fessurata.

12.4.2 Fusto pila 2

12.4.2.9 Verifiche tensionali

Le verifiche sono riportate di seguito in forma tabellare.

Frame	OutputCase	Station	Р	V3 (trasv)	V2 (long)	Т	М3	M2
Text	Text	m	KN	KN	KN	KN-m	KN-m	KN-m
1047	SLE-R1(max)	I[686]	-9406	-158	131	163	3292	1542
1047	SLE-R2(max)	I[686]	-9705	205	131	409	3292	6518
1047	SLE_QP	I[686]	-9581	0	131	4	1255	-8
1047	SLE-R1(min)	I[686]	-11943	-205	131	-418	-780	-6720
1047	SLE-R2(min)	I[686]	-12242	158	131	-171	-780	-1744
1047	SLE-R1(all)	I[686]	-11943	-205	131	-418	3292	-6720
1047	SLE-R2(all)	I[686]	-12242	205	131	409	3292	6518

Si ottengono i seguenti valori di tensione massimi nel cls e nell'acciaio

	Mx	Му	N	sc	sf
1[686]	-15416800	-32916400	-940616	-18.33	6.64
I[686]	-65181700	-32916400	-970528	-23.29	77.47
I[686]	83700	-12547000	-958074	-12.06	-86.36
I[686]	67202700	7800700	-1194337	-19.69	-37.59
I[686]	17437800	7800700	-1224248	-14.69	-118.68
I[686]	67202700	-32916400	-1194337	-25.16	39.41
I[686]	-65181700	-32916400	-1224248	-25.17	31.08

Figura 86 – Esisti verifiche tensionali

I valori di tensione calcolati sono contenuti nei limiti di cui al precedente paragrafo 0.



12.4.2.10 Verifiche di fessurazione

Considerata l'uniformità delle sollecitazioni nelle combinazioni relative alle verifiche di fessurazione, queste ultime sono svolte con riferimento ad una sola combinazione maggiormente gravosa.

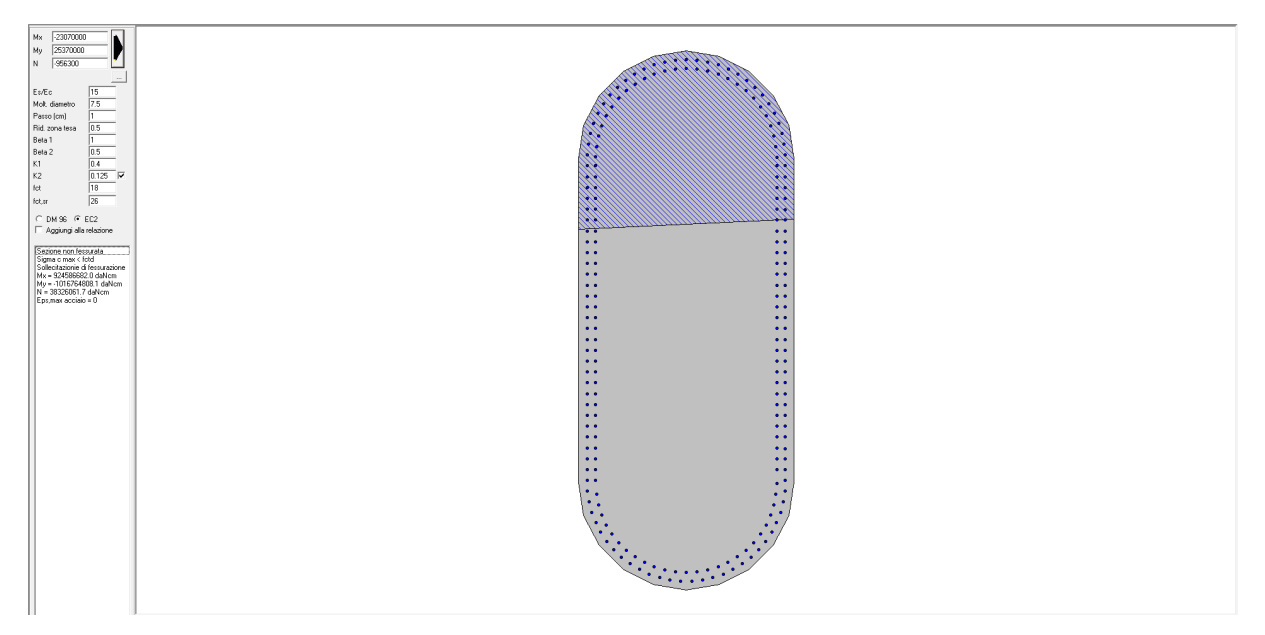


Figura 87 – Esisto verifica di fessurazione

La sezione risulta non fessurata.



12.5 PLINTO DI FONDAZIONE

Si riportano di seguito le verifiche di resistenza allo SLU e SLV per i plinti di fondazione delle pile. Tutti i plinti hanno la stessa geometria e sono armati con i medesimi quantitativi di armatura. La verifica è svolta con riferimento agli inviluppi delle combinazioni SLU e SLV.

Plinto di fondazione

SLU

 $M_{xx(long)max} = 2351kNm/m$; $M_{xx min} = -412kNm/m$; $M_{yy,max} = 1637kNm/m$; $M_{yy,min} = -731kNm/m$, $V_{max} = 1395kN/m$

ENV SLV (q=1)

 $M_{xx(long)max} = 5720 \text{kNm/m}; M_{xx min} = -4062 \text{kNm/m}; M_{yy,max} = 3693 \text{kNm/m}; M_{yy,min} = -3597 \text{kNm/m}, V_{max} = 3415 \text{kN/m}$

Dati sezione di verifica e quantitativi di armatura:

B = 100cm

H= 200cm

Armatura longitudinale superiore: ϕ 26/10cm + ϕ 26/20cm Armatura longitudinale inferiore: ϕ 26/10cm + ϕ 26/10cm

Spilli: \phi16/30x30cm

Armatura trasversale superiore: ϕ 26/10cm + ϕ 26/20cm Armatura trasversale inferiore: ϕ 26/10cm + ϕ 26/20cm

Le verifiche a pressoflessione sono svolte con l'ausilio del software VcaSLU con riferimento alla combinazione SLV

In direzione longitudinale:

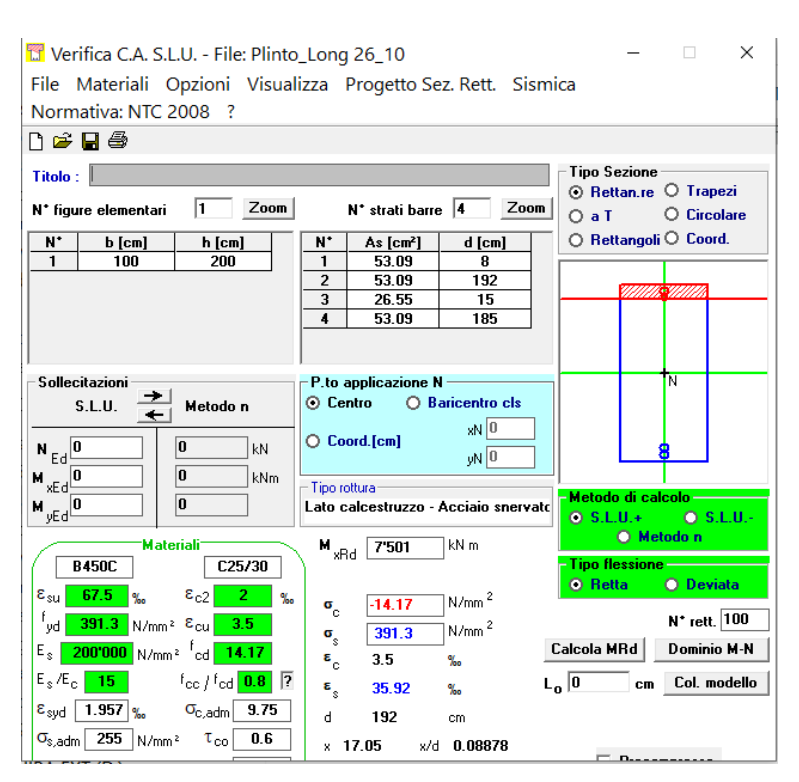


Figura 12-88: Verifica platea direzione longitudinale momento positivo

Con riferimento al momento flettente positivo agente M_{sd} è minore del momento resistente $M_{Rd} \rightarrow 5720$ (2351 SLU) < 7501 kNm \rightarrow Verifica soddisfatta.

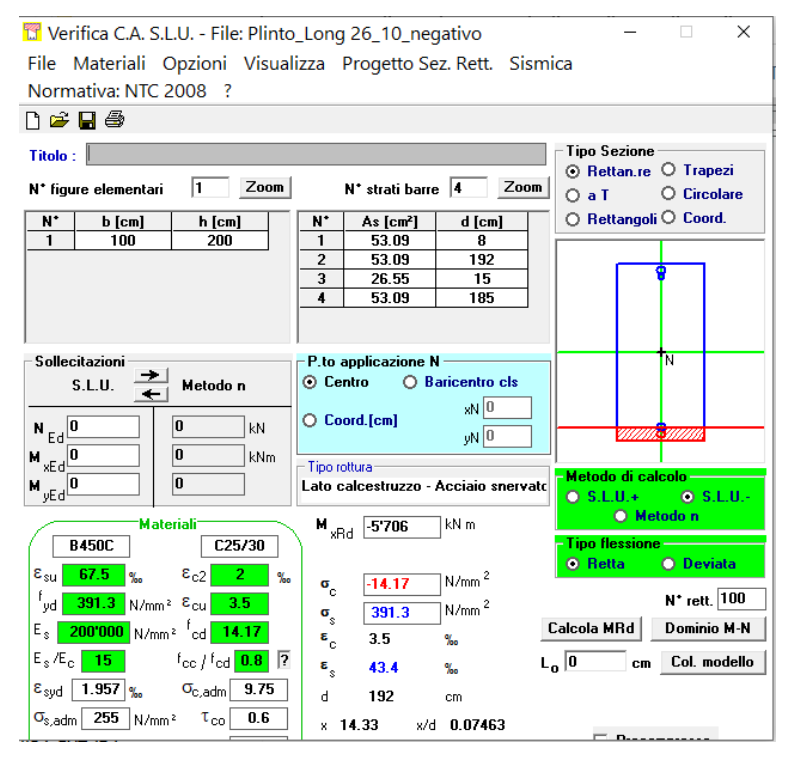


Figura 12-89: Verifica platea direzione longitudinale momento negativo

Con riferimento al momento flettente negativo agente M_{sd} è minore del momento resistente $M_{Rd} \rightarrow 4062$ (412 SLU) < 5706 kNm \rightarrow Verifica soddisfatta.

In direzione trasversale la sezione è armata in modo simmetrico.



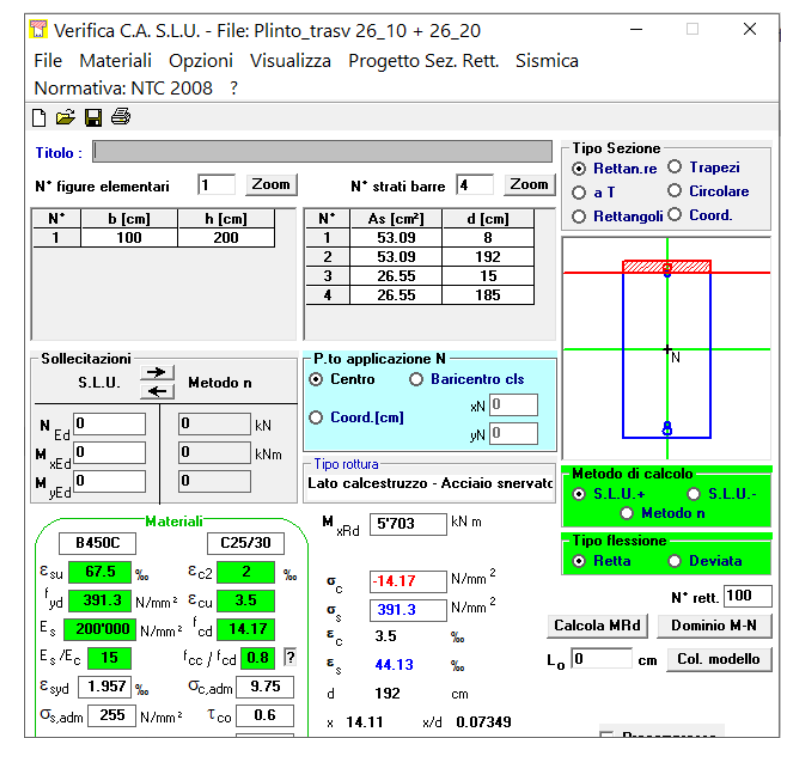


Figura 12-90: Verifica platea direzione trasversale

Il momento flettente positivo agente M_{sd} è minore del momento resistente $M_{Rd} \rightarrow 3693$ (1637 SLU) < 5703 kNm \rightarrow Verifica soddisfatta.

Il momento flettente negativo agente M_{sd} è minore del momento resistente $M_{Rd} \rightarrow 3597 (713 \text{ SLU}) < 5703 \text{ kNm} \rightarrow \text{Verifica soddisfatta}$.

Con riferimento alle azioni taglianti la resistenza della sezione è determinata secondo le indicazioni delle NTC di cui ai precedenti paragrafi.

La verifica è svolta determinando il taglio resistente della sezione con armature a taglio (spilli).

La verifica è svolta con riferimento alla combinazione SLV che risulta essere la più gravosa.



LINEA PESCARA - BARI

RADDOPPIO DELLA TRATTA FERROVIARIA TERMOLI-LESINA LOTTO 2 e 3 – RADDOPPIO TERMOLI - RIPALTA

<u> </u>					TIPO DOC		RA 7 DISCIP	LINA	PROGR	REV	FOGLIO
IV05- Relazione di calcolo pile	LI0B	02	Е	ZZ	CL	IV	05	05	001	Α	77

SEZIONE						
b _w	=	100	cm			
h	=	200	cm			
С	=	5	cm		•	_
d	=	h-c	=	195	cm]
MATERIAL	LI			_		
f _{y wd}	=	391.30	MPa			
				_		
R _{ck}	=	30.00	MPa			
γс	=	1.5				
f _{ck}	=	0.83xR _{ck}	=	24.90	MPa] i
f _{cd}	=	$0.85xf_{ck}/\gamma_c$	=	14.11	MPa	1 I
ARMATUR Ø _{st}	RE A TAGL =	16				
braccia	=	11.11				
Ø _{st2}	=	0				
braccia	=	0				
passo	=	100	cm			j
(A_{sw}/s)	=	22.338	cm2 / m			
α	=	90	0	(90° staffe v	erticali)	
ELEMENT	I CON ARM	IATURA A	TAGLIO			
Armatura	trasversal	e	$\cot(\theta) =$	2.50	(θ) =	21.80
V _{Rd} =	3835.32	(KN)	min(V _{Rsd} ,	VR _{cd})		

Figura 12-91: Resistenza a taglio sezione con spilli

Nella sezione di base II taglio agente V_{sd} è minore del taglio resistente $V_{Rd} \rightarrow 3415 < 3835$ kN \rightarrow Verifica soddisfatta.

12.5.1.1 Verifiche SLE

Risultano i seguenti valori di sollecitazioni in combinazione rara

SLE,rara: M_{xx,max}=1679kNm/m, M_{xx,min}=-294kNm/m; M_{yy,max}=1169kNm/m, M_{yy,min}=-522kNm/m

In direzione longitudinale:



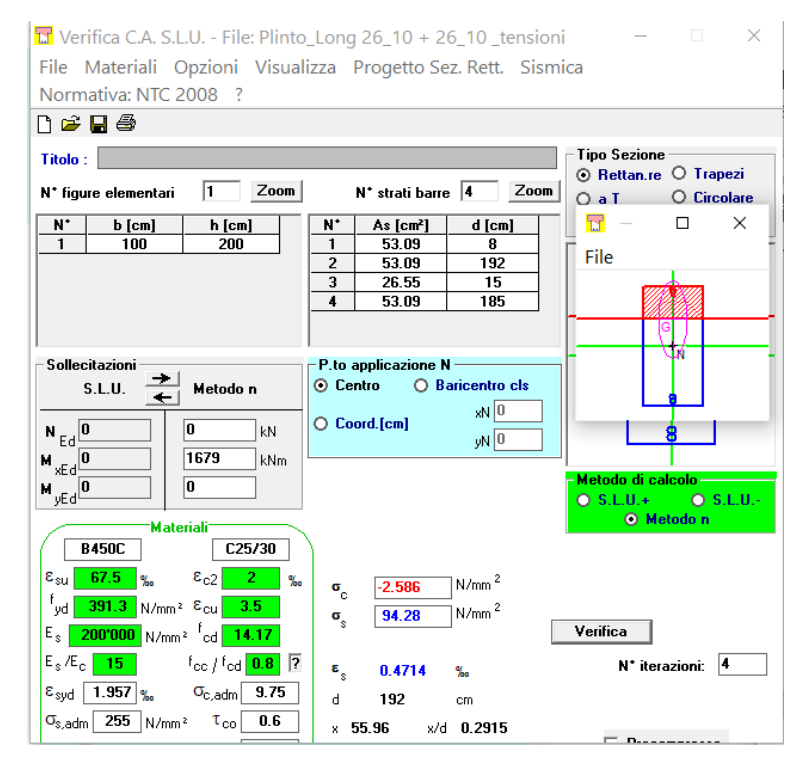


Figura 12-92: Verifica tensionale combinazione rara dir longitudinale M+

Risulta:

 σ_{cmax} = -2.86 Mpa

 σ_{smax} = 94.28 MPa

I valori di tensione di cls ed acciaio, sono contenuti nei limiti indicati ai precedenti paragrafi.



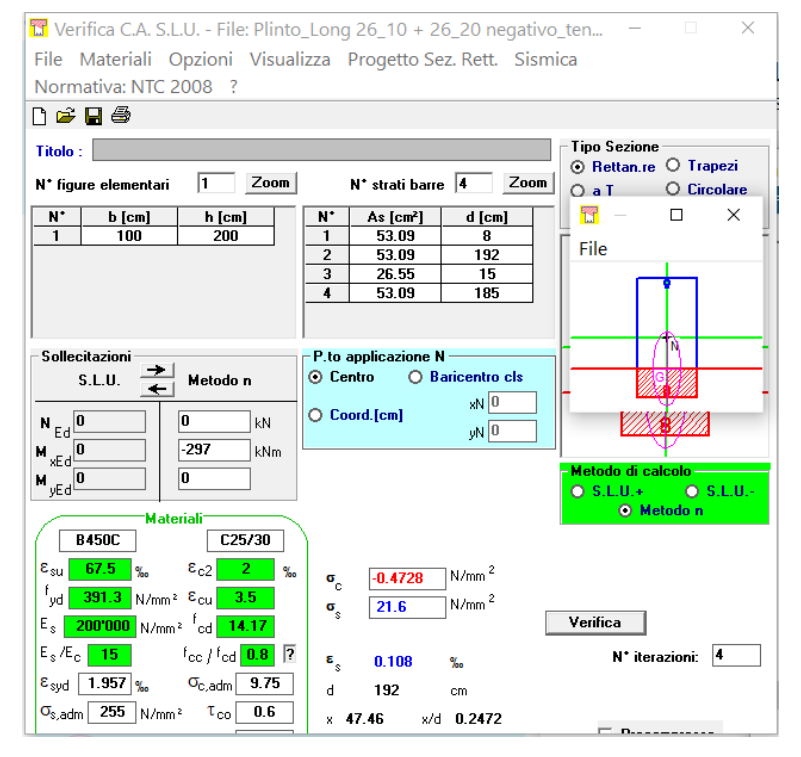


Figura 12-93: Verifica tensionale combinazione rara dir longitudinale M-

Risulta:

 σ_{cmax} = -0.47 Mpa σ_{smax} = 22 MPa

I valori di tensione di cls ed acciaio, sono contenuti nei limiti indicati ai precedenti paragrafi.

Con riferimento alla verifica a fessurazione si ottiene:

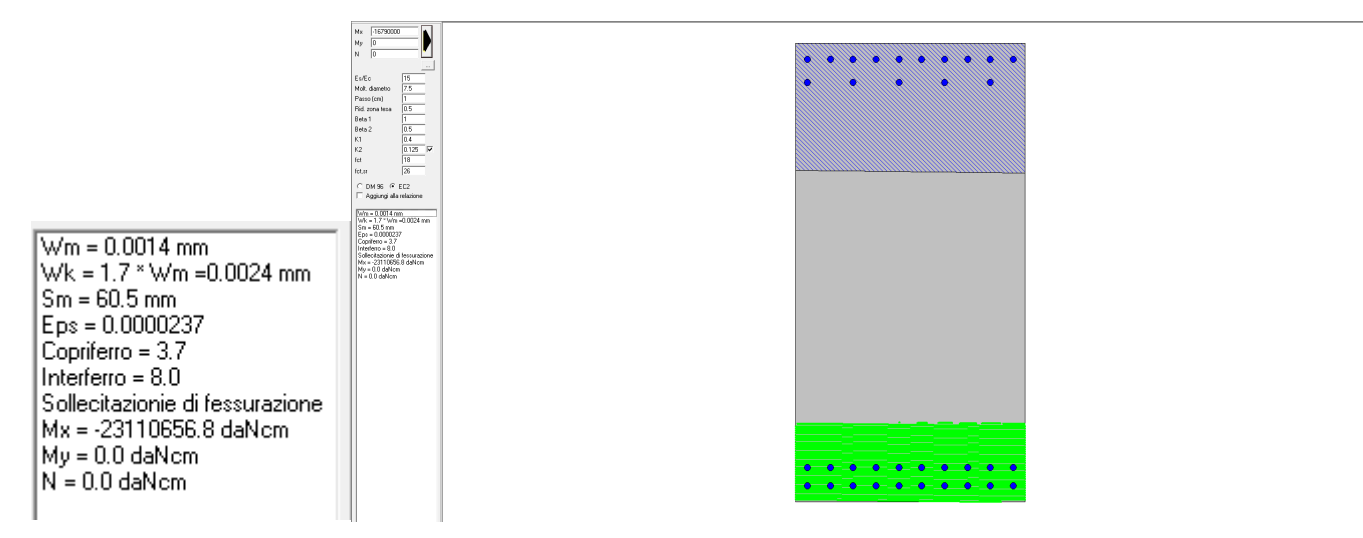


Figura 12-94: Verifica a fessurazione dir longitudinale M+

La sezione risulta fessurata con un valore di ampiezza wk delle fessure pari a 0.0024mm (praticamente nullo) ed inferiore al limite convenzionale di riferimento per le condizioni ambientali e tipologia di armatura pari a w1 = 0.2mm.

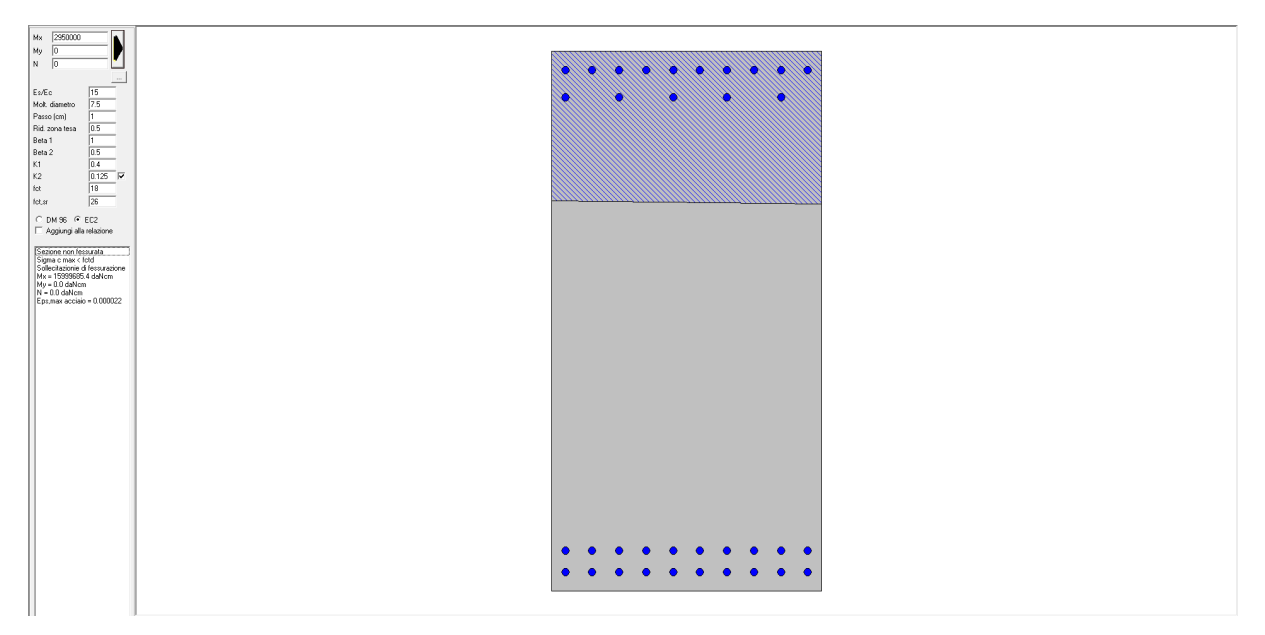


Figura 12-95: Verifica a fessurazione dir longitudinale M-

La sezione risulta non fessurata.

In Direzione trasversale:

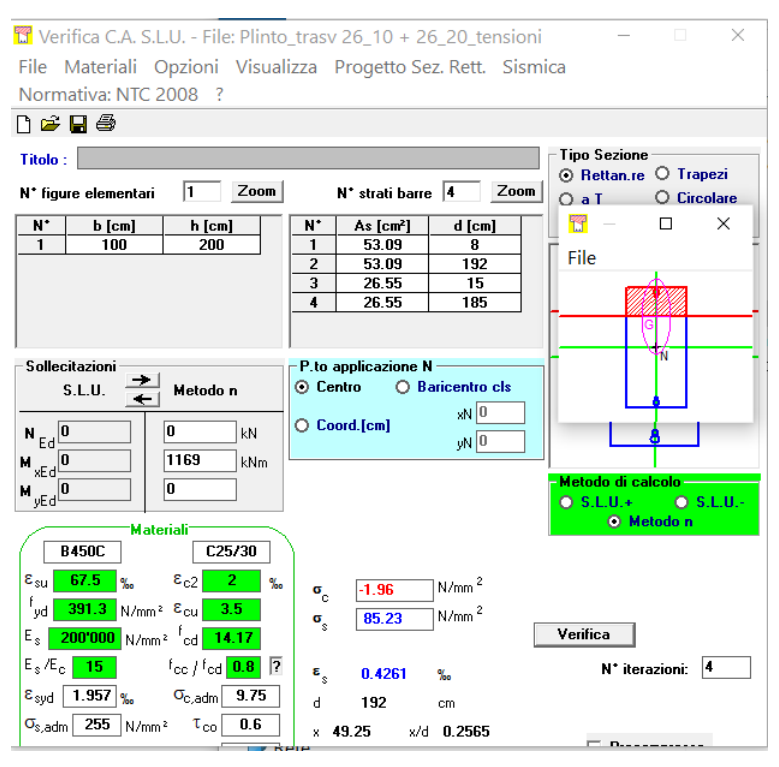


Figura 12-96: Verifica tensionale combinazione rara dir trasversale



Risulta:

 σ_{cmax} = -1.76 Mpa σ_{smax} = 77.21 MPa

I valori di tensione di cls ed acciaio, sono contenuti nei limiti indicati ai precedenti paragrafi.

Con riferimento alla verifica a fessurazione si ottiene:

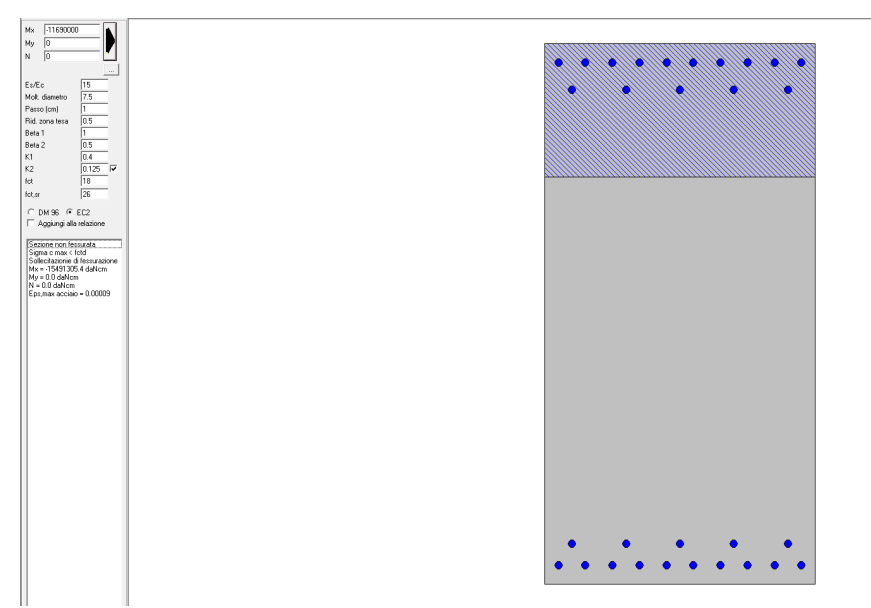


Figura 12-97: Verifica a fessurazione dir trasversale

La sezione risulta non fessurata.



12.6 VERIFICA DEL PULVINO

Si riportano le verifiche del pulvino relativamente alle mensole esterne. Con riferimento alle azioni allo SLU II calcolo viene svolto utilizzando lo schema di calcolo tirante-puntone descritto al §C4.1.2.1.5 unitamente alla verifica a torsione di cui al §4.1.2.3.6

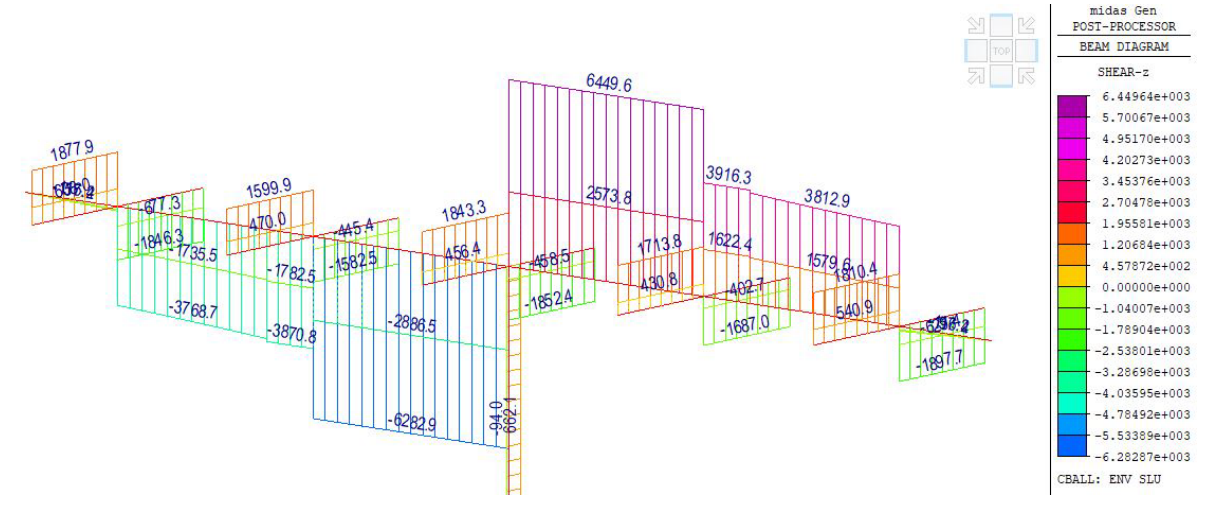


Figura 98 – Taglio pulvino SLU

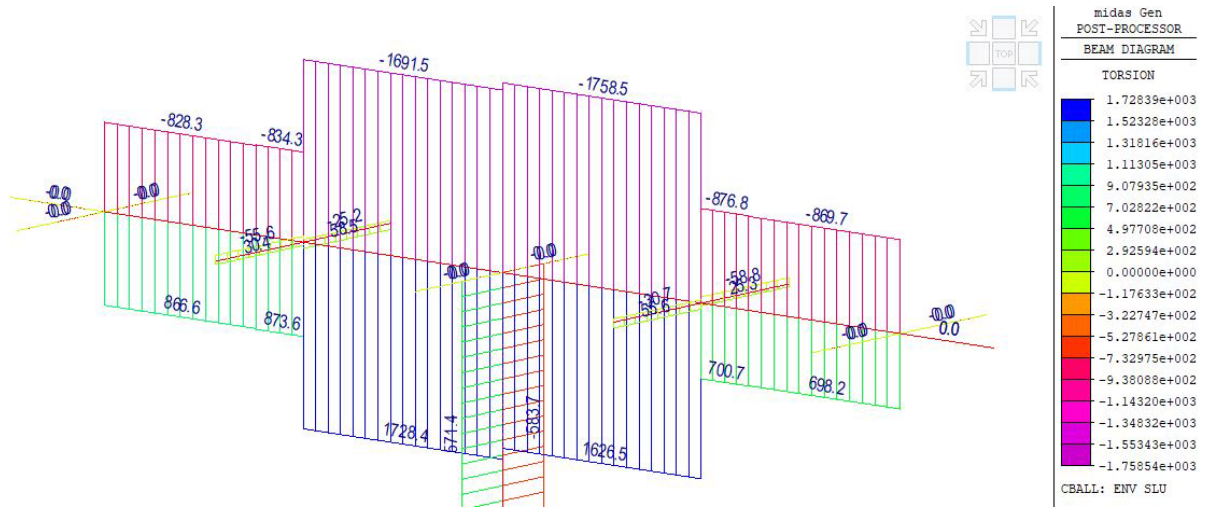


Figura 99 - Momento torcente pulvino SLU



LINEA PESCARA - BARI

RADDOPPIO DELLA TRATTA FERROVIARIA TERMOLI-LESINA LOTTO 2 e 3 – RADDOPPIO TERMOLI - RIPALTA

COMMESSA LOTTO FASE ENTE TIPO DOC OPERA 7 DISCIPLINA PROGR FOGLIO IV05- Relazione di calcolo pile Ε 02 001 LI0B CL 05 05 83

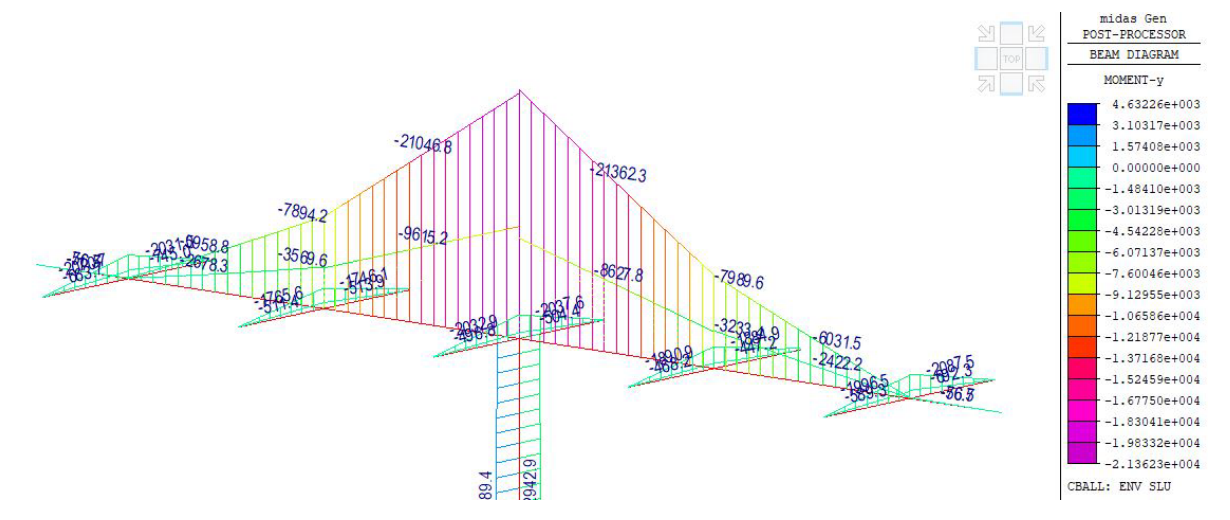


Figura 100 - Momento flettente pulvino

In sintesi si ottengono i seguenti valori di sollecitazioni nelle combinazioni considerate. Cautelativamente, la lettura delle sollecitazioni è effettuata 50cm all'interno dell'interfaccia pulvino – fusto pila. Il punto di lettura delle sollecitazioni corrisponde all'asse baggioli della prima trave intermedia (circa 3m dall'estremità del pulvino).

Combinazione SLU My = -7990kNm Fz (taglio) = 3916kN; Mx (torsione) = 877kNm

Combinazione RARA (la peggiore tra le due): My = -5770kNm

Fz (taglio) = 2830kN; Mx (torsione) = 627kNm

Combinazione Freq:

Fz (taglio) = 2375kN;

Mx (torsione) = 397kNm

Combinazione QP:

My = -4080kNm

My = -4814kNm

Fz (taglio) = 2025kN;

Mx (torsione) = 70kNm

Come azione sollecitante verticale (P) viene considerata la massima reazione verticale riscontrata nel modello dell'impalcato pari a 3916kN

L'armatura resistente è costituita da due strati di 30φ26 e 15 φ26 (per complessivi 45 ferri "tesi").

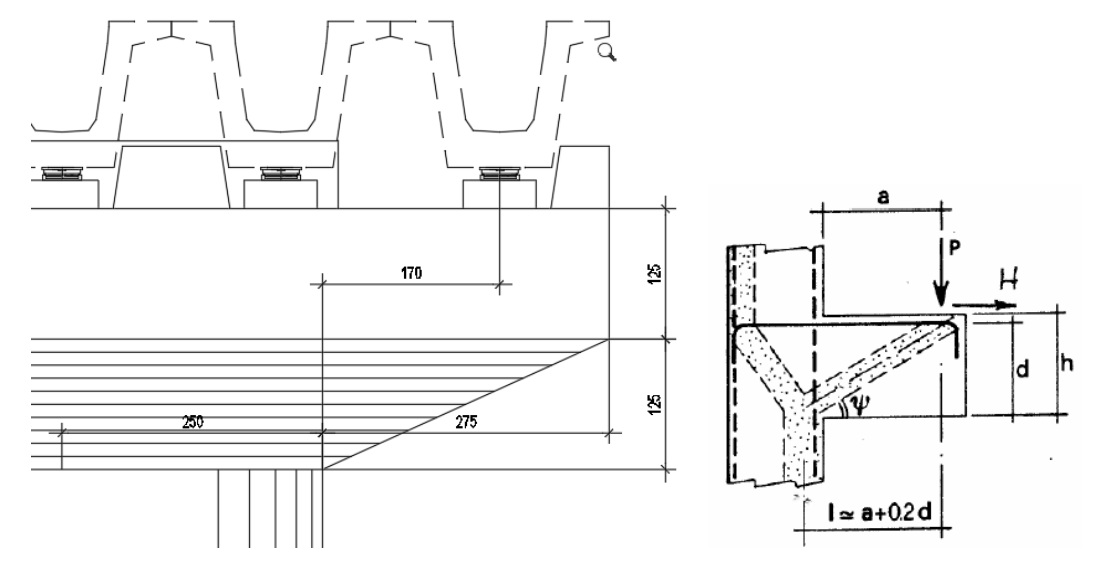


Figura 101 – Schema mensola tozza pulvino

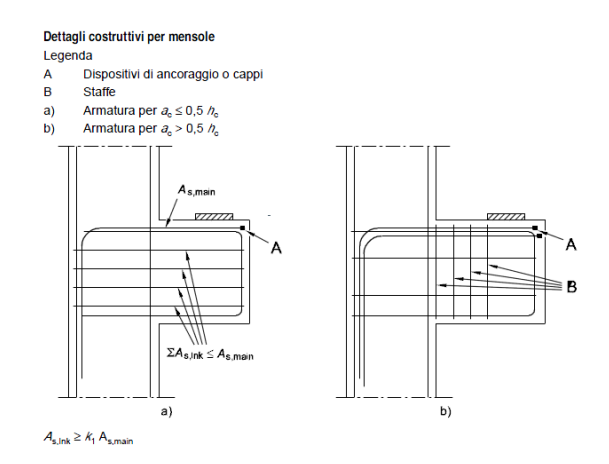
Materiali								
	cls	classe						
		f _{cd} =	18.81	MPa				
	acciaio	f _{yd} =	391.30	MPa				
Geometri	а							
	altezza	H =	2.50	m				
	copriferro	c =	0.04	m				
	alt. utile	d =	2.46	m				
	dist. parete	a =	1.50	m				
	I. mens.	=	1.99	m				
	Largh.	b =		m				
	tan ψ	tan ψ =	1.235					
		λ =	0.810					
Armatura								
	Presenza di staffe	e? y/n		y				
		c =	1.5					
			Primo stra	to		Second	do strato	
	numero ferri		30.0			15.0		
	diametro		26	mm		26	mm	
	area		159.28	cmq		79.64	cmq	
	Area Tot.		238.92	cmq				
Carichi a _l	pplicati							
	Carico verticale		P _{Ed} =	3916.0	kN			
	Carico Orizzontal	е	H _{Ed} =	0.0	kN			
	Carico Armatura		Rs _{Ed} =	3171	kN			
	Carico Biella cls		Rc _{Ed} =	5039	kN			
Resistenz	a Ultima dell'acc	iaio						
			P _{rs} =	11545	kN	Prs	/ P _{Ed} =	2.95
Resistenz	a Ultima della bi	ella di cls						
			D -	40500		<u> </u>	/ D _	
			P _{rc} =	43598	kN	Prc	/ R _{cEd} =	8.65

Figura 102 – Modello tirante puntone verifica direzione trasversale

La verifica risulta soddisfatta.

LINEA PESCARA - BARI MANDATARIA Pro RADDOPPIO DELLA TRATTA FERROVIARIA TERMOLI-LESINA LOTTO 2 e 3 - RADDOPPIO TERMOLI - RIPALTA COMMESSA LOTTO FASE ENTE TIPO DOC OPERA 7 DISCIPLINA PROGR FOGLIO IV05- Relazione di calcolo pile 02 Ε LI0B CL 05 05 001 85

Si prescrive inoltre l'adozione di un'armatura a taglio secondo quanto previsto dal $\S J.3$ dell'UNI-EN 1992-1-1. Il caso in esame ricade nel caso b) indicato nella figura sottostante. Risulta quindi un quantitativo minimo di staffe verticali chiuse pari a A_s =5328 mm². Si prescrive quindi di disporre staffe Φ 20 passo 20 cm su tutto lo sviluppo del pulvino.



È altresi prevista armatura longitudinale corrente pari a Φ16/20cm.

Si verifica inoltre, sebbene di modesta entità di sbalzo, la mensola tozza in direzione longitudinale considerando il massimo taglio trasmesso dalla trave in combinazione slu pari a 1650 kN

Materiali								
	cls	classe						
		f _{cd} =	18.81	MPa				
	acciaio	f _{vd} =		MPa				
	acciaio	iyd –	391.30	IVIFA				
Geometri	a							
	altezza	H =	2.50	m				
	copriferro	c =	0.04	m				
	alt. utile	d =	2.46	m				
	dist. parete	a =	0.10	m				
	I. mens.	=	0.59	m				
	Largh.	b =	2.00	m				
	tan ψ	tan ψ =	4.155					
		λ =	0.241					
Armatura								
	Presenza di staffe	e? y/n		n				
		c =	1					
			Primo stra	to		Second	do strato	
	numero ferri		20.0			Occorn	JO Strato	
	diametro		20.0	mm		20	mm	
	area		62.83	cmq		0.00	cmq	
	Area Tot.		62.83	cmq				
Carichi a	anliaati							
Cariciii a	Carico verticale		P _{Ed} =	1691.0	kN	-		
	Carico Orizzontal	0		0.0	kN	-		
	Carico Orizzoniai Carico Armatura	е	Rs _{Ed} =		kN			
	Carico Biella cls			1739	kN			
	Canco Blella Cis		Rc _{Ed} =	1739	KIN			
Resistenz	a Ultima dell'acc	iaio						
			P _{rs} =	10217	kN	Prs	/ P _{Ed} =	6.04
Resistenz	a Ultima della bi	ella di cls						
			P _{rc} =	34992	kN	Prc	/ R _{cEd} =	20.12

Figura 103 – Modello tirante puntone verifica direzione longitudinale



La verifica risulta soddisfatta.

Con riferimento alla verifica a torsione, si riporta la determinazione del momento torcente resistente in forma tabellare secondo le indicazioni del §4.1.2.3.6 delle NTC.

SEZIONE						ARMATURE	A TAG	LIO		
b _w	=	200	cm			Ø _{st}	=	20		
h	=	250	cm			braccia	=	2		
С	=	3	cm			ø _{st2}	=	0		
d	=	h-c	=	247	cm	braccia	=	0		
Ac	=	48659	cm2			passo	=	20	cm	
u	=	900	cm			(A _{sw})	=	6.28	cm2 / cm	
t	=	54.07	cm			(A _{sw} /s)	=	0.31	cm ² / cm	
						α	=	90	0	(90° staffe verticali)
MATERIALI						ARMATURE	LONG	TUDINALI		
f _{y wd}	=	391.30	MPa			Øl	=	16		
.,						Numero	=	15		
R _{ck}	=	40	MPa			A _{sl}	=	30.159	cm ²	
γc	=	1.5								
f _{ck}	=	0.83xR _{ck}	=	33.2	MPa					
f _{cd}	=	$0.85 x f_{ck}/\gamma_c$	=	18.81	MPa					
f _{cd}	=	0.5xf _{cd}	=	9.41	MPa					
IPOTESI 1		Cot ϑ = 2,5	∂ = 21,8°))		IPOTESI 2		Cot ϑ = 1	ϑ = 45°	
-	20000	(/// \ / \)				T –	44000	(ICA Inc.)		
T _{Rsd} =	&~~~~~~~~~~	(KNm)			-	T _{Rsd} =	~~~~~~~~~	(KNm)		
T _{RId} =	((KNm)			-	T _{RId} =	~ ~~~~~	(KNm)		
T _{Rcd} =	17067	(KNm)				T _{Rcd} =	24747	(KNm)		***************************************
T _{Rd} =	5104	(KNm)	min(T _{Rsd} ,	TR _{cd,} T	RId)	T _{Rd} =	11963	(KNm)	min(T _{Rsd} ,	TR _{cd} , T _{RId})

Figura 104 – Determinazione momento torcente resistente

Il momento torcente resistente T_{rd} è maggiore del momento torcente agente $T_{sd} \rightarrow 5104 > 877kNm. \rightarrow$ verifica soddisfatta.



LINEA PESCARA – BARI

RADDOPPIO DELLA TRATTA FERROVIARIA TERMOLI-LESINA LOTTO 2 e 3 – RADDOPPIO TERMOLI - RIPALTA

•	COMMESSA	LOTTO	FASE	ENTE	TIPO DOC	OPE	RA 7 DISCIP	LINA	PROGR	REV	FOGLIO
IV05- Relazione di calcolo pile	LI0B	02	Е	ZZ	CL	IV	05	05	001	Α	87

12.7 VERIFICA DEI BAGGIOLI

Si procede a dimensionarli come elementi diffusivi per le massime sollecitazioni prescritte per essere trasmesse dagli apparecchi d'appoggio. Si fa riferimento alle indicazioni normative del EN1992-1-1 §6.5,6.7.

Baggiolo maggiormente sollecitato

SLU:

Max N = 2450kN; Max V trasv. =207kN; Max V long. = 496kN

SLV (q=1):

Max N = 2083kN; Max V trasv. =1590kN; Max V long.=2830kN

Le azioni allo SLV sono ottenute dall'inviluppo delle combinazioni sismiche con coefficiente q=1 in accordo con 7.9.5.3.1. Per le verifiche a taglio dei baggioli, secondo le vigenti NTC 2018, si possono considerare separatamente il max V_x e V_y .

Si riporta di seguito la verifica svolta per la combinazione SLV che risulta essere la più gravosa per la verifica del solo elemento baggioli secondo quando su riportato.

I baggioli hanno dimensione 80x80cm, con altezza media di 30cm.

Si considerano presenti armature ϕ 26/10 perimetrali per un totale di 24 sezioni resistenti all'interfaccia, staffe orizzontali ϕ 16/15cm e armatura di frettaggio nel pulvino pari a doppio strato di rete ϕ 12/10cm

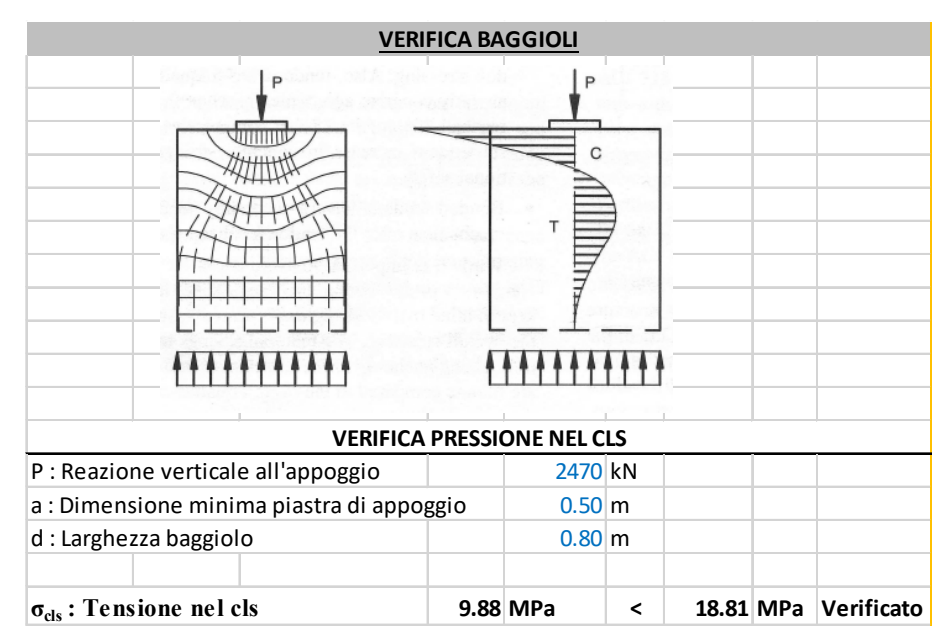


Figura 105 - Verifica pressioni di contatto





LINEA PESCARA – BARI

HYPO RADDOPPIO DELLA TRATTA FERROVIARIA TERMOLI-LESINA LOTTO 2 e 3 - RADDOPPIO TERMOLI - RIPALTA

IV05- Relazione di calcolo pile

COMMESSA	LOTTO	FASE	ENTE	TIPO DOC	OPE	RA 7 DISCIP	LINA	PROGR	REV	FOGLIO
LI0B	02	Е	ZZ	CL	IV	05	05	001	A	88

	VERIFICA ARMATURA DI FRETTAGGIO											
Forza di fenditura												
T = 0.25xP	x(1-a/d)		231.6	kN								
Armatura di frettagg	gio	n°	48									
3 strati di 12 Ø 10		Ø	12									
		Area	54.29	cm ²								
σ _{acc} : Tensione nell	'acciaio	42.7	MPa	<	391.3	MPa	Verificato					

VERIFICA A TRA	ANCIAME	NTO DELL	'ACCIA	IO						
Si deve verificare che in fase sismica	sia rispet	tata la seg	uente	condizio	one					
$\tau = \frac{T}{A_{.acc}} < \frac{f_{.yd}}{\sqrt{3}}$										
T : Azione sismica su ciascun appoggio	_	2830								
f _{yd} : Tensione caratteristica dell'acciac)	391.3	MPa							
A _{acc} : Area dell'armatura										
Armatura verticale	n°	24								
	Ø	26								
	A _{acc}	127.42	cm ²							
τ _{acc} : Tensione nell'acciaio	222.1	MPa	<	225.9	MPa	Verificato				

Le verifiche sono soddisfatte. Per i baggioli degli appoggi multidirezionali è possibile una riduzione dei diametri delle armature di interfaccia da 26 a 16mm





LINEA PESCARA – BARI

RADDOPPIO DELLA TRATTA FERROVIARIA TERMOLI-LESINA LOTTO 2 e 3 – RADDOPPIO TERMOLI - RIPALTA

ا IV05- Relazione di calcolo	pile
------------------------------	------

COMMESSA	LOTTO	FASE	ENTE	TIPO DOC	OPERA 7 DISCIPLINA			PROGR	REV	FOGLIO
LI0B	02	Ε	ZZ	CL	IV	05	05	001	Α	89

13. RITEGNI SISMICI

Al fine di prevenire fenomeni di perdita di appoggio dell'impalcato, in corrispondenza di ciascuna pila e delle spalle vengono realizzati ritegni sismici in c.a.

I ritegni sono ubicati ad una distanza dalle travi tale da permetterne le dilatazioni termiche trasversali di progetto.

Per la disposizione dettagliata dei ritegni su pile e spalle si faccia riferimento agli elaborati grafici di progetto.

L'azione sismica sui ritegni è stata calcolata secondo il § 7.9.5.3.3 delle NTC 2018 facendo riferimento ai parametri sismici di zona di cui di seguito. L'azione sismica di riferimento è valutata allo SLV.

- A_g/g (SLV) = 0.293g
- Fattore di suolo S = 1.366

Con riferimento alla singola campata tipo, in condizione quasi-permanente, il peso complessivo risulta: Ptot = $G_1 + G_2 = 6500$ kN

<u>La verifica di resistenza dei ritegni è stata effettuata adottando le metodologie proposte dalle seguenti Linee</u>
<u>Guida e Normative</u>: CALTRANS "Seismic Design Criteria, Vers. 2.0" 2019, ACI 318-14 "Building code requirements for structural concrete" (sliding shear friction resistance).

La forza agente sul singolo allineamento di ritegni è pari a:

$$F_i = 0.5 \times (1.5 \times Q \times S \times ag/g) = 0.5 \times (1.5 \times 6500 \times 1.366 \times 0.293) = 1951 \text{ kN}$$

Considerato che si tratta di elementi strutturali a comportamento fragile (la rottura avviene per taglio), si considera un fattore di sovra-resistenza pari a 1.3 in accordo con EC8 – P2 (Fattore amplificativo per elementi a comportamento fragile). Risulta pertanto:

$$F_{Edi} = Fi \times 1.3 = 1.3 \times 1951 \approx 2536 \text{ kN}$$

Il singolo allineamento trasversale (2 o più ritegni) dovrà essere in grado di resistente alla forza di progetto precedentemente determinata. Il taglio nei ritegni sismici tozzi è sostanzialmente portato dalle armature verticali che lavorano come "spinotti" resistenti a taglio.

L'armatura verticale dei ritegni è costituita da barre Φ26 ancorate nel pulvino. La capacità portante della singola barra a taglio è pari a:

$$F_{vrd.i} = A \times f_{vd}/radq3 = 530 \times 391.3/1.73 = 119.8 \text{ kN}$$

Da cui si ricava che, per ciascun allineamento di ritegni trasversali, sono necessari globalmente 22φ26, che verranno distribuiti all'interno dei ritegni previsti.

E' prevista la realizzazione di una coppia di ritegni centrali e una coppia di ritegni laterali, per un totale metri lineari di sviluppo pari a 90+90+45+45 = 270cm

Ai fini del soddisfacimento delle verifiche dovranno essere posti in opera ancoraggi ad U annegati nel pulvino ϕ 26 con passo 20cm per un totale di 27sezioni resistenti che risultano essere > delle 22 minime previste.



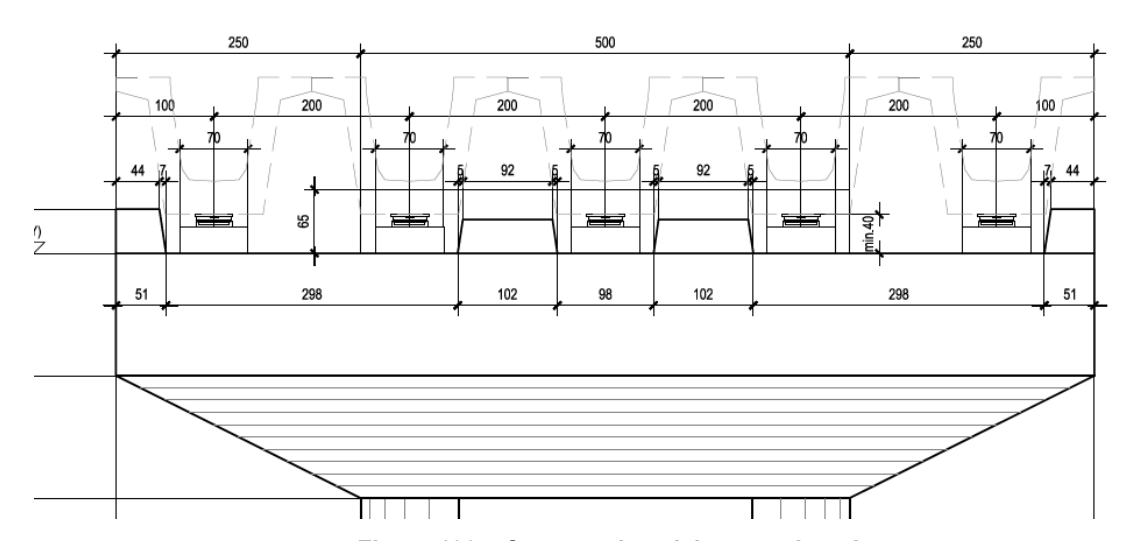


Figura 106 – Carpenteria pulvino con ritegni